

Technische Universität Ilmenau
Fakultät für Mathematik
und Naturwissenschaften
Institut für Mathematik
<http://www.tu-ilmenau.de/fakmn/math.html>

Postfach 10 05 65
D - 98684 Ilmenau
Germany
Tel.: 03677/69 3267
Fax: 03677/69 3272
Telex: 33 84 23 tuil d.
email: werner.neundorf@tu-ilmenau.de

Preprint No. M 16/07

**Kondition eines Problems sowie
Gleitpunktarithmetik
in den CAS Maple, MATLAB und
in höheren Programmiersprachen**

Werner Neundorf

November 2007

‡MSC (2000): 65-01, 65-04, 65F05, 65F10, 65Y99, 68U99, 68Q25

Zusammenfassung

Es gibt viele Möglichkeiten, mathematische und andere Aufgabenstellungen mit Computeralgebrasystemen wie Maple, MATLAB, *Mathematica* oder Derive zu behandeln und zu lösen. Dazu findet der Leser eine immense Fülle von Informationen und Literatur sowie Demonstrationen und Hilfen in den Systemen selbst.

Trotzdem zeigt sich, dass zu spezifischen Fragestellungen eine detaillierte Aufbereitung der Sachverhalte sowie ihre Darstellung und Erläuterung sehr nützlich erscheint. In einem einführendem Abschnitt wird der Umgang mit großen Datenmengen bei ihrer Ausgabe erläutert. Der Schwerpunkt in dieser Arbeit wird jedoch die Untersuchung der Eigenschaften der Gleitpunktarithmetik *double* in den CAS Maple und MATLAB sein, mit vergleichenden Betrachtungen anhand von Beispielen.

Inhaltsverzeichnis

1	Rechengenauigkeit	1
1.1	Einleitung	1
1.2	Auswertung von Ausdrücken	2
1.3	Termumformung und mathematische Äquivalenz von Formeln	4
1.4	Auswertung von Funktionen und Kommandos	11
2	Verarbeitung und Varianten zum Anhalten der Ausgabe von Daten	21
2.1	Vektoren und Matrizen	21
2.2	Erzeugung und Behandlung von Feldern	22
2.3	Varianten zum Anhalten der Datenausgabe	23
3	Testmatrizen mit Eigenschaften	42
3.1	Matrix 1	42
3.2	Matrix 2	50
3.3	Matrix 3	56
3.4	Matrix 4	63
3.5	Matrix 5	86
3.6	Matrix 6	94
4	Maple und MATLAB für spezielle Matrixeigenschaften	100
4.1	Matrix 4	101
4.2	Matrix 5	117
4.3	Matrix 6	125
4.4	Was leistet der Computer?	133
4.5	Dateien, Arbeitsblätter und Programme	133
	Literaturverzeichnis	134

Kapitel 1

Rechengenauigkeit

1.1 Einleitung

Naturgemäß sind Publikationen, die auf Software Bezug nehmen und diese für spezielle Aufgabenstellungen verwenden, einer ständigen Gefahr ausgesetzt. Upgrades oder Updates von Software sowie unterschiedliche Versionen für verschiedene Rechnerplattformen führen unter Umständen dazu, dass die in den Arbeiten dargestellten und mit der Software zusammenhängenden Sachverhalten nicht mit der Version übereinstimmen, die dem Leser zur Verfügung steht.

Die CAS erfahren eine ständige Weiterentwicklung und werden immer größer und leistungsfähiger. Programme, Files und Arbeitsblätter, die unter älteren Versionen entstanden und gelaufen sind, sollte man bezüglich der Möglichkeiten und Veränderungen in neuen Versionen stets kritisch begutachten und eventuell anpassen. Das betrifft auch die breite Palette der Menüfunktionen.

Alles dies trifft auch auf die CAS Maple und MATLAB zu. Manche von früheren Versionen erzeugte Resultate haben sich in Darstellung und Inhalt geändert. Darüber hinaus ist es ein ständiges Anliegen der Hersteller, Unzulänglichkeiten und Fehler in den Programmen und ihren Entwicklungsumgebungen zu beseitigen.

Es sollen zunächst nur einige Aspekte und Probleme zu Maple 9.5 und MATLAB 7.2.0.232 (R2006a) angeschnitten werden. Dazu werden auch Vergleiche mit älteren Versionen der CAS sowie mit Implementationen in höheren Programmiersprachen wie Pascal herangezogen.

Detaillierte Untersuchungen zu Lösungsansätzen und ihrer Genauigkeit in der genutzten Gleitpunktarithmetik (GPA) bzw. Gleitpunktformaten (GPF) erfolgen in den weiteren Abschnitten.

1.2 Auswertung von Ausdrücken

Dass Ungenauigkeiten bei der numerischen Berechnung von Ausdrücken mit Wurzeln sowie numerischen Auswertung von Funktionen/Kommandos entstehen, ist verbunden mit der benutzten GPA und dem Rundungsregime. Dabei erwartet man von neueren Versionen von CAS im Allgemeinen bessere Lösungen.

Beim Aufruf der Befehle oder in den Paketen verweisen die Hersteller oft explizit auf solche Veränderungen. Der Nutzer sollte sich im Zweifelsfalle der Mühe unterziehen, das zu kontrollieren. An drei Beispielen wollen wir das Spektrum der Möglichkeiten anhand von Maple demonstrieren.

Eigentlich erwartet man in Maple bei der Rechnung mit `Digits:=10` (entspricht dem *real*-Format und ist Standard), dass die letzte Ziffer der dargestellten dezimalen Mantisse aus einem vernünftigen Rundungseffekt zur nächsten Ziffer entsteht. Dass dies in Maple V schon funktioniert hat, aber in der neueren Version Maple 8, 9.5 anders, aber eigentlich schlechter gelöst worden ist, kann einen Nutzer eher schockieren als zufriedenstellen. Es ist oft so, dass bei der Gleitpunktdarstellung (GP-Darstellung) von exakten Ergebnissen die erste Dezimale außerhalb der angezeigten Mantisse einfach abgeschnitten wird.

Als eines von zahlreichen Beispielen soll die Auswertung des Ausdrucks mit Bruch und Wurzel $(1 + \sqrt{5})/2$ demonstriert werden.

MATLAB erzeugt in seinem *double*-Format bei 16-stelliger Mantisse den Wert `1.618033988749895e+000`.

Bei Maple muss man von vornherein bemerken, dass es allgemein bei der Wurzelberechnung "seine Probleme hat".

Rechnungen in Maple (Datei: *calc1.mws*)

Maple V: vernünftige Rundung

```
> t:=(1+sqrt(5))/2; evalf(t);
Digits:=8: evalf(t); # letzte Mantissenstelle gerundet
Digits:=9: evalf(t);
Digits:=10: evalf(t);
Digits:=11: evalf(t);
Digits:=12: evalf(t);
Digits:=16: evalf(t);
Digits:=20: evalf(t); Digits:=10:
          t :=  $\frac{1}{2} + \frac{1}{2}\sqrt{5}$ 
          1.618033989
          1.6180340
          1.61803399
          1.618033989
          1.6180339888
          1.61803398875
          1.618033988749895
          1.6180339887498948482
```

Der Maple-Wert bei `Digits=16` entspricht dem MATLAB-Ergebnis.
Aber bei bestimmten Genauigkeiten besteht eine Gefahr durch den Rundungseffekt bei Weiterverarbeitung der Größen.

```
> z:=(1+sqrt(5))/2;
  Digits:=10:
  z10:=evalf((1+sqrt(5))/2);
  Digits:=20:
  evalf(z-z10);
  1000*evalf(z-z10); # gefaehrlich, da gerundete Stelle in der Mantisse
                    # nach vorne rutscht
```

$$z := \frac{1}{2} + \frac{1}{2}\sqrt{5}$$

$$z10 := 1.618033989$$

$$-0.2501051518 \cdot 10^{-9}$$

$$-0.2501051518000 \cdot 10^{-6}$$

Maple 8, 9.5, Classic Maple 9.5

Hier stellt sich die Frage, warum an einer Stelle, nämlich bei `Digits=10`, eine Verschlechterung gegenüber Maple V auftritt?

```
> t:=(1+sqrt(5))/2;
  evalf(t);
  Digits:=8: evalf(t);
  Digits:=9: evalf(t);
  Digits:=10: evalf(t); # letzte Mantissenstelle falsch
  Digits:=11: evalf(t);
  Digits:=12: evalf(t);
  Digits:=15: evalf(t);
  Digits:=16: evalf(t);
  Digits:=17: evalf(t);
  Digits:=20: evalf(t);
  Digits:=10:
```

$$t := \frac{1}{2} + \frac{\sqrt{5}}{2}$$

$$1.618033988$$

$$1.6180340$$

$$1.61803399$$

$$1.618033988$$

$$1.6180339888$$

$$1.61803398875$$

$$1.61803398874990$$

$$1.618033988749895$$

$$1.6180339887498948$$

$$1.6180339887498948482$$

Größere Gefahr des Rundungseffekts bei Weiterverarbeitung

```
> z:=(1+sqrt(5))/2;
  Digits:=10:
  z10:=evalf((1+sqrt(5))/2);
  Digits:=20:
  evalf(z-z10);
  1000*evalf(z-z10); # gefaehrlich, da falsche Stelle in der Mantisse
                    # nach vorne rutscht
```

$$z := \frac{1}{2} + \frac{\sqrt{5}}{2}$$

$$z10 := 1.618033988$$

$$0.7498948482 \cdot 10^{-9} \text{ bzw. } 7.498948482 \cdot 10^{-10}$$

$$0.7498948482000 \cdot 10^{-6} \text{ bzw. } 7.498948482000 \cdot 10^{-7}$$

1.3 Termumformung und mathematische Äquivalenz von Formeln

Empfiehl man dem Betrachter für die Berechnung eines Wertes die mathematisch äquivalenten Formeln

$$(1) \frac{1}{(3 + \sqrt{10})^4} = 6.93481\ 60951\ 23042\ 52272\dots E-4,$$

$$(2) (3 - \sqrt{10})^4,$$

$$(3) (19 - 6\sqrt{10})^2,$$

$$(4) 721 - 228\sqrt{10},$$

$$(5) \frac{1}{(19 + 6\sqrt{10})^2},$$

$$(6) \frac{1}{721 + 228\sqrt{10}},$$

so wird er auf den ersten Blick vom ästhetischen Standpunkt aus sich für die Verwendung der Formel (3) entscheiden. Dass er damit fast den numerisch schlechtesten Ausdruck gewählt hat, wird verursacht durch das so genannte Subtraktionsdilemma. Im folgenden Turbo-Pascal-Programm mit wahlweiser “künstlicher“ Festlegung der Mantissenlänge auf 2...5 Byte kann man die “Güte“ der Formeln schnell herausfinden.

```
program Aequivalenz;
{ Aequivalenz von Quadratwurzel-Bruch-Termen bei kuenstlich
  gekuerzter Mantisse }
{ equiv_2.pas}
```

```
uses crt;
```



```
type float = real;
var arr    : array[0..5] of byte;
    x      : float absolute arr;
    n,m    : integer;

{kuenstliches Abschneiden der Mantisse auf n-1 Bytes}
procedure clear;
var i:integer;
begin
  for i:=1 to 6-n do arr[i]:=0
end;

begin
  clrscr;
  writeln('Aequivalenz von Termen');
  writeln;
  writeln(
    'Byteanzahl der GKZ/Laenge der Mantisse/gueltige Dez.stellen');
  writeln('  n = 3 / 2 / 4          ');
  writeln('    4 / 3 / 7  Format single');
  writeln('    5 / 4 / 9          ');
  writeln('    6 / 5 / 11  Format real  ');
  writeln;
  write('  n = ');
  readln(n);
  writeln;
  case n of { m --> Format m+6, 6 = Vorzeichen & Punkt & E+00 }
    3 : m:=4;
    4 : m:=7;
    5 : m:=9;
    6 : m:=11
  end;
  {Formel (1), Formeln (2),..., (6) analog}

  x:=10;      clear;
  x:=sqrt(x); clear;
  x:=3+x;     clear;
  x:=sqr(x);  clear;
  x:=sqr(x);  clear;
  x:=1/x;     clear;
  write(' (1) ',x:m+6);
  x:=1/sqr(sqr(3+sqrt(10)));
  writeln('  real : ',x);
  writeln;
  writeln(' Guete : (6) >= (5) >= (1) > (2) > (3) >> (4)');
  writeln;
  writeln('      exakt : 6.93481609512304252272...E-04');
  readln
end.
```

Hier sind die Ergebnisse zur numerischen Äquivalenz von Termen mit obigen Turbo-Pascal-Programm (TP-Programm) im Vergleich der GPF *single* und *real*.

```

Aequivalenz von Termen
Byteanzahl der GKZ/Laenge der Mantisse/guelteige Dez.stellen
  n = 3 / 2 / 4
      4 / 3 / 7   Format single
      5 / 4 / 9
      6 / 5 / 11  Format real
  n = 4
(1)  6.934818E-04      real  :  6.9348160951E-04
(2)  6.934781E-04      real  :  6.9348160952E-04
(3)  6.936202E-04      real  :  6.9348160973E-04
(4)  7.934570E-04      real  :  6.9348141551E-04
(5)  6.934817E-04      real  :  6.9348160951E-04
(6)  6.934816E-04      real  :  6.9348160951E-04
Guete : (6) >= (5) >= (1) > (2) > (3) >> (4)
exakt :  6.93481609512304252272...E-04

```

Mit wachsender Mantisse können auch mit den problematischen Formeln (2), (3), (4) bessere Ergebnisse erzielt werden, wie bei TP mit GPF *double* und *extended*.

Führen wir mit einem weiteren TP-Programm analoge Rechnungen mit den GPF *single*, *real*, *double* oder *extended* bei den Compilerdirektiven N+, E+ durch.

```

{$N+,E+}
program Equivalent_1;
{ Aequivalenz von Quadratwurzel-Bruch-Termen }
{ equiv_1.pas}

uses crt;
type float=real; (* single (7 MSt.), real (11 MSt.),
                  double (15 MSt.), extended (18 MSt.)
                  bei Compilerdirektiven N+,E+ *)

var x:float;
begin
  clrscr;
  writeln('Aequivalenz von Termen in TP7.0/BP7.0');
  writeln('Format real = 6Byte => 11stellige Mantisse');
  writeln;
  x:=1/sqr(sqr(3+sqr(10)));
  writeln(' (1) : ',x);
  x:=sqr(sqr(3-sqr(10)));
  writeln(' (2) : ',x);
  x:=sqr(19-6*sqr(10));
  writeln(' (3) : ',x);

```

```
x:=721-228*sqrt(10);
writeln(' (4) : ',x);
x:=1/sqr(19+6*sqrt(10));
writeln(' (5) : ',x);
x:=1/(721+228*sqrt(10));
writeln(' (6) : ',x);
writeln;
writeln(' Guete : (6) >= (5) >= (1) > (2) > (3) >> (4)');
(* writeln(' Guete : (6) >= (5) >= (1) >= (2) > (3) >> (4)'); *)
writeln;
writeln('      exakt : 6.93481609512304252272E-04');
readln
end.
```

Dabei ist jedoch folgendes zu beachten. Arithmetische Ausdrücke werden bei ihrer Berechnung mit der Stellenzahl des *extended*-Formats behandelt (Rechnung jedoch nicht unbedingt in dieser Genauigkeit) und erst durch Zuordnung eines Wertes zu einer Variablen kommt es zur Stellenabschneidung.

Aequivalenz von Termen in TP7.0/BP7.0

Format single = 4Byte => 7stellige Mantisse

(1) : 6.93481590133160E-0004

(2) : 6.93481590133160E-0004

alle gleich

Format real = 6Byte => 11stellige Mantisse

(1) : 6.93481609512325E-0004

(2) : 6.93481609512325E-0004

alle gleich

Format double = 8Byte => 15stellige Mantisse

(1) : 6.93481609512304E-0004

(2) : 6.93481609512304E-0004

(3) : 6.93481609512304E-0004

(4) : 6.93481609512325E-0004

(5) : 6.93481609512304E-0004

(6) : 6.93481609512304E-0004

Format extended = 10Byte => 18stellige Mantisse
(Ausgabeformat maximal vergrößert)

```
(1) : 6.93481609512304252E-0004
(2) : 6.93481609512304252E-0004
(3) : 6.93481609512304262E-0004
(4) : 6.93481609512325292E-0004
(5) : 6.93481609512304252E-0004
(6) : 6.93481609512304252E-0004
```

```
Guete : (6) >= (5) >= (1) >= (2) > (3) >> (4)
exakt : 6.93481609512304252272...E-04
```

Man sieht, dass im Format *double* die Rechnungen wie mit dem Format *extended* durchgeführt werden und erst bei der Ausgabe das Abschneiden der Mantisse erfolgt. Zum Vergleich sei noch eine Rechnung mit Pascal-XSC mit dem GPF *real*, angegeben, das in Wirklichkeit dem *double*-Format entspricht.

Aequivalenz von Termen in Pascal-XSC
Format real = 8Byte => 15-16stellige Mantisse

```
(1) : 6.934816095123040E-004
(2) : 6.934816095123075E-004
(3) : 6.934816095122907E-004
(4) : 6.934816094599228E-004
(5) : 6.934816095123043E-004
(6) : 6.934816095123043E-004
```

```
Guete : (6) >= (5) >= (1) > (2) > (3) >> (4)
exakt : 6.93481609512304252272...E-04
```

Bei komplizierten Formeln müsste man also auch “zwischendurch“ immer wieder die Mantisse kürzen (siehe TP-Programm *Aequivalenz*).

Es ist also ein Unterschied zwischen den ausgegebenen Größen bei folgender Anweisungsfolge

```
var x:single;
...
x:=721-228*sqrt(10);
writeln(x); { --> 6.93481590.....E-004 }

writeln(721-228*sqrt(10):26); { --> 6.93481609512325292E-004 }
...
```

Rechnungen in Maple (Datei *aequiv2.mws*)

Termumformung und mathematische Äquivalenz von Formeln

```
> Digits:=30;
t1 := 1/(3+sqrt(10))^4;
evalf(t1);
```

$$Digits := 30$$

$$t1 := \frac{1}{(3 + \sqrt{10})^4}$$

```
0.000693481609512304252271869340176
```

```
> Digits := 7:
t1 := 1/(3+sqrt(10.0))^4;
t2 := (3-sqrt(10.0))^4;
t3 := (19-6*sqrt(10.0))^2;
t4 := 721-228*sqrt(10.0);
t5 := 1/(19+6*sqrt(10.0))^2;
t6 := 1/(721+228*sqrt(10.0));
```

```
t1 := 0.0006934815
```

```
t2 := 0.0006934874
```

```
t3 := 0.0006932689
```

```
t4 := 0.0006
```

```
t5 := 0.0006934815
```

```
t6 := 0.0006934818
```

```
> i:='i':
n:=17:
printf('Tabelle mit Genauigkeiten Digits=1..17,
keine 2 Spalten sind gleich'):
printf(' '):
```

```
printf(' i          t1          t2          t3' ||
'          t4          t5          t6\n');
```

```
for i from 1 to n do
```

```
  Digits:=i:
```

```
  t1 := 1/(3+sqrt(10.0))^4;
```

```
  t2 := (3-sqrt(10.0))^4;
```

```
  t3 := (19-6*sqrt(10.0))^2;
```

```
  t4 := 721-228*sqrt(10.0);
```

```
  t5 := 1/(19+6*sqrt(10.0))^2;
```

```
  t6 := 1/(721+228*sqrt(10.0));
```

```
  printf(' %2d %23.20f %23.20f %23.20f %24.20f %23.20f %23.20f\n',
i,t1,t2,t3,t4,t5,t6):
```

```
end do:
```

```
Digits:=30:
```

```
evalf(1/(3+sqrt(10))^4);
```

```
Digits:=10:
```

Tabelle mit Genauigkeiten $\text{Digits}=i=1..17$, keine 2 Spalten sind gleich.
Das Format der Zahlendarstellung wurde wegen Platzeinsparung verändert.

i	t1	t2	t3	t4	t5	t6
1	8.000000000000000E+0	0.000000000000000E+0	0.000000000000000E+0	1.000000000000000E+2	6.000000000000000E-4	1.000000000000000E-3
2	6.800000000000000E-4	1.600000000000000E-3	0.000000000000000E+0	-2.000000000000000E+1	6.900000000000000E-4	6.700000000000000E-4
3	6.940000000000000E-4	6.550000000000000E-4	0.000000000000000E+0	1.000000000000000E+0	6.930000000000000E-4	6.940000000000000E-4
4	6.936000000000000E-4	6.887000000000000E-4	9.000000000000000E-4	1.000000000000000E-1	6.936000000000000E-4	6.935000000000000E-4
5	6.934700000000000E-4	6.938600000000000E-4	6.760000000000000E-4	0.000000000000000E+0	6.934700000000000E-4	6.934800000000000E-4
6	6.934810000000000E-4	6.935220000000000E-4	6.916900000000000E-4	0.000000000000000E+0	6.934800000000000E-4	6.934810000000000E-4
7	6.934815000000000E-4	6.934874000000000E-4	6.932689000000000E-4	6.000000000000000E-4	6.934815000000000E-4	6.934818000000000E-4
8	6.934815900000000E-4	6.934822900000000E-4	6.934795600000000E-4	6.800000000000000E-4	6.934816100000000E-4	6.934816100000000E-4
9	6.934816100000000E-4	6.934816070000000E-4	6.934795600000000E-4	6.940000000000000E-4	6.934816080000000E-4	6.934816080000000E-4
10	6.934816096000000E-4	6.934816066000000E-4	6.934816627000000E-4	6.935000000000000E-4	6.934816096000000E-4	6.934816098000000E-4
11	6.934816095000000E-4	6.934816100500000E-4	6.934816100500000E-4	6.934700000000000E-4	6.934816095100000E-4	6.934816095200000E-4
12	6.934816095120000E-4	6.934816095400000E-4	6.934816100540000E-4	6.934810000000000E-4	6.934816095130000E-4	6.934816095120000E-4
13	6.934816095125000E-4	6.934816095058000E-4	6.934816095268000E-4	6.934817000000000E-4	6.934816095123000E-4	6.934816095125000E-4
14	6.934816095122900E-4	6.934816095126600E-4	6.934816095268400E-4	6.934816000000000E-4	6.934816095123100E-4	6.934816095123000E-4
15	6.934816095123040E-4	6.934816095123160E-4	6.934816095110400E-4	6.934816090000000E-4	6.934816095123030E-4	6.934816095123040E-4
16	6.934816095123044E-4	6.934816095122986E-4	6.934816095126198E-4	6.934816096000000E-4	6.934816095123045E-4	6.934816095123045E-4
17	6.9348160951230427E-4	6.9348160951230371E-4	6.9348160951230383E-4	6.934816095200000E-4	6.9348160951230425E-4	6.9348160951230425E-4

6.93481609512304252271869340176E-4

Rechnungen in MATLAB

Termumformung und mathematische Äquivalenz von Formeln (Datei *aequiv2.m*)

Varianten (1)-(6)

x = 6.934816095123039e-004

x = 6.934816095123075e-004

x = 6.934816095122907e-004

x = 6.934816094599228e-004

x = 6.934816095123043e-004

x = 6.934816095123043e-004

Guete : (6) >= (5) > (1) > (2) > (3) >> (4)

exakt : 6.93481609512304252272...E-04

MATLAB hat fast genau das Ergebnis wie Pascal-XSC.

MATLAB ist qualitativ vergleichbar mit Maple bei $\text{Digits}=16$. Die quantitativen Unterschiede rühren eher von den Maple-Schwächen bei der Berechnung der Quadratwurzel her.

1.4 Auswertung von Funktionen und Kommandos

(1) Maple-Kommando `linsolve` zur Lösung von Gleichungssystemen

Wir verwenden das Kommando für ein lineares Gleichungssystemen (LGS) mit der Hilbert-Matrix H als Koeffizientenmatrix. Diese ist zwar symmetrisch und positiv definit, aber schlecht konditioniert. So genügt es, ein kleines System zu betrachten. Wenn die Rechengenauigkeit `Digits=...` eingestellt ist und die Kondition $\text{cond}(H) = \mathcal{O}(10^t)$ beträgt, dann muss man in der Lösung des LGS einen Genauigkeitsverlust von ca. t Mantissenstellen einkalkulieren.

Maple 8, 9.5 liefert dabei rund eine Dezimale mehr Genauigkeit als Maple V.

(2) Maple-Kommandos `norm` und `cond` aus dem Paket `linalg`

Diese beiden Kommandos waren in Maple V eine Schwachstelle und sind in der neueren Version korrigiert worden. Zum Test kann man die symmetrische und positiv definite Hilbert-Matrix verwenden [16].

(3) Lange Listen und Folgen

Man kann in Maple mit beliebig langen Listen arbeiten. Aber die Indizierung der Listenelemente, wie dies bei Vektorkomponenten üblich ist, erfährt an der Grenze 100 andere Eigenschaften.

Die Abfrage von Listenelementen, auch mit einem Index größer als 100, ist zwar möglich. Aber eine Belegung/Zuordnung zu beliebigen Listenelementen - nicht nur im "oberen" Indexbereich - mittels Ergibtanweisung führt zu einer Fehlermeldung mit dem Hinweis, auf Arrays auszuweichen [16].

(4) Felder

Es gibt verschiedene Möglichkeiten der Definition von Feldern in Maple.

Dabei erweisen sich die zahlreichen Kommandos/Funktionen in den Paketen `linalg` und `LinearAlgebra`, speziell zur linearen Algebra, als sehr nützlich.

Ein- und mehrdimensionale Felder werden mit dem Kommando `array` erzeugt.

Matrizen `matrix` und Vektoren `vector` sind spezielle Felder.

Der Index ist aus einem festem Integer-Bereich zu wählen und es erfolgt eine Kontrolle der Zulässigkeit der Indizes.

Ein Feld kann dann initialisiert werden, entweder mit einer Liste von Daten oder ohne.

Man beachte, dass der Wert eines Feldes A der Bezeichner des Feldes A selbst ist, weil auch oft die Feldkomponenten noch keine konkreten Werte haben. Es wird also mit Adressen gearbeitet und es werden Adressen übergeben.

Es gibt spezielle Kommandos zur Berechnung/Verarbeitung von Feldern, wo es um ihren Inhalt, also um die Feldkomponenten geht. Wenn man Zuweisungen, Ausgaben oder Prozedurrückgabe von Feldern machen will, dann benutze man das Kommando `print` oder eine der Berechnungsfunktionen `eval`, `evalm`, `evalf`,

Dabei wird unterschieden, ob das Argument ein `array` oder eine `matrix` bzw. `vector` ist. Insbesondere, wenn ein `array` die unteren Indexgrenzen 1 hat, dann ist es auch eine `matrix`. Diese Doppeldeutung hat Auswirkung auf die Verwendung der Berechnungsfunktionen `eval`, `evalm`.

Aus Datei `genarr2.mws`

```
> A:=hilbert(3);      # A:=linalg[hilbert](3); # nicht hilbert(m,n)
whattype(hilbert), whattype(A);
type(A,matrix), type(A,array);
A;
evalm(A);            # wie eval(A) bzw. print(A)
evalf(A);
evalf(evalm(A));    # Digits=10
```

$$A := \begin{bmatrix} 1 & \frac{1}{2} & \frac{1}{3} \\ \frac{1}{2} & \frac{1}{3} & \frac{1}{4} \\ \frac{1}{3} & \frac{1}{4} & \frac{1}{5} \end{bmatrix}$$

symbol, symbol

true, true

$$A$$

$$\begin{bmatrix} 1 & \frac{1}{2} & \frac{1}{3} \\ \frac{1}{2} & \frac{1}{3} & \frac{1}{4} \\ \frac{1}{3} & \frac{1}{4} & \frac{1}{5} \end{bmatrix}$$

A

$$\begin{bmatrix} 1. & 0.5000000000 & 0.3333333333 \\ 0.5000000000 & 0.3333333333 & 0.2500000000 \\ 0.3333333333 & 0.2500000000 & 0.2000000000 \end{bmatrix}$$

Traditionelle mathematische Notation mit Bezeichner und Gleichheitszeichen

```
> A:
%=evalm(%);
```

$$A = \begin{bmatrix} 1 & \frac{1}{2} & \frac{1}{3} \\ \frac{1}{2} & \frac{1}{3} & \frac{1}{4} \\ \frac{1}{3} & \frac{1}{4} & \frac{1}{5} \end{bmatrix}$$

Will man Matrizen und Vektoren umspeichern und unter anderen Namen verwenden, dann benutzt man das Kommando `evalm`.

Dabei sollte man lieber einmal mehr als zu wenig dieses Kommando notieren.

Zahlreiche Möglichkeiten der Generierung von Matrizen und Vektoren, verbunden auch mit praktischen Anwendungsbereichen, sind in [16] aufgezeigt.

(5) LU-Faktorisierung einer quadratischen Matrix

In der linearen Algebra treten sehr häufig unterschiedliche Faktorisierungen von Matrizen auf, die *LU*-Faktorisierung (auch *LU*-Zerlegung genannt) ist eine davon. Sie ist direkt verbunden mit dem Gaußschen Eliminationsverfahren (Gauß-Algorithmus, GA) zur Lösung von LGS.

Betrachten wir die Realisierung der **vollständigen LU-Faktorisierung** ohne Pivottisierung von

$A = A(n, n) = (a_{ij})$ in eine untere bzw. obere Dreiecksmatrix gemäß $A = LU$.

Die Durchführbarkeit ohne Pivottisierung entspricht der Diagonalstrategie und ist möglich, wenn in allen Schritten das Diagonalelement nicht Null wird. Natürlich ist es günstiger eine andere Pivotstrategie zu verfolgen, denn auch Divisionen durch betragskleine Werte beeinträchtigen die numerische Stabilität der Faktorisierung.

Als erste Verbesserung betrachten wir nur die Spaltenpivottisierung mit Zeilenvertauschung. Dabei gibt es einige kleine Modifikationen der Wahl des sogenannten Pivotelements in der jeweiligen Spalte. Zum Pivotelement gehört seine Pivotzeile.

- Wenn ein Diagonalelement verschwindet, dann sucht man darunter in derselben Spalte
 - das erste nicht verschwindende Element oder
 - das betragsgrößte Element
 und vertauscht diese Zeile mit der Pivotzeile.
- Generell sucht man von Anfang an in der ersten Spalte eines jeden Teiltableaus das betragsgrößte Element und tauscht gegebenenfalls die zugehörige Zeile mit der Diagonalzeile.

Dabei merkt man sich die Zeilenvertauschungen in einem Permutationsvektor

$p = (p_1, p_2, \dots, p_n)$, dessen Initialisierung $p = (1, 2, \dots, n)$ ist.

Damit ergeben sich die Einträge in der orthogonalen Permutationsmatrix P .

p_i bedeutet in der i -ten Zeile und p_i -ten Spalte eine Eins, sonst Nullen in der Zeile.

Praktisch heißt das die Bildung der zeilenvertauschten Matrix $\tilde{A} = PA$ und ihre Faktorisierung $\tilde{A} = PA = LU$.

So kann man auch die Formel $A = P^T LU = \tilde{L}U$, $\tilde{L} = P^T L$, notieren.

Bei der *LU*-Faktorisierung mit den CAS Maple und MATLAB sollte man auf die "feinen" Unterschiede und die Möglichkeiten der Ergebnisdarstellung achten.

Dabei soll vorausgeschickt werden, dass die CAS bezüglich der dazu verwendeten Algorithmen und Strategien einem ständigen Wandel unterliegen. Das heißt nicht unbedingt, dass die neuere Version in jedem Fall besser ist, angefangen von der Verständlichkeit hin bis zu algorithmischen Aspekten und letztendlich auch bei der Lösungsdarstellung.

Manchmal wird der Nutzer von der Implementation nicht nur in Erstaunen versetzt, sondern fast schockiert.

Zunächst das Maple-Kommando LUdecomp im Paket linalg.

In der Online-Hilfe wird dazu eine relativ diffuse Erläuterung gegeben. Genauer ist:

- Symbolische Rechnung
Falls alle Pivotlemente nicht Null sind, dann keine Pivotstrategie und $A=LU$, $P=I$.
Falls Pivotelement=0, wird in der Spalte das naechste NNE gesucht und die beiden Zeilen vertauscht, dabei Bildung der Permutationsmatrix P, so dass $A=PLU$.
- Numerische Rechnung
Generell Anwendung der Spaltenpivotstrategie mit Suche des betragsgroessten Elements in der Spalte und dann gegebenenfalls Zeilenvertauschung.

Bei der symmetrischen positiv definiten (spd) Hilbert-Matrix verläuft die symbolische Rechnung der LU -Faktorisierung verständlicherweise ohne Pivotstrategie.

Aus Datei *lu2.mws*

```
> A:=hilbert(3);
```

$$A := \begin{bmatrix} 1 & \frac{1}{2} & \frac{1}{3} \\ \frac{1}{2} & \frac{1}{3} & \frac{1}{4} \\ \frac{1}{3} & \frac{1}{4} & \frac{1}{5} \end{bmatrix}$$

Kurzform

```
> LUdecomp(A); # Ergebnis ist U
```

$$\begin{bmatrix} 1 & \frac{1}{2} & \frac{1}{3} \\ 0 & \frac{1}{12} & \frac{1}{12} \\ 0 & 0 & \frac{1}{180} \end{bmatrix}$$

Langform

```
> LUdecomp(A,L='l',U='u',P='p'): # Ergebnisse sind U,L,P
U:=evalm(u);
L:=evalm(l);
P:=evalm(p): # P=I
```

$$U := \begin{bmatrix} 1 & \frac{1}{2} & \frac{1}{3} \\ 0 & \frac{1}{12} & \frac{1}{12} \\ 0 & 0 & \frac{1}{180} \end{bmatrix}$$

$$L := \begin{bmatrix} 1 & 0 & 0 \\ \frac{1}{2} & 1 & 0 \\ \frac{1}{3} & 1 & 1 \end{bmatrix}$$

Bei der numerische Rechnung (GP-Zahlen) mit Pivotstrategie passiert folgendes.

Wenn wir den ersten Zwischenschritt bei der LU -Faktorisierung mit dem Resttableau nehmen, so erkennen wir in der 2. Spalte an der Diagonalstelle und eine Position darunter die gleichen Werte $\frac{1}{12}$. Bei numerischen Rechnungen stehen dort die GP-Zahlen der Berechnungen, die bei Berücksichtigung von zusätzlichen Rundungen in der GPA nahe dem exakten Wert 0.083333333333333... liegen. Aber es kann dann natürlich passieren, dass der numerische Wert in der 3. Zeile größer ist, und somit eine Vertauschung von 2. und 3. Zeile stattfindet.

Damit gibt es ein abweichendes Verhalten von der symbolischen Rechnung und das Ergebnis ist die dann notierte Faktorisierung mit der Zeilenvertauschung

$$A = P_1 L_1 U_1 = \begin{pmatrix} 1 & 0 & 0 \\ 0 & 0 & 1 \\ 0 & 1 & 0 \end{pmatrix} \begin{pmatrix} 1 & 0 & 0 \\ \frac{1}{3} & 1 & 0 \\ \frac{1}{2} & 1 & 1 \end{pmatrix} \begin{pmatrix} 1 & \frac{1}{2} & \frac{1}{3} \\ 0 & \frac{1}{12} & \frac{4}{45} \\ 0 & 0 & \frac{-1}{180} \end{pmatrix}.$$

An dieser Stelle machen wir Vergleichsrechnungen mit Maple V und den 2 Varianten von Maple 8 bzw. 9.5.

Der "alte" numerische Algorithmus in `LUdecomp` von Maple V wurde zwar in Maple 7/8/9.5 ausgetauscht (Ersetzung durch eine bessere FORTRAN-Routine), aber es ist schon eigenartig, dass z. B. in Maple 8 die Matrixdefinitionen `A:=hilbert(3)` und `A:=evalm(hilbert(3))` zu unterschiedlicher Behandlung führen.

Maple V

```
> # A:=hilbert(3):      oder
  A:=matrix(3,3,[[1, 1/2,1/3],
                [1/2,1/3,1/4],
                [1/3,1/4,1/5]] );
> A[1,1]:=1.0: # numerische Rechnung
> Digits:=10:

> LUdecomp(A,L='l',U='u',P='p'); # Ausgabe von U
  U:=evalm(u);
  L:=evalm(l);
  P:=evalm(p);
```

Maple 8, D1

```
> # 1. Definition
  A:=hilbert(3):
> A[1,1]:=1.0:
> Digits:=10:

> LUdecomp(A,L='l',U='u',P='p'); # Ausgabe von U
  U:=evalm(u);
  L:=evalm(l);
  P:=evalm(p);
```

Maple 8, D2

```

> # 2. Definition
A:=evalm(hilbert(3)):
# oder
# A:=matrix(3,3,[[1,1/2,1/3],[1/2,1/3,1/4],[1/3,1/4,1/5]]);
> A[1,1]:=1.0:
> Digits:=10:

> LUdecomp(A,L='l',U='u',P='p'); # Ausgabe von U
U:=evalm(u);
L:=evalm(l);
P:=evalm(p);

```

Maple 9.5, D1/2

```

> # 1. bzw. 2. Definition mit gleicher Behandlung
A:=hilbert(3): # bzw. A:=evalm(hilbert(3)): oder
# A:=matrix(3,3,[[1,1/2,1/3],[1/2,1/3,1/4],[1/3,1/4,1/5]]);
> A[1,1]:=1.0:
> Digits:=10:

> LUdecomp(A,L='l',U='u',P='p'); # Ausgabe von U
U:=evalm(u);
L:=evalm(l);
P:=evalm(p);

```

Die Ergebnisse sind in der nachfolgenden Tabelle eingetragen und verlangen einen Kommentar.

Bemerkungen

- Man sieht, dass sich Maple V und Maple 8, 9.5 in der Pivotstrategie nach dem 1. Zwischenschritt anders verhalten. Wie ist das bei anderen Genauigkeiten?
- Erkennbar sind Unterschiede in den letzten Dezimalen der Elemente der Matrizen.
- Unverständlich ist die Ausgabe der oberen Dreiecksmatrix U bei `LUdecomp` in Maple 8 in der 2. Matrixdefinition `A:=evalm(hilbert(3))` bzw. Maple 9.5. bei beiden Varianten.
- Warum stehen solche langen Dezimalzahlen, obwohl wegen der eingestellten Genauigkeit nur die ersten Stellen nach dem Punkt richtig sind und man die weiteren Stellen gar nicht verwerten kann?
- Zusätzlich stellt sich die Frage, wie die Darstellung bei anderen Genauigkeiten aussieht. Man sollte auf alles gefasst sein.

Die Zeilenvertauschung ist bei den einzelnen Versionen nicht das eigentliche Problem, auch wenn sie von der Computerrechnung dem Nutzer einfach aufgezwungen wird.

Auffälliger ist, welche Auswirkung die Genauigkeitseinstellung `Digits=...` hat. Diese führt in manchen Situationen dazu, dass auch alle Zwischenrechnungen auf die gültige Stellenanzahl reduziert/gerundet werden. Bei jüngeren Maple-Versionen scheint es so, dass in den Rechnungen eine zusätzliche Stelle mitgeführt wird und das letzte Ergebnis dann in der vorgegebenen Stellenanzahl erscheint.

Detaillierte Ausführungen findet man in [16].

	Maple V	Maple 8, D1
U	$\begin{bmatrix} 1.0 & .5000000000 & .3333333333 \\ 0 & .0833333333 & .0833333333 \\ 0 & 0 & .005555555560 \end{bmatrix}$	$\begin{bmatrix} 1.0 & 0.5000000000 & 0.3333333333 \\ 0 & 0.0833333334 & 0.0888888889 \\ 0 & 0 & -0.00555555539 \end{bmatrix}$
L	$\begin{bmatrix} 1.0 & .5000000000 & .3333333333 \\ 0 & .0833333333 & .0833333333 \\ 0 & 0 & .005555555560 \end{bmatrix}$	$\begin{bmatrix} 1.0 & 0.5000000000 & 0.3333333333 \\ 0 & 0.0833333334 & 0.0888888889 \\ 0 & 0 & -0.00555555539 \end{bmatrix}$
P	$\begin{bmatrix} 1 & 0 & 0 \\ .5000000000 & 1 & 0 \\ .3333333333 & 1.000000000 & 1 \end{bmatrix}$	$\begin{bmatrix} 1 & 0 & 0 \\ 0.3333333333 & 1 & 0 \\ 0.5000000000 & 0.999999998 & 1 \end{bmatrix}$
		Maple 8, D2 bzw. Maple 9.5, D1/2
U		$\begin{bmatrix} 1. & 0.500000000000000000 & 0.333333333299999979 \\ 0. & 0.0833333333500000107 & 0.0888888889111111304 \\ 0. & 0. & -0.00555555550777775410 \end{bmatrix}$
L		$\begin{bmatrix} 1. & 0.5000000000 & 0.3333333333 \\ 0. & 0.08333333335 & 0.08888888891 \\ 0. & 0. & -0.005555555508 \end{bmatrix}$
P		$\begin{bmatrix} 1. & 0. & 0. \\ 0.3333333333 & 1. & 0. \\ 0.5000000000 & 0.9999999994 & 1. \end{bmatrix}$

Tab. 1.1 Ergebnisse der 5 Maple-Versionen bezüglich LU -Faktorisierung in der GPA Digits=10

Nun zum MATLAB-Kommando `lu`.

Die LU -Faktorisierung ohne Zeilenvertauschung liefert $A = LU$ mit den entsprechenden Dreiecksmatrizen L , $l_{ii} = 1$, und U . Zeilenvertauschungen werden entweder in die untere Dreiecksmatrix L einbezogen (psychologically lower triangular matrix) oder als Permutationsmatrix in Form eines zusätzlichen Ergebnisparameters angegeben.

$$\begin{aligned} [L,U] &= \text{lu}(A) & A &= LU, & \text{in } L &\text{ stehen die untere Dreiecksmatrix und} \\ & & & & &\text{Permutationsmatrix, } U \text{ obere Dreiecksmatrix} \\ [L,U,P] &= \text{lu}(A) & PA &= LU, & L,U &\text{ untere bzw. obere Dreiecksmatrix,} \\ & & & & &P \text{ Permutationsmatrix} \end{aligned}$$

Wir erinnern uns, die Faktorisierung mit dem Maple-Kommando `LUdecomp` ergab bei Pivotisierung $A = PLU$.

`lu(A)` alleine ergibt ein Tableau (eine Ergebnismatrix) $A1$ mit 2 Dreiecksmatrizen.

Werden keine Zeilenvertauschungen vorgenommen, so gilt folgendes.

In der älteren Version MATLAB 4.2 hat $A1$ die Form $C \setminus B$, welche beim verketteten Gauß-Algorithmus (VGA) entsteht, so dass $A = -CB = LU$ ist (output from LINPACK'S ZGEFA routine).

Es ist dann

$$\begin{aligned} U &= \text{triu}(\text{lu}(A)) \\ L &= \text{eye}(n) - \text{tril}(\text{lu}(A), -1) \quad \% n \text{ ist Dimension} \end{aligned}$$

In den neuen Versionen Matlab 6.* erhält man eine Tableau mit L und U (output from LAPACK'S DGETRF or ZGETRF routine), so dass

$$\begin{aligned} U &= \text{triu}(\text{lu}(A)) \\ L &= \text{eye}(n) + \text{tril}(\text{lu}(A), -1) \end{aligned}$$

folgen.

Aber die LU -Faktorisierung verwendet generell eine Pivotstrategie, und zwar die Spaltenpivotisierung mit Zeilenvertauschung. Dabei wird in der jeweiligen Spalte nach dem betragsgrößten Element gesucht.

Die Zeilenvertauschung ist aus der Kurzform `lu(A)` nicht ohne Weiteres erkennbar. Das obere Dreieck von $A1$ mit Diagonale bildet die Matrix U , die Zeilen von L ergeben sich aus den Zeilen unterhalb der Diagonalen von $A1$, aber eventuell in getauschter Reihenfolge, sowie mit $l_{ii} = 1$. Deshalb ist die Verwendung der Kommandos `[L,U] = lu(A)` oder `[L,U,P] = lu(A)` sinnvoll.

Betrachten wir wieder die spd Hilbert-Matrix `A=hilb(3)`. Die symbolische Rechnung und Faktorisierung in Maple läuft auch ohne Zeilenvertauschung ab und ergibt die erwartete Lösung.

$$\begin{aligned} A &= \begin{bmatrix} 1 & 0 & 0 \\ 1/2 & 1 & 0 \\ 1/3 & 1 & 1 \end{bmatrix} * \begin{bmatrix} 1 & 1/2 & 1/3 \\ 0 & 1/12 & 1/12 \\ 0 & 0 & 1/180 \end{bmatrix} \quad \# \text{ Maple} \end{aligned}$$

Das MATLAB-Kommando `lu` hingegen führt im 2. Schritt eine Vertauschung von 2. und 3. Zeile durch.

Aus Datei `luf2.m`

```
% MATLAB 4.2
% Tableau wie beim verketteten Gauss-Algorithmus, A=-CB

format rat      % display rational approximations
lu(A)
ans =
     1     1/2     1/3
    -1/2    1/12    4/45
    -1/3     -1   -1/180
```

Daraus ergibt sich die obere Dreiecksmatrix

$$U = \begin{pmatrix} 1 & 1/2 & 1/3 \\ 0 & 1/12 & 4/45 \\ 0 & 0 & -1/180 \end{pmatrix}.$$

Aber bezüglich der unteren Dreiecksmatrix ist daraus keine verwertbare Information zu entnehmen, denn die möglichen Zeilen für L würden $(1, 0, 0)$, $(1/2, 1, 0)$, $(1/3, 1, 1)$ sein, und das ist falsch.

MATLAB 6.* und MATLAB R2006a haben diese irritierende Darstellung durch die Verwendung des Resttableau-Algorithmus korrigiert.

```
% MATLAB 6.*, MATLAB R2006a
% Tableau wie beim Resttableau-Algorithmus, A=LU
format rat
lu(A)
ans =
     1     1/2     1/3
    1/3    1/12    4/45
    1/2     1   -1/180
```

So sind zumindest die Zeilen der Matrix L als $(1, 0, 0)$, $(1/3, 1, 0)$, $(1/2, 1, 1)$ ablesbar, auch wenn wegen Zeilenvertauschungen ihre Reihenfolge noch nicht klar ist.

Die Pivotstrategie bewirkt, dass im 2. Schritt beim Vergleich von $1/12=0.08333\dots$ in der 2. Zeile mit $1/12$ darunter die 3. Zeile bevorzugt wird.

Kapitel 2

Verarbeitung und Varianten zum Anhalten der Ausgabe von Daten

2.1 Vektoren und Matrizen

Es wurde schon darauf hingewiesen, dass man in Maple mit beliebig langen Listen arbeiten kann, aber die Indizierung der Listenelemente, wie dies bei Vektorkomponenten üblich ist, an der Grenze 100 andere Eigenschaften erfährt.

Also nutzt man für die Speicherung großer Datenmengen zunächst Felder (Vektoren, Matrizen, ...), im Weiteren natürlich auch ihre "Auslagerung" auf Speichermedien in Form von Dateien.

Maple will sich in der Benutzung von Vektoren als Spalten- oder Zeilenvektoren nicht festlegen, sondern sich nach Bedarf und Stellung eines Vektors in der Formel entscheiden. Das hat zur Folge, dass eigentlich Verwirrungen vorprogrammiert sind. MATLAB ist diesbezüglich konsequenter.

Wir fassen wichtige Erkenntnisse von unterschiedlichen Implementationen in Maple zusammen (Rechnungen in Datei *matvekl.mws*, [16]).

1. So wird das Kommando des Vektortransposition `transpose(x)` nicht explizit ausgeführt.
2. Im Matrix-Vektor-Produkt $A \cdot x$ ist x ein Spaltenvektor, während x in $x \cdot A$ als Zeilenvektor genommen wird. Stehen jedoch nur Vektoren in der Formel, wie beim Skalarprodukt `transpose(x) \cdot x` oder dyadischen Produkt `x \cdot transpose(x)`, dann wird x als Spaltenvektor interpretiert. Also ist die Deutung des links stehenden Vektors x in den Produkten $x \cdot A$ und $x \cdot \text{transpose}(x)$ verschieden.
3. Eine Mischung der Situationen von Skalar- und Matrix-Vektor-Produkt ergibt sich bei der Betrachtung der quadratischen Form $x^T A x$.
Wegen $x \cdot A$ und $A \cdot x$ ist einerseits die Darstellung $x \cdot A \cdot x$ möglich.

Aber genauso kann man wegen $A*x$ und $\text{transpose}(x)*x$ den Ausdruck $\text{transpose}(x)*A*x$ notieren.

4. Sobald in größeren Formeln Ausdrücke mit Feldern stehen, z. B. Differenzen von Vektoren oder Matrizen, ist zumeist die Einbeziehung der Berechnungsfunktion `evalm` zu empfehlen, manchmal ist es zur Vermeidung von syntaktischen Fehlern sogar notwendig.
5. Bei Differenzen von Matrizen haben wir die Situation, dass $A-A$ nicht die Nullmatrix ist, sondern einfach der Wert 0, so dass dann das Ergebnis auch keine Dimensionsabfragen mit `rowdim()` bzw. `coldim()` erlaubt. Ist A jedoch inhaltlich mit der Einheitsmatrix I identisch, so ist die Differenz $A-I$ eine Nullmatrix mit gegebener Dimension.
6. Bei Potenzen von Matrizen haben wir die Situation, dass A^0 nicht die Einheitsmatrix ist, sondern einfach der Wert 1, so dass dann das Ergebnis auch keine Dimensionsabfragen mit `rowdim()` bzw. `coldim()` erlaubt. Bildet man jedoch A^0-I mit der Einheitsmatrix I , so erinnert sich Maple daran, dass A^0 eigentlich mehr als die Eins darstellt und berechnet richtig als Differenz die Nullmatrix mit gegebener Dimension.

2.2 Erzeugung und Behandlung von Feldern

Es gibt viele Varianten der Eingabe, Generierung und Manipulation von Matrizen und Vektoren in Maple und MATLAB. Dabei erweisen sich die zahlreichen Kommandos/Funktionen speziell zur linearen Algebra, als sehr nützlich.

Ausgewählte Möglichkeiten

- Explizite Angabe
- Mit Funktionsdefinition
- Spezielle Matrizen wie `band`, `diag`, `rand`, `hilbert`, `toeplitz`, ...
- Matrizen mit Bildungsfunktion/Optionen
- Einheitsmatrix
- Blockdiagonalmatrix
- Elementweise Eingabe einer Matrix
- Elementweise Definition einer Matrix mit Doppelschleife
- Matrixelemente aus Gleichungen
- Aneinandersetzen/Zusammenfügen von Matrizen und Vektoren, Blockstrukturen
- ...

Implementationen in Maple findet man z. B. in der Datei `genarr2.mws`.

2.3 Varianten zum Anhalten der Datenausgabe

In MATLAB steht das einfache Kommando `pause` zur Verfügung, um allgemein die Abarbeitung der Befehlsfolge eines m-Files anzuhalten (Fortsetzung mit Tastenbetätigung) oder speziell im Rahmen von Schleifen die Erstellung und Ausgabe von Ergebnissen/Daten bzw. Dateien zu unterbrechen.

In Pascal erzielt man analoge Effekte mit den Anweisungen `readkey` oder `readln`, `readln(...)`.

Betrachten wir eine TP-Prozedur, die das Extrapolationsverfahren zur numerischen Integration, nämlich das Romberg-Verfahren, umsetzt [34]. Das Romberg-Schema bedeutet die zeilenweise Berechnung eines zweidimensionalen Tableaus, und dies als unteres linkes Dreieck. Die Anzahl der Zeilen kann man entweder vorgeben oder beschränken und dabei noch ein weiteres Abbruchkriterium hinzunehmen. Das Tableau könnte man als Matrix (zusätzlicher Prozedurparameter) speichern.

```

procedure Romberg2(zw:boolean;a,b,eps:float;var IWert:float;var iter:integer); { var T:feld }
{ Romberg-Schema Spalte 0,1,..,k,.. bis Toleranz eps erreicht oder k>=mmax,
  Vektor p[k..0] ist letzte Zeile T[k,0],T[k,1],...,T[k,k] des Tableaus T[0..k,0..k] }

const mmax=50;
var  h,ha,ah,s,q:float;
     i,k,n:integer;
     p:array[0..mmax] of float;
begin
  h:=b-a;
  n:=1;
  p[0]:=0.5*h*(f(a)+f(b));          { T[0,0]:=p[0]; }
  assign(tt,'tt1.dat');
  rewrite(tt);
  if zw then writeln(p[0]:14:10);
  writeln(tt,p[0]:14:10);
  readln;
  k:=0;
  repeat                             { for k:=1 to m do }
    k:=k+1;
    s:=0;
    ha:=h; h:=0.5*h;
    ah:=a-h;
    n:=2*n;
    q:=1;
    for i:=1 to n div 2 do s:=s+f(ah+i*ha);
    p[k]:=0.5*p[k-1]+s*h;          { T[k,0]:=p[k]; }
    if zw then write(p[k]:14:10,' ');
    write(tt,p[k]:14:10);
    for i:=k-1 downto 0 do
      begin
        q:=q*4;
        p[i]:=p[i+1]+(p[i+1]-p[i])/(q-1);  { T[k,k-i]:=p[i]; }
        if zw then write(p[i]:14:10,' ');
        write(tt,p[i]:14:10);
      end;
    writeln(tt);
    readln;
  until (abs(p[0]-p[1])<eps) or (k>=mmax);

  IWert:=p[0];
  iter:=k;
end;

```

Die Variablentypen sind aus dem Zusammenhang erkennbar. Alle wichtigen Informationen und der gewünschte Näherungswert des Integrals sind jedoch in der jeweils letzten Zeile des Tableaus enthalten.

Die Ausgabe erfolgt gegebenenfalls auf Monitor und in eine globale Text-Datei. Nach jeder Zeile des Tableaus wird mittels `readln` angehalten.

Berechnen wir nun näherungsweise das bestimmte Integral

$$I(f) = \int_0^1 \sqrt{t} e^{-t} dt = 0.378\,944\,691\,640\,984\,703\,803\dots$$

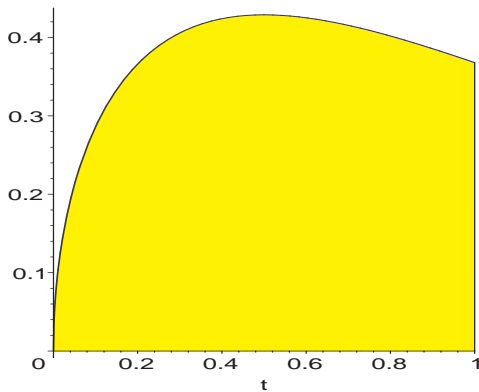


Abb. 2.1 Funktion $f(t) = \sqrt{t} e^{-t}$, $t \in [0, 1]$, und bestimmtes Integral als Fläche

Dazu liefert das Romberg-Verfahren bei einem 6-zeiligen Schema die Datei `tt1.dat` mit folgender Gestalt. Damit wird jedoch noch keine allzu große Genauigkeit erzielt, obwohl $|T[5, 4] - T[5, 5]| < 10^{-6}$ ist.

```

0.1839397206
0.3064108315  0.3472345351
0.3528258723  0.3682975526  0.3697017538
0.3696612874  0.3752730924  0.3757381284  0.3758339439
0.3756617255  0.3776618715  0.3778211234  0.3778541868  0.3778621093
0.3777857243  0.3784937239  0.3785491807  0.3785607372  0.3785635080  0.3785641936
    
```

Berechnungen in Maple mit `Digits=10` (Datei `romberg2.mws`)

```

> f:=unapply(sqrt(t)*exp(-t),t);
  Int(f(t),t=0..1)=int(f(t),t=0..1);
  Int(f(t),t=0..1)=evalf(int(f(t),t=0..1));
  Iex:=rhs(%);
    
```

$$f := t \rightarrow \sqrt{t} e^{(-t)}$$

$$\int_0^1 \sqrt{t} e^{(-t)} dt = -e^{(-1)} + \frac{1}{2}\sqrt{\pi} \operatorname{erf}(1)$$

$$\int_0^1 \sqrt{t} e^{(-t)} dt = 0.3789446918$$

`Iex := 0.3789446918`

In der Auswertung ist die letzte Mantissenstelle i. Allg. fehlerbehaftet.

Romberg-Verfahren

Wir illustrieren im Zusammenhang mit Dateiarbeit mehrere Varianten zum Anhalten der Datenausgabe.

Datei für unteres linkes Dreieck des Romberg-Schemas

```
> pfad:='C:/D/Neundorf/Maple5/':
  name0:='tt0.txt':
  datei0:=cat(pfad,name0):    # physischer Dateiname
```

Variante 1

```
> mmax:=20;
  feld:=array(sparse,0..mmax,0..mmax); # Nullmatrix
  eval(feld):                          # umfangreiche Ausgabe unterdrueckt
  vektor:=array(sparse,0..mmax);
  eval(vektor);
```

```
          mmax := 20
          feld := array(sparse, 0..20, 0..20, [])
          vektor := array(sparse, 0..20, [])
          array(sparse, 0 .. 20, [(0) = 0,(1) = 0,(2) = 0,...,(20) = 0])
```

Prozeduren mit/ohne Zwischenhalt

```
> Romberg0_m:=proc(zw::boolean,m::posint,a::numeric,b::numeric,
                  IWert::evaln)
  local h,ha,ah,s,q,    # numeric
        i,k,n,         # integer
        p,T,           # array
        td;            # Textdatei
  global f,             # Integrand
         datei0;

  td:=fopen(datei0,WRITE,TEXT):    # Dateivariablen

  p:=array(sparse,0..m);
  T:=array(sparse,0..m,0..m);

  h:=b-a;
  n:=1;
  p[0]:=evalf(0.5*h*(f(a)+f(b)));
  T[0,0]:=p[0];
  if zw then fprintf(default,'%14.10f\n',p[0]); end if;
  fprintf(td,'%14.10f\n',p[0]);
  readline();

  for k from 1 to m do
    s:=0;
    ha:=h; h:=0.5*h;
    ah:=a-h;
    n:=2*n;
```

```

q:=1;
for i from 1 to n/2 do s:=s+f(ah+i*ha); end do;
p[k]:=evalf(0.5*p[k-1]+s*h);
T[k,0]:=p[k];
if zw then fprintf(default,'%14.10f ',p[k]); end if;
fprintf(td,'%14.10f ',p[k]);
for i from k-1 by -1 to 0 do
  q:=q*4;
  p[i]:=evalf(p[i+1]+(p[i+1]-p[i])/(q-1));
  T[k,k-i]:=p[i];
  if zw then fprintf(default,'%14.10f ',p[i]); end if;
  fprintf(td,'%14.10f ',p[i]);
end do;
fprintf(default,'\n');
fprintf(td,'\n');
readline();
end do;

fclose(td);
lprint('<Ausgabe Ende>');
IWert:=p[0];
eval(T);
end proc:

> Romberg0_o:=proc(zw::boolean,m::posint,a::numeric,b::numeric,
                  IWert::evaln)
# bez. des Ergebnisparameters IWert sind zulaessig
# ... :=proc(zw::boolean,m::posint,a::numeric,b::numeric,IWert::name)
# ... :=proc(zw::boolean,m::posint,a::numeric,b::numeric,IWert)

local h,ha,ah,s,q,    # numeric
      i,k,n,          # integer
      p,T,            # array
      td;             # Textdatei
global f,              # Integrand
      datei0;

td:=fopen(datei0,WRITE,TEXT):    # Dateivariablen

p:=array(sparse,0..m);
T:=array(sparse,0..m,0..m);

h:=b-a;
n:=1;
p[0]:=evalf(0.5*h*(f(a)+f(b)));
T[0,0]:=p[0];
if zw then fprintf(default,'%14.10f\n',p[0]); end if;
fprintf(td,'%14.10f\n',p[0]);
# readline();

for k from 1 to m do
  s:=0;
  ha:=h; h:=0.5*h;
  ah:=a-h;

```

```

n:=2*n;
q:=1;
for i from 1 to n/2 do s:=s+f(ah+i*ha); end do;
p[k]:=evalf(0.5*p[k-1]+s*h);
T[k,0]:=p[k];
if zw then fprintf(default,'%14.10f ',p[k]); end if;
fprintf(td,'%14.10f ',p[k]);
for i from k-1 by -1 to 0 do
  q:=q*4;
  p[i]:=evalf(p[i+1]+(p[i+1]-p[i])/(q-1));
  T[k,k-i]:=p[i];
  if zw then fprintf(default,'%14.10f ',p[i]); end if;
  fprintf(td,'%14.10f ',p[i]);
end do;
fprintf(default,'\n');
fprintf(td,'\n');
# readline();
end do;

fclose(td);
# lprint('<Ausgabe Ende>');
IWert:=p[0];
eval(T);
end proc;

```

Parameter

```

> m:=10:
  a:=0:
  b:=1:

```

Im Aufruf der **Prozedur mit Ausgabehalt** bemerkt man einen Unterschied zwischen Maple 9.5 und Classic Maple 9.5.

```

> # Maple 9.5 mit Ausgabehalt, keine leeren Maple-Zellen vorbereiten
  lprint('Bei Ausgabehalt <Enter>');
  TT:=Romberg0_m(true,m,a,b,IWert):

```

Anhalten bedeutet das Öffnen eines Dialog-Fensters `Read a Line` mit der Aufforderung `Enter a line of text` in einem Eingabebalken. Quittiert man dies einfach mit OK (leerer Text), so wird die Abarbeitung fortgesetzt. Das Ergebnista-bleau erscheint dann in der folgenden kompakten Darstellung (Abstand zwischen den Spalten im Nachhinein verkleinert).

```

'Bei Ausgabehalt <Enter>'

0.1839397206
0.3064108315 0.3472345351
0.3528258723 0.3682975526 0.3697017538
0.3696612874 0.3752730924 0.3757381284 0.3758339439
0.3756617255 0.3776618715 0.3778211234 0.3778541868 0.3778621093
0.3777857243 0.3784937239 0.3785491807 0.3785607372 0.3785635080 0.3785641936
0.3785357016 0.3787856940 0.3788051587 0.3788092218 0.3788101962 0.3788104373 0.3788104974
0.3788003417 0.3788885551 0.3788954125 0.3788968451 0.3788971887 0.3788972737 0.3788972949 0.3788973002
0.3788937288 0.3789248578 0.3789272780 0.3789277838 0.3789279051 0.3789279351 0.3789279426 0.3789279445 0.3789279450
0.3789266935 0.3789376817 0.3789385366 0.3789387153 0.3789387582 0.3789387688 0.3789387714 0.3789387721 0.3789387723 0.3789387723
0.3789383338 0.3789422139 0.3789425160 0.3789425792 0.3789425944 0.3789425981 0.3789425990 0.3789425992 0.3789425993 0.3789425993
'<Ausgabe Ende>'

```

```
# Classic Maple mit Ausgabebehalt, m+1 leere Maple-Zellen (Execution Group)
lprint('Bei Ausgabebehalt <Enter>');
TT:=Romberg0_m(true,m,a,b,IWert);
```

Bevor die Prozedur aufgerufen wird, muss man $m+1$ leere Maple-Zellen im Anschluss an die Maple-Zelle mit dem Prozeduraufruf vorbereiten.

Die Ausführung der Prozedur beginnt mit

```
'Bei Ausgabebehalt <Enter>'
0.1839397206
```

Die Abarbeitung wird nun gestoppt und in der nächsten leeren Maple-Zelle wartet der Cursor auf die Betätigung der <Enter>-Taste. Erfolgt das, wird erst dann in dieser Maple-Zelle die 2. Zeile des Romberg-Schemas ausgegeben. Der Cursor springt danach in die nächste leere Maple-Zelle usw.

Das Ergebnistableau erscheint somit in der folgenden "aufgelockerten" Darstellung (Abstand zwischen den Spalten im Nachhinein verkleinert).

```
'Bei Ausgabebehalt <Enter>'
0.1839397206
>
0.3064108315 0.3472345351
>
0.3528258723 0.3682975526 0.3697017538
>
0.3696612874 0.3752730924 0.3757381284 0.3758339439
>
0.3756617255 0.3776618715 0.3778211234 0.3778541868 0.3778621093
>
0.3777857243 0.3784937239 0.3785491807 0.3785607372 0.3785635080 0.3785641936
>
0.3785357016 0.3787856940 0.3788051587 0.3788092218 0.3788101962 0.3788104373 0.3788104974
>
0.3788003417 0.3788885551 0.3788954125 0.3788968451 0.3788971887 0.3788972737 0.3788972949 0.3788973002
>
0.3788937288 0.3789248578 0.3789272780 0.3789277838 0.3789279051 0.3789279351 0.3789279426 0.3789279445 0.3789279450
>
0.3789266935 0.3789376817 0.3789385366 0.3789387153 0.3789387582 0.3789387688 0.3789387714 0.3789387721 0.3789387723 0.3789387723
>
0.3789383338 0.3789422139 0.3789425160 0.3789425792 0.3789425944 0.3789425981 0.3789425990 0.3789425992 0.3789425993 0.3789425993 0.3789425993
>
<Ausgabe Ende>
```

Da der Aufruf mit Semikolon abschließt, wird noch einmal das Ergebnistableau als array in folgender Form ausgegeben (nicht alle Elemente notiert).

```
TT := array(sparse, 0..10, 0..10,
[(0, 0) = 0.1839397206, (0, 1) = 0, (0, 2) = 0, ..., (0, 9) = 0, (0, 10) = 0,
(1, 0) = 0.3064108315, (1, 1) = 0.3472345351, (1, 2) = 0, ..., (1, 9) = 0, (1, 10) = 0,
(2, 0) = 0.3528258723, (2, 1) = 0.3682975526, (2, 2) = 0.3697017538, ..., (2, 9) = 0, (2, 10) = 0,
...
(9, 0) = 0.3789266935, (9, 1) = 0.3789376817, (9, 2) = 0.3789385366, ..., (9, 9) = 0.3789387723, (9, 10) = 0,
(10, 0) = 0.3789383338, (10, 1) = 0.3789422139, (10, 2) = 0.3789425160, ..., (10, 9) = 0.3789425993, (10, 10) =
0.3789425993])
```

```
> IWert;
TT; # Ausgabe des Variablennamens
evalm(TT); # "
eval(TT): # Ausgabe aller Elemente in Langform wie oben
# untereinander (Classic Maple 9.5) bzw.
# nebeneinander (Maple 9.5)
0.3789425993
TT
TT
```


Test der Prozedur ohne Ausgabehalt

Dabei wird noch der Einfluss der Wahl des Typs vom formalen Ergebnisparameter `IWert` sowie seine Ersetzung durch den aktuellen Parameter untersucht.

```
> # Prozedur ohne Ausgabehalt
  IWert:='IWert':
  TT:=Romberg0_o(true,m,a,b,IWert):
    # moeglich bei formalen Parameter IWert::evaln, name bzw. IWert
  IWert;

  IWert:='IWert':
  TT:=Romberg0_o(true,m,a,b,'IWert'):
    # nicht moeglich bei formalen Parameter IWert::evaln
    # moeglich bei formalen Parameter IWert::name bzw. IWert
  IWert;

0.1839397206
0.3064108315 0.3472345351
0.3528258723 0.3682975526 0.3697017538
0.3696612874 0.3752730924 0.3757381284 0.3758339439
0.3756617255 0.3776618715 0.3778211234 0.3778541868 0.3778621093
0.3777857243 0.3784937239 0.3785491807 0.3785607372 0.3785635080 0.3785641936
0.3785357016 0.3787856940 0.3788051587 0.3788092218 0.3788101962 0.3788104373 0.3788104974
0.3788003417 0.3788885551 0.3788954125 0.3788968451 0.3788971887 0.3788972737 0.3788972949 0.3788973002
0.3788937288 0.3789248578 0.3789272780 0.3789277838 0.3789279051 0.3789279351 0.3789279426 0.3789279445 0.3789279450
0.3789266935 0.3789376817 0.3789385366 0.3789387153 0.3789387582 0.3789387688 0.3789387714 0.3789387721 0.3789387723 0.3789387723
0.3789383338 0.3789422139 0.3789425160 0.3789425792 0.3789425944 0.3789425981 0.3789425990 0.3789425992 0.3789425993 0.3789425993
0.3789425993
Error, illegal use of an object as a name
  IWert
```

Als nächstes werden wir aus dem Tableau eine Matrix erzeugen.

Zwei Arten der Transformation `array TT -> matrix TT1` führen auf das gleiche Ergebnis. Die sparse Belegung geht dabei verloren.

```
> # einfache Variante
  TT1:=convert(TT,matrix);

> # andere Variante
  TT1:=matrix(m+1,m+1,[]):
  for j from 0 to m do
    for k from 0 to m do
      TT1[j+1,k+1]:=evalf(TT[j,k]);
    end do;
  end do;
  TT1:=evalm(TT1);

TT1 :=
[0.1839397206      0      0      0      0      0      0      0      0      0      0
0.3064108315 0.3472345351      0      0      0      0      0      0      0      0      0
0.3528258723 0.3682975526 0.3697017538      0      0      0      0      0      0      0      0
0.3696612874 0.3752730924 0.3757381284 0.3758339439      0      0      0      0      0      0      0
0.3756617255 0.3776618715 0.3778211234 0.3778541868 0.3778621093      0      0      0      0      0      0
0.3777857243 0.3784937239 0.3785491807 0.3785607372 0.3785635080 0.3785641936      0      0      0      0      0
0.3785357016 0.3787856940 0.3788051587 0.3788092218 0.3788101962 0.3788104373 0.3788104974      0      0      0      0
0.3788003417 0.3788885551 0.3788954125 0.3788968451 0.3788971887 0.3788972737 0.3788972949 0.3788973002      0      0      0
0.3788937288 0.3789248578 0.3789272780 0.3789277838 0.3789279051 0.3789279351 0.3789279426 0.3789279445 0.3789279450      0      0
0.3789266935 0.3789376817 0.3789385366 0.3789387153 0.3789387582 0.3789387688 0.3789387714 0.3789387721 0.3789387723 0.3789387723      0
0.3789383338 0.3789422139 0.3789425160 0.3789425792 0.3789425944 0.3789425981 0.3789425990 0.3789425992 0.3789425993 0.3789425993]
```

In Maple 9.5 wird die Ausgabe bei einer Matrixdimension ≥ 10 umgeschaltet auf die zeilenweise Darstellung.

30 Verarbeitung und Varianten zum Anhalten der Ausgabe von Daten

Nun speichern wir Tableau und Matrix als Dateien ab.

Wir verwenden die physischen Dateinamen C:/D/Neundorf/Maple5/tableau*.txt.

Tableau TT speichern und lesen

```
> name1:='tableau1.txt':
  datei1:=cat(pfad,name1):      # physischer Dateiname
  save TT,datei1;              # als array mit Namen TT speichern,
                               # Abspeichern der Nichtnull-Elemente nebeneinander
  read datei1;                 # Ausgabe aller Elemente in Langform
                               # untereinander (Classic Maple 9.5) genaess
                               # TT:=array(sparse,0..10,0..10,[
                               # (0,0)=0.1839397206
                               # ...
                               # bzw. nebeneinander (Maple 9.5)
  print(TT):                   # Ausgabe der Elemente untereinander/nebeneinander
```

Die Datei `tableau1.txt` hat folgenden Aufbau. Man beachte, dass wegen der Option `sparse` wirklich nur die Nichtnull-Elemente gespeichert werden. Ihre Reihenfolge ist ungeordnet und für die verschiedenen Maple-Versionen unterschiedlich.

```
TT := array(sparse,0 .. 10, 0 .. 10,[(7, 0)=.3788003417,(10, 1)=.3789422139,(
10, 9)=.3789425993,(6, 2)=.3788051587,(9, 9)=.3789387723,(10, 0)=.3789383338,(
9, 7)=.3789387721,(6, 5)=.3788104373,(6, 0)=.3785357016,(7, 1)=.3788885551,(8,
3)=.3789277838,(9, 0)=.3789266935,(7, 3)=.3788968451,(10, 2)=.3789425160,(4, 4
)=.3778621093,(8, 1)=.3789248578,(9, 3)=.3789387153,(9, 1)=.3789376817,(1, 0)=
.3064108315,(10, 6)=.3789425990,(5, 1)=.3784937239,(8, 7)=.3789279445,(3, 3)=.
3758339439,(7, 7)=.3788973002,(5, 0)=.3777857243,(4, 2)=.3778211234,(3, 2)=.37
57381284,(10, 10)=.3789425993,(8, 0)=.3788937288,(6, 4)=.3788101962,(9, 4)=.37
89387582,(3, 0)=.3696612874,(9, 6)=.3789387714,(5, 2)=.3785491807,(5, 3)=.3785
607372,(5, 5)=.3785641936,(10, 5)=.3789425981,(9, 2)=.3789385366,(4, 3)=.37785
41868,(5, 4)=.3785635080,(3, 1)=.3752730924,(8, 2)=.3789272780,(7, 6)=.3788972
949,(2, 2)=.3697017538,(10, 3)=.3789425792,(6, 3)=.3788092218,(7, 5)=.37889727
37,(1, 1)=.3472345351,(4, 1)=.3776618715,(10, 8)=.3789425993,(8, 4)=.378927905
1,(2, 0)=.3528258723,(8, 6)=.3789279426,(8, 5)=.3789279351,(7, 2)=.3788954125,
(6, 1)=.3787856940,(7, 4)=.3788971887,(2, 1)=.3682975526,(4, 0)=.3756617255,(9
, 5)=.3789387688,(9, 8)=.3789387723,(10, 7)=.3789425992,(10, 4)=.3789425944,(0
, 0)=.1839397206,(6, 6)=.3788104974,(8, 8)=.3789279450]);
```

Damit macht das Kommando `readdata` zum Lesen der jeweiligen anfänglichen Spalten der Datei keinen Sinn und ist nicht nachvollziehbar. Zur Illustration, der Wert 0.3788972949 steht z. B. im Element (7,6).

```
> readdata(datei1,1);        # read the first column of the data
  readdata(datei1,2);        # read the first two columns of the data
```

```
[0.,0.3788972949 1010,0.3777857243 1010,0.97017538 108,0.9425993 107,1962.,551.,16.,9.,4.,0.]
[[0.],[0.3788972949 1010],[0.3777857243 1010],[0.97017538 108],[0.9425993 107],[1962.],[551.],[16.],[9.],[4.],[0.]]
```

Matrix TT1 speichern und lesen

```

> name2:='tableau2.txt':
datei2:=cat(pfad,name2):
save TT1,datei2; # als matrix mit Namen TT1 speichern
                  # (wie bei array(1..,1..))
                  # Abspeichern aller Elemente nebeneinander
read datei2;      # Ausgabe von Matrixname und allen Elementen als Matrix
print(TT1):      # Ausgabe aller Elemente als Matrix

```

Die Ausgabe der Matrix TT1 als übliche Form haben wir mit dem Kommando `TT1:=evalm(TT1)` in Classic Maple 9.5 schon vorgeführt.

In Maple 9.5 erhält man wegen $m = 10$ (damit Matrixdimension ≥ 10) eine zeilenweise Darstellung.

```

TT1 := [[ 0.1839397206, 0., 0., 0., 0., 0., 0., 0., 0., 0.], [3.064108315, .3472345351, 0., 0., 0., 0., 0., 0., 0., 0.],
 [ 0.3528258723, 0.3682975526, 0.3697017538, 0., 0., 0., 0., 0., 0., 0.],
 [ 0.3696612874, 0.3752730924, 0.3757381284, 0.3758339439, 0., 0., 0., 0., 0., 0.],
 [ 0.3756617255, 0.3776618715, 0.3778211234, 0.3778541868, 0.3778621093, 0., 0., 0., 0., 0.],
 [ 0.3777857243, 0.3784937239, 0.3785491807, 0.3785607372, 0.3785635080, 0.3785641936, 0., 0., 0., 0.],
 [ 0.3785357016, 0.3787856940, 0.3788051587, 0.3788092218, 0.3788101962, 0.3788104373, 0.3788104974, 0., 0., 0.],
 [ 0.3788003417, 0.3788885551, 0.3788954125, 0.3788968451, 0.3788971887, 0.3788972737, 0.3788972949, 0.3788973002, 0., 0., 0.],
 [ 0.3788937288, 0.3789248578, 0.3789272780, 0.3789277838, 0.3789279051, 0.3789279351, 0.3789279426, 0.3789279445, 0.3789279450, 0., 0.],
 [ 0.3789266935, 0.3789376817, 0.3789385366, 0.3789387153, 0.3789387582, 0.3789387688, 0.3789387714, 0.3789387721, 0.3789387723,
                                                                                                     0.3789387723, 0.],
 [ 0.3789383338, 0.3789422139, 0.3789425160, 0.3789425792, 0.3789425944, 0.3789425981, 0.3789425990, 0.3789425992, 0.3789425993,
                                                                                                     0.3789425993, 0.3789425993]]

```

Die Datei `tableau2.txt` hat folgenden Aufbau. Man beachte, dass alle Elemente gespeichert werden. Ihre Reihenfolge ist ungeordnet und für die verschiedenen Maple-Versionen unterschiedlich.

```

TT1 := array(1 .. 11, 1 .. 11, [(2, 5)=0., (6, 3)=.3785491807, (11, 3)=.378942516\
0, (5, 1)=.3756617255, (5, 6)=0., (2, 6)=0., (1, 10)=0., (3, 8)=0., (9, 8)=.37892794\
45, (4, 7)=0., (4, 2)=.3752730924, (10, 1)=.3789266935, (11, 8)=.3789425992, (2, 4)\
=0., (9, 11)=0., (11, 7)=.3789425990, (10, 6)=.3789387688, (11, 4)=.3789425792, (8,\
9)=0., (6, 10)=0., (7, 8)=0., (3, 10)=0., (9, 5)=.3789279051, (10, 7)=.3789387714, (\
8, 11)=0., (11, 1)=.3789383338, (7, 10)=0., (8, 10)=0., (10, 4)=.3789387153, (2, 9)\
=0., (8, 3)=.3788954125, (10, 3)=.3789385366, (8, 5)=.3788971887, (11, 6)=.3789425\
981, (1, 3)=0., (4, 3)=.3757381284, (11, 10)=.3789425993, (7, 5)=.3788101962, (11,\
11)=.3789425993, (1, 2)=0., (4, 11)=0., (8, 6)=.3788972737, (8, 4)=.3788968451, (5,\
10)=0., (5, 9)=0., (4, 9)=0., (3, 6)=0., (9, 3)=.3789272780, (7, 2)=.3787856940, (5,\
11)=0., (11, 9)=.3789425993, (5, 7)=0., (10, 10)=.3789387723, (2, 3)=0., (8, 2)=.37\
88885551, (3, 5)=0., (2, 11)=0., (5, 5)=.3778621093, (6, 8)=0., (6, 11)=0., (4, 8)=0\
., (8, 7)=.3788972949, (1, 9)=0., (4, 4)=.3758339439, (5, 8)=0., (7, 4)=.3788092218\
, (10, 11)=0., (6, 7)=0., (7, 11)=0., (3, 2)=.3682975526, (1, 7)=0., (3, 1)=.3528258\
723, (4, 5)=0., (5, 4)=.3778541868, (5, 2)=.3776618715, (7, 9)=0., (10, 8)=.3789387\
721, (7, 6)=.3788104373, (9, 4)=.3789277838, (2, 1)=.3064108315, (7, 3)=.378805158\
7, (3, 11)=0., (6, 6)=.3785641936, (1, 4)=0., (4, 10)=0., (3, 3)=.3697017538, (3, 4)\
=0., (6, 4)=.3785607372, (6, 1)=.3777857243, (6, 9)=0., (7, 7)=.3788104974, (11, 2)\
=.3789422139, (9, 1)=.3788937288, (2, 8)=0., (2, 10)=0., (7, 1)=.3785357016, (10, 5)\
=.3789387582, (9, 7)=.3789279426, (5, 3)=.3778211234, (6, 5)=.3785635080, (1, 8)=\
0., (3, 9)=0., (8, 1)=.3788003417, (10, 2)=.3789376817, (1, 1)=.1839397206, (11, 5)\
=.3789425944, (1, 11)=0., (8, 8)=.3788973002, (6, 2)=.3784937239, (9, 10)=0., (9, 9)\
=.3789279450, (1, 6)=0., (3, 7)=0., (9, 6)=.3789279351, (2, 7)=0., (4, 1)=.3696612\
874, (1, 5)=0., (10, 9)=.3789387723, (9, 2)=.3789248578, (2, 2)=.3472345351, (4, 6)\
=0.] );

```

32 Verarbeitung und Varianten zum Anhalten der Ausgabe von Daten

Damit macht auch hier das Kommando `readdata` zum Lesen der jeweiligen anfänglichen Spalten der Datei keinen Sinn und ist nicht nutzbar.

```
> readdata(datei2,1);      # read the first column of the data
  readdata(datei2,2);      # read the first two columns of the data
```

```
[8., 5., 2., 962., 4373., 7., 937239., 3., 885551., 4., 0.3789272780 1010, 0.9277838 107, 0.789387153 109, 5366.]
[[8.], [5.], [2.], [962.], [4373.], [7.], [937239.], [3.], [885551.], [4.], [0.3789272780 1010], [0.9277838 107], [0.789387153 109], [5366.]]
```

Zu empfehlen ist die Verwendung einer Dateivariablen in Ergänzung zum physischen Dateinamen für die Matrix `TT1`.

```
> name3='tableau3.txt':
  datei3:=cat(pfad,name3):
  td3:=fopen(datei3,WRITE,TEXT): # File variable, file descriptor
                                  # Explicitly open the file of type TEXT
  writedata(td3,TT1);           # Write the matrix in the file
  fclose(td3);                 # Close the file

  writedata(terminal,TT1);     # Printed on the user's terminal
```

Das Ergebnis der Kontrollausgabe `writedata` auf dem Bildschirm ist

```
0.1839397206 0 0 0 0 0 0 0 0 0 0
0.3064108315 0.3472345351 0 0 0 0 0 0 0 0 0
0.3528258723 0.3682975526 0.3697017538 0 0 0 0 0 0 0 0
0.3696612874 0.3752730924 0.3757381284 0.3758339439 0 0 0 0 0 0 0
0.3756617255 0.3776618715 0.3778211234 0.3778541868 0.3778621093 0 0 0 0 0 0
0.3777857243 0.3784937239 0.3785491807 0.3785607372 0.378563508 0.3785641936 0 0 0 0 0
0.3785357016 0.378785694 0.3788051587 0.3788092218 0.3788101962 0.3788104373 0.3788104974 0 0 0 0
0.3788003417 0.3788885551 0.3788954125 0.3788968451 0.3788971887 0.3788972737 0.3788972949 0.3788973002 0 0 0
0.3788937288 0.3789248578 0.378927278 0.3789277838 0.3789279051 0.3789279351 0.3789279426 0.3789279445 0.378927945 0 0
0.3789266935 0.3789376817 0.3789385366 0.3789387153 0.3789387582 0.3789387688 0.3789387714 0.3789387721 0.3789387723 0.3789387723 0.3789387723 0
0.3789383338 0.3789422139 0.378942516 0.3789425792 0.3789425944 0.3789425981 0.378942599 0.3789425992 0.3789425993 0.3789425993 0.3789425993 0.3789425993
```

Die abgespeicherte Datei `tableau3.txt` hat eine analoge Struktur, nur dass zwischen den Spalten etwas größere Abstände auftreten können.

Die Verwendung von Variablennamen für die Datei gestattet dann den sinnvollen Umgang mit den Kommandos `readdata` und `fscanf`.

Zunächst können wir das Kommando `readdata` und den physischen Dateinamen zum Lesen der jeweiligen anfänglichen Spalten der Datei `tableau3.txt` nutzen.

```
> readdata(datei3);      # read the first column of the data
  readdata(datei3,1);    # read the first column of the data
  readdata(datei3,2);    # read the first 2 columns of the data
  readdata(datei3,3);    # read the first 3 columns of the data
```

```
[ 0.1839397206, 0.3064108315, 0.3528258723, 0.3696612874, 0.3756617255, 0.3777857243, 0.3785357016,
  0.3788003417, 0.3788937288, 0.3789266935, 0.3789383338 ]
[ 0.1839397206, 0.3064108315, 0.3528258723, 0.3696612874, 0.3756617255, 0.3777857243, 0.3785357016,
  0.3788003417, 0.3788937288, 0.3789266935, 0.3789383338 ]
[[ 0.1839397206, 0. ], [0.3064108315, 0.3472345351 ], [0.3528258723, 0.3682975526 ], [0.3696612874, 0.3752730924 ],
 [0.3756617255, 0.3776618715 ], [0.3777857243, 0.3784937239 ], [0.3785357016, 0.378785694 ], [0.3788003417,
  0.3788885551 ], [0.3788937288, 0.3789248578 ], [0.3789266935, 0.3789376817 ], [0.3789383338, 0.3789422139 ]]
[[ [ 0.1839397206, 0., 0. ], [0.3064108315, 0.3472345351, 0. ], [ 0.3528258723, 0.3682975526, 0.3697017538 ], [
  0.3696612874, 0.3752730924, 0.3757381284 ], [ 0.3756617255, 0.3776618715, 0.3778211234 ], [ 0.3777857243,
  0.3784937239, 0.3785491807 ], [ 0.3785357016, 0.378785694, 0.3788051587 ], [ 0.3788003417, 0.3788885551,
  0.3788954125 ], [ 0.3788937288, 0.3789248578, 0.378927278 ], [ 0.3789266935, 0.3789376817, 0.3789383338 ], [
  0.3789383338, 0.3789422139, 0.378942516 ]]
```

Bei Verwendung von Variablennamen der Datei ist die normale Situation wie folgt: Datei öffnen, Daten lesen, Datei schließen.

```
> td31:=fopen(datei3,READ,TEXT):
  readdata(td31);      # read the first column of the data
                      # wie readdata(td31,1)

  fclose(td31);

> td32:=fopen(datei3,READ,TEXT):
  readdata(td32,2);    # read the first two column of the data
  fclose(td32);

> td33:=fopen(datei3,READ):
  readdata(td33,float,3); # read the first three column of the data
                          # as floating-point numbers

  fclose(td33);

[ 0.1839397206, 0.3064108315, 0.3528258723, 0.3696612874, 0.3756617255, 0.3777857243, 0.3785357016,
  0.3788003417, 0.3788937288, 0.3789266935, 0.3789383338 ]
[[ 0.1839397206, 0. ], [ 0.3064108315, 0.3472345351 ], [ 0.3528258723, 0.3682975526 ], [ 0.3696612874, 0.3752730924
], [ 0.3756617255, 0.3776618715 ], [ 0.3777857243, 0.3784937239 ], [ 0.3785357016, 0.378785694 ], [ 0.3788003417,
0.3788885551 ], [ 0.3788937288, 0.3789248578 ], [ 0.3789266935, 0.3789376817 ], [ 0.3789383338, 0.3789422139 ]]
[[ [ 0.1839397206, 0., 0. ], [ 0.3064108315, 0.3472345351, 0. ], [ 0.3528258723, 0.3682975526, 0.3697017538 ], [
0.3696612874, 0.3752730924, 0.3757381284 ], [ 0.3756617255, 0.3776618715, 0.3778211234 ], [ 0.3777857243,
0.3784937239, 0.3785491807 ], [ 0.3785357016, 0.378785694, 0.3788051587 ], [ 0.3788003417, 0.3788885551,
0.3788954125 ], [ 0.3788937288, 0.3789248578, 0.378927278 ], [ 0.3789266935, 0.3789376817, 0.3789385366 ], [
0.3789383338, 0.3789422139, 0.378942516 ] ]]
```

Wir machen noch einen Test bei wiederholtem Aufruf von `readdata`, wobei dann die obige Reihenfolge der Dateiarbeit nicht eingehalten worden ist.

Die nachfolgende Bemerkung in der Maple-Hilfe ist nicht korrekt, weil nach `readdata` die Datei nicht geschlossen wird, sondern der Dateizeiger am Dateiende steht und weiteres Lesen die Position des Dateizeigers nicht ändert und “ins Leere“ führt.

```
> td3:=fopen(datei3,READ,TEXT):
  readdata(td3);      # read the first column of the data
                      # Maple-Hilfe:
                      # Furthermore, if a file name is specified,
                      # the file is closed when readdata returns.
  readdata(td3);      # Inhalt leer und Dateizeiger weiterhin am Dateiende
  fclose(td3);

> readdata(td3);      # Error, (in readline) file descriptor not in use
                      # Datei nicht geöffnet

[ 0.1839397206, 0.3064108315, 0.3528258723, 0.3696612874, 0.3756617255, 0.3777857243, 0.3785357016,
  0.3788003417, 0.3788937288, 0.3789266935, 0.3789383338 ]
[]
```

Error, (in readline) file descriptor not in use

Etwas komplizierter wird es, wenn ausgewählte Spalten der Datei zu lesen sind, etwa alle ungeraden Spalten. Dafür und natürlich auch für die ganz normale Situation eignet sich das Kommando `fscanf`.

Zunächst mit `fscanf` die normale Situation: anfängliche Spalten lesen.
Dazu benötigen ein sogenanntes Leseformat (Schablone).

```
> # Lesen der ersten 2 Spalten der Datei tableau3.txt
ls12:=seq([0,0],i=1..m+1): # Ziel der Speicherung

# The optional * in the format string indicates
# that the object is to be scanned, but not returned
# as part of the result (that is, it is discarded).

fh1:='%*f': # Leseformat einstellen
fh:=fh1:
for i from 1 to m-2 do fh:=cat(fh,fh1); end do:
fh:=cat('%f%f',fh,'\n'):
# Spalten 1,2 werden gelesen und 3,4,...,m+1 uebergangen

td4:=fopen(datei3,READ):
for i from 0 to m do
  ls12[i+1]:=fscanf(td4,fh);
end do:

# Kontrolle
ls12[1];
ls12[m+1];
ls12;
fclose(td4);

[0.1839397206, 0. ]
[0.3789383338, 0.3789422139 ]
[[ 0.1839397206, 0. ], [ 0.3064108315, 0.3472345351 ], [ 0.3528258723, 0.3682975526 ], [0.3696612874, 0.3752730924
], [ 0.3756617255, 0.3776618715 ], [0.3777857243, 0.3784937239 ], [ 0.3785357016, 0.378785694 ], [0.3788003417,
0.3788885551 ], [ 0.3788937288, 0.3789248578 ], [0.3789266935, 0.3789376817 ], [ 0.3789383338, 0.3789422139 ]]
```

```
> # Lesen der ungeraden Spalten der Datei tableau3.txt
anz:=1+iquo(m,2);
lsu:=seq([0$anz],i=1..m+1): # Ziel der Speicherung

fh1:='%f%f': # Leseformat einstellen
fh:=fh1:
for i from 1 to anz-2 do fh:=cat(fh,fh1); end do:
fh:=cat(fh,'%f\n'):
# Spalten 1,3,5,7,9,11 werden gelesen
# und 2,4,6,8,10 uebergangen

td5:=fopen(datei3,READ):
for i from 0 to m do
  lsu[i+1]:=fscanf(td5,fh);
end do:

# Kontrolle
lsu;
fclose(td5);
```

In Maple 9.5 haben wir beim Aufruf der Prozedur `Romberg0_m(true,m,a,b,IWert)` bemerkt, dass das enthaltene Kommando `readline()` zum Anhalten der Abarbeitung (Stopp der Ausgabe) führt. Gleichzeitig bedeutete es das Öffnen eines Dialog-Fensters `Read a Line` mit der Aufforderung `Enter a line of text` in einem Eingabebalken. Bei einfacher Quittierung mit OK (leerer Text) wurde die Abarbeitung fortgesetzt.

Eine mit dieser Situation vergleichbare Möglichkeit bietet die Fenster-Eingabe in der Java-Umgebung. Dazu gibt es das Maple-Paket `Maplets Package` für Fenster, Dialoge und visuelle Interfaces. Das `Maplets package` nutzt die Technology von Java [TM] Runtime Environment.

Wir beschränken uns hier auf unseren konkreten Anwendungsbereich mit entsprechenden Illustrationen und verweisen weiterführend auf die Informationen aus der Maple-Hilfe.

Zunächst testen wir die Vorgehensweise mit dieser Fenstereingabe. Es öffnet sich ein Dialog-Fenster `Input Request` mit der Aufforderung `Enter an integer` in einem Eingabebalken. Bei einfacher Quittierung z. B. mit 1 & OK bzw. 1 & <Enter> wird die Arbeit fortgesetzt. Es folgen noch einige Kontrollausgaben.

```
> with(Maplets[Elements]):
> maplet_integer:=Maplet(
    InputDialog['ID1']("Enter an integer",
        'onapprove'=Shutdown(['ID1']),
        'oncancel'=Shutdown()
    ));

> z:=Maplets[Display](maplet_integer);
whattype(z);
op(z);
whattype(op(z));
z1:=convert(op(z),name);
```

Initializing Java runtime environment.

```
z := ["1"]
list
"1"
string
z1 := 1
```

Mit dem Ergebnis `z1` als Zeichenkette (hier ein Zeichen lang) kann man numerisch jedoch nicht rechnen. Der Befehl `evalf(sin(z1))` liefert `sin(1)` und keinen numerischen Wert.

Ähnlich ist `z2` in den folgenden Zeilen keine numerische Größe, obwohl der Befehl `IsAlphaNumeric(z2)` mit `true` beantwortet wird.

```
> z2:=convert(op(z),rational,1);
op(evalf(z2));
convert(z2,float);
```

Analog öffnen sich Dialog-Fenster `Input Request` mit der Aufforderung `Enter an string` bzw. `Continue by Enter` in einem Eingabebalken. Bei einfacher Quittierung z. B. mit `abc & OK`, `abc & <Enter>` bzw. nur `<Enter>` wird die Arbeit fortgesetzt.

```

> maplet_string:=Maplet(
  InputDialog['ID1']("Enter a string",      # kann auch leere ZK sein
    'onapprove'=Shutdown(['ID1']),
    'oncancel'=Shutdown()
  ));

> z:=Maplets[Display](maplet_string);
whattype(z);
op(z);
whattype(op(z));
z1:=convert(op(z),name);

                                z := ["abc"]
                                   list
                                   "abc"
                                   string
                                z1 := abc

> maplet_enter:=Maplet(
  InputDialog['ID1']("Continue by Enter",   # kann auch ZK sein
    'onapprove'=Shutdown(['ID1']),
    'oncancel'=Shutdown()
  ));

> z:=Maplets[Display](maplet_enter);
whattype(z);
op(z);
whattype(op(z));
z1:=convert(op(z),name);

> # Kurzform
Maplets[Display](maplet_enter):

                                z := [""]
                                   list
                                   ""
                                   string
                                z1 :=

```

Die Kurzform `Maplets[Display](maplet_enter)` des Anhaltens der Abarbeitung mit Fenstereingabe soll im Romberg-Verfahren verwendet werden.

Dabei sind die Ergebnisse in einem Vektor gemerkt, können aber auch noch als Tableau $T[0..m, 0..m]$ abgelegt werden. Zusätzlich erfolgt die Speicherung in einer Datei. Somit entstehen unter Berücksichtigung der eingefügten Kommentare mehrere Versionen der entsprechenden Prozedur.


```

> Romberg0_e:=proc(zw::boolean,m::posint,a::numeric,b::numeric,
                  # tol::numeric,iter::evaln,
                  IWert::evaln)
  local h,ha,ah,s,q,      # numeric
        i,k,n,           # integer
        p,T,             # array
        td;              # Textdatei
  global f,               # Integrand
         datei0,
         maplet_enter;

  td:=fopen(datei0,WRITE,TEXT):

  p:=array(sparse,0..m);
  T:=array(sparse,0..m,0..m);      # ev. ohne Tableau

  h:=b-a;
  n:=1;
  p[0]:=evalf(0.5*h*(f(a)+f(b)));
  T[0,0]:=p[0];
  if zw then fprintf(default,'%14.10f\n',p[0]); end if;
  fprintf(td,'%14.10f\n',p[0]);

  Maplets[Display](maplet_enter);  # readline();

  for k from 1 to m do
    s:=0;
    ha:=h; h:=0.5*h;
    ah:=a-h;
    n:=2*n;
    q:=1;
    for i from 1 to n/2 do s:=s+f(ah+i*ha); end do;
    p[k]:=evalf(0.5*p[k-1]+s*h);
    T[k,0]:=p[k];
    if zw then fprintf(default,'%14.10f ',p[k]); end if;
    fprintf(td,'%14.10f ',p[k]);
    for i from k-1 by -1 to 0 do
      q:=q*4;
      p[i]:=evalf(p[i+1]+(p[i+1]-p[i])/(q-1));
      T[k,k-i]:=p[i];
      if zw then fprintf(default,'%14.10f ',p[i]); end if;
      fprintf(td,'%14.10f ',p[i]);
    end do;
    fprintf(default,'\n');
    fprintf(td,'\n');

    Maplets[Display](maplet_enter); # readline();
                                     # if abs(p[0]-p[1])<tol then break; end if;
  end do;

  fclose(td);
  # lprint('<Ausgabe Ende>');

  IWert:=p[0];
  T;      # ev. p; bzw. Liste [seq(p[i],i=0..k)];
end proc;

```

Wir rufen diese Prozedur auf.

```
> # mit Ausgabehalt und Eingabefenster
  lprint('Bei Ausgabehalt <Eingabefenster>');
  TT:=Romberg0_e(true,m,a,b,IWert):

> IWert;
  eval(TT): # lange Ausgabe unterdrueckt
```

So erhalten wir die schon erwähnte Datei tt0.dat sowie die Ausgabe

```
'Bei Ausgabehalt <Eingabefenster>'
0.1839397206
0.3064108315 0.3472345351
0.3528258723 0.3682975526 0.3697017538
0.3696612874 0.3752730924 0.3757381284 0.3758339439
0.3756617255 0.3776618715 0.3778211234 0.3778541868 0.3778621093
0.3777857243 0.3784937239 0.3785491807 0.3785607372 0.378563508 0.3785641936
0.3785357016 0.378785694 0.3788051587 0.3788092218 0.3788101962 0.3788104373 0.3788104974
0.3788003417 0.3788885551 0.3788954125 0.3788968451 0.3788971887 0.3788972737 0.3788972949 0.3788973002
0.3788937288 0.3789248578 0.378927278 0.3789277838 0.3789279051 0.3789279351 0.3789279426 0.3789279445 0.378927945
0.3789266935 0.3789376817 0.3789385366 0.3789387153 0.3789387582 0.3789387688 0.3789387714 0.3789387721 0.3789387723 0.3789387723
0.3789383338 0.3789422139 0.378942516 0.3789425792 0.3789425944 0.3789425981 0.378942599 0.3789425992 0.3789425993 0.3789425993
```

0.3789425993

Bei einer modifizierten Variante der Prozedur mit maximaler Zeilenanzahl des Romberg-Schemas und zusätzlicher Abbruchbedingung bei Unterschreitung einer Toleranz 10^{-6}

```
> # ohne Ausgabehalt, ohne Tableau
  tol:=1e-6:
  pp:=Romberg2_o(true,m,a,b,tol,iter,IWert):

> iter;
  IWert;
  eval(pp): # letzte Zeile des Romberg-Schemas als Liste
            # in umgekehrter Reihenfolge
```

werden nur 6 Zeilen des Schemas gerechnet.

Man erhält die Datei tt2.dat sowie die Ausgabe

```
0.1839397206
0.3064108315 0.3472345351
0.3528258723 0.3682975526 0.3697017538
0.3696612874 0.3752730924 0.3757381284 0.3758339439
0.3756617255 0.3776618715 0.3778211234 0.3778541868 0.3778621093
0.3777857243 0.3784937239 0.3785491807 0.3785607372 0.378563508 0.3785641936
```

5

0.3785641936

[0.3785641936, 0.3785635080, 0.3785607372, 0.3785491807,0.3784937239, 0.3777857243]

Das Kommando `readline` ist eigentlich zum zeilenweisen Lesen von Textdateien vorgesehen.

Der normale Fall wäre die folgende Prozedur mit entsprechendem Aufruf (Verwendung der Datei tt2.dat) und Ergebnis.

```

> printtext:=proc(x::string)
  local line;
  line:=readline(x);
  while line<>0 do
    printf("%s\n",line);
    line:=readline(x);
  end do;
end proc;

> printtext("C:/D/Neundorf/Maple5/tt2.txt"):

0.1839397206
0.3064108315 0.3472345351
0.3528258723 0.3682975526 0.3697017538
0.3696612874 0.3752730924 0.3757381284 0.3758339439
0.3756617255 0.3776618715 0.3778211234 0.3778541868 0.3778621093
0.3777857243 0.3784937239 0.3785491807 0.3785607372 0.378563508 0.3785641936

```

Zum Schluss machen wir noch einige Bemerkungen zum Kommando `readstat`. Es dient allgemein zum Einlesen von Anweisungen bei entsprechender Aufforderung, kann aber auch zum Anhalten der Abarbeitung genutzt werden. Zu letzterem sollte der Dialog natürlich möglichst sparsam sein.

Beginnen wir mit der einfachsten Version ohne Eingabeaufforderung.

```
> readstat();           # Eingabe mit ; oder : abschliessen
```

Der Befehl erwartet eine Eingabe. Damit ist die Abarbeitung angehalten.

Nach dieser Maple-Zelle sollte eine leere Zelle zur Verfügung stehen. Dort gibt man `;` & `<Enter>` bzw. `:` & `<Enter>` ein. Und die Abarbeitung wird fortgesetzt.

Etwas eleganter ist die Version mit Eingabeaufforderung (`prompt`).

Auch hier ist ein nachfolgende leere Maple-Zelle erforderlich.

```
> readstat("z=");
```

In der nachfolgenden Maple-Zelle kommt die Aufforderung `z=`.

Man gibt z. B. eine Zahl (hier 11) abgeschlossen mit `;` oder `:` ein.

Steht nach `readstat("z=")` ein Semikolon statt Doppelpunkt, so ist das Ergebnis und die Ausgabe

11

Sicher brauchbarer ist die Variante mit Variablenzuweisung und Eingabeaufforderung, wiederum bei nachfolgender leerer Maple-Zelle.

```
> z:=readstat("z=");
```

In der nachfolgenden Maple-Zelle kommt die Aufforderung `z=`.

Man gibt z. B. eine Zahl (hier 22) abgeschlossen mit `;` oder `:` ein. Das Ergebnis/Ausgabe ist

`z:=22`

so dass man mit der Variablen `z` auch weiter arbeiten kann.

Die Eingabe kann auch ein Ausdruck sein, was abschließend notiert werden soll.

```
> s:=readstat("Summe s=");
```

In der nachfolgenden Maple-Zelle kommt die Aufforderung `Summe s=`.
 Man gibt z. B. einen Ausdruck ein, hier `1+sqrt(7)+sin(1)` abgeschlossen mit Semikolon oder Doppelpunkt. Das Ergebnis/Ausgabe ist

$$s := 1 + \sqrt{7} + \sin(1)$$

Die Auswertung `evalf(s)` liefert den Zahlenwert 4.487222296.

Hat man viele Ausgabehalts wie bei der Ausgabe von Zeilen eines Tableaus, muss man dafür sorgen, dass entsprechend viele leere Maple-Zellen vorhanden sind.

Die Darstellung selbst ist natürlich auch nicht so "angenehm", weil sie durch die Eingabe von Zeilen mit Semikolon bzw. Doppelpunkt unterbrochen ist.

```
> Romberg2_e:=proc(zw::boolean,m::posint,a::numeric,b::numeric,
    tol::numeric,iter::evaln,
    IWert::evaln)
  local h,ha,ah,s,q,      # numeric
    i,k,n,                # integer
    p,                    # array
    td;                   # Textdatei
  global f,               # Integrand
    datei0;

  td:=fopen(datei0,WRITE,TEXT):

  p:=array(sparse,0..m);

  h:=b-a;
  n:=1;
  p[0]:=evalf(0.5*h*(f(a)+f(b)));
  if zw then fprintf(default,'%14.10f\n',p[0]); end if;
  fprintf(td,'%14.10f\n',p[0]);

  readstat():

  for k from 1 to m do
    s:=0;
    ha:=h; h:=0.5*h;
    ah:=a-h;
    n:=2*n;
    q:=1;
    for i from 1 to n/2 do s:=s+f(ah+i*ha); end do;
    p[k]:=evalf(0.5*p[k-1]+s*h);
    if zw then fprintf(default,'%14.10f ',p[k]); end if;
    fprintf(td,'%14.10f ',p[k]);
    for i from k-1 by -1 to 0 do
      q:=q*4;
      p[i]:=evalf(p[i+1]+(p[i+1]-p[i])/(q-1));
      if zw then fprintf(default,'%14.10f ',p[i]); end if;
      fprintf(td,'%14.10f ',p[i]);
    end do;
    fprintf(default,'\n');
    fprintf(td,'\n');
```

```

    readstat():

    if abs(p[0]-p[1])<tol then break; end if;
end do;

fclose(td);
# lprint('<Ausgabe Ende>');

iter:=k;
IWert:=p[0];
[seq(p[i],i=0..k)];
end proc:

```

Nun der Aufruf der Prozedur.

```

> # mit Ausgabehalt, hinreichend viele leere Zellen vorbereiten,
# Eingabeabschluss mit ; bzw. :
tol:=1e-6;
lprint('Bei Ausgabehalt :<Enter> bzw. ;<Enter>');
pp:=Romberg2_e(true,m,a,b,tol,iter,IWert):

'Bei Ausgabehalt :<Enter> bzw. ;<Enter>'
0.1839397206
;
0.3064108315 0.3472345351
;
0.3528258723 0.3682975526 0.3697017538
;
0.3696612874 0.3752730924 0.3757381284 0.3758339439
:
0.3756617255 0.3776618715 0.3778211234 0.3778541868 0.3778621093
:
0.3777857243 0.3784937239 0.3785491807 0.3785607372 0.3785635080 0.3785641936
:

```

Das erinnert uns an die ähnliche Situation in Classic Maple mit Ausgabehalt wegen `readline()` und $m + 1$ leeren Maple-Zellen.

Kapitel 3

Testmatrizen mit Eigenschaften

3.1 Matrix 1

Gegeben sei die Matrix

$$A = \begin{pmatrix} 0.780 & 0.563 \\ 0.913 & 0.659 \end{pmatrix} = \begin{pmatrix} \frac{39}{50} & \frac{563}{1000} \\ \frac{913}{1000} & \frac{659}{1000} \end{pmatrix}.$$

Ihre Eigenwerte (EW) sind

$$\lambda_{1,2} = \frac{1439}{2000} \pm \frac{\sqrt{2070717}}{2000} = 1.4389993050726317415, 0.69492736825854 \cdot 10^{-6} > 0,$$

die zugehörigen linear unabhängigen skalierten EV

$$\begin{aligned} \tilde{v}_1 &= \left(1, -\frac{121}{1126} + \frac{\sqrt{2070717}}{1126}\right)^T = (1, 1.1705138633616904822)^T, \\ \tilde{v}_2 &= \left(1, -\frac{121}{1126} - \frac{\sqrt{2070717}}{1126}\right)^T = (1, -1.3854339344096478534)^T. \end{aligned}$$

Nach Normierung mittels euklidischer Norm sind die Eigenvektoren (EV)

$$\begin{aligned} v_1 &= c_1 \left(1, -\frac{121}{1126} + \frac{\sqrt{2070717}}{1126}\right)^T = \begin{pmatrix} 0.64955572831439685710 \\ 0.76031398501800126831 \end{pmatrix}, \\ c_1 &= \left[1 + \left(-\frac{121}{1126} + \frac{\sqrt{2070717}}{1126}\right)^2\right]^{-1/2}, \\ v_2 &= c_2 \left(1, -\frac{121}{1126} - \frac{\sqrt{2070717}}{1126}\right)^T = \begin{pmatrix} 0.58526314402966098506 \\ -0.81084342029797362184 \end{pmatrix}, \\ c_2 &= \left[1 + \left(-\frac{121}{1126} - \frac{\sqrt{2070717}}{1126}\right)^2\right]^{-1/2}. \end{aligned}$$

Da die EV bis auf einen konstanten Faktor eindeutig bestimmt sind, kann das Ergebnis von Maple mit `eigenvectors` auch folgendes sein.

$$\begin{aligned}\hat{v}_1 &= \left(\frac{11}{166} + \frac{\sqrt{2070717}}{1826}, 1 \right)^T = (0.85432563534789895011, 1)^T, \\ \hat{v}_2 &= \left(\frac{11}{166} - \frac{\sqrt{2070717}}{1826}, 1 \right)^T = (-0.72179551486597123927, 1)^T.\end{aligned}$$

Nach Normierung mittels euklidischer Norm sind hier die EV

$$\begin{aligned}v_1 &= c_1 \left(\frac{11}{166} + \frac{\sqrt{2070717}}{1826}, 1 \right)^T = \begin{pmatrix} 0.64955572831439685713 \\ 0.76031398501800126832 \end{pmatrix}, \\ c_1 &= \left[1 + \left(\frac{11}{166} + \frac{\sqrt{2070717}}{1826} \right)^2 \right]^{-1/2}, \\ v_2 &= c_2 \left(\frac{11}{166} - \frac{\sqrt{2070717}}{1826}, 1 \right)^T = \begin{pmatrix} -0.58526314402966098506 \\ 0.81084342029797362183 \end{pmatrix}, \\ c_2 &= \left[1 + \left(\frac{11}{166} - \frac{\sqrt{2070717}}{1826} \right)^2 \right]^{-1/2}.\end{aligned}$$

Wir machen nun die Orthogonaltransformation von A auf eine obere Dreiecksmatrix R gemäß

$$Q^T A Q = R, \quad Q = (q_1, q_2), \quad Q^T Q = I, \quad R = \begin{pmatrix} r_{11} & r_{12} \\ 0 & r_{22} \end{pmatrix}.$$

I ist dabei die Einheitsmatrix. Wegen der Ähnlichkeit von A und R ist $r_{11} = \lambda_1$ und $r_{22} = \lambda_2$.

Wegen $(q_1, q_2)R = A(q_1, q_2)$ kann man die erste Spalte von Q zu $q_1 = v_1$ wählen.

Als Vektor $q_2 \perp q_1$ nimmt man einfach $q_2 = (q_{1,2}, -q_{1,1})^T$, $\|q_2\|_2 = 1$.

Aus $r_{12}q_1 + r_{22}q_2 = Aq_2$ und $q_1^T q_2 = 0$ folgt zunächst $r_{12} = q_1^T A q_2 = 0.35$, gleichzeitig aber auch $r_{22} = q_2^T A q_2 = q_2^T A^T q_2$, was zur Kontrolle der Übereinstimmung mit λ_2 dienen kann. Somit erhält man

$$\begin{aligned}Q &= \begin{pmatrix} 0.64955572831439685710 & 0.76031398501800126831 \\ 0.76031398501800126831 & -0.64955572831439685710 \end{pmatrix}, \\ R &= \begin{pmatrix} 1.4389993050726317415 & 0.35 \\ 0 & 0.69492736825854 \cdot 10^{-6} \end{pmatrix}.\end{aligned}$$

Die Matrix A hat eine schlechte Kondition. Kennzeichen dafür sind unter anderem:

- Die Matrix A ist fast singular.
- Die Determinante von A ist nahe Null, denn $\det(A) = 10^{-6}$.

- Wenn die Matrix A Elemente der Größenordnung $\mathcal{O}(1)$ besitzt, dann hat die inverse Matrix A^{-1} betragsmäßig große Elemente, hier

$$A^{-1} = \begin{pmatrix} 659000 & -563000 \\ -913000 & 780000 \end{pmatrix}, \quad \det(A^{-1}) = 10^6.$$

- Das Spektrum der Eigenwerte von A ist sehr “breit“. Es liegen Größenordnungen zwischen dem betragsmäßig kleinsten ($\neq 0$) und größten Eigenwert, denn sie betragen hier

$$\begin{aligned} \lambda_1 &= 0.000\,000\,694\,927\,368, \\ \lambda_2 &= 1.438\,999\,305\,072\,632. \end{aligned}$$

- Eine einfache geometrische Interpretation ist die Charakterisierung der Lösung des LGS $Ax = b$ als Schnittpunkt zweier Geraden, die sich hier in einem extrem spitzen Winkel schneiden.

Mit der Zeilensummennorm $\|A\|_\infty$ beträgt die Kondition

$$\text{cond}_\infty(A) = \|A\|_\infty \|A^{-1}\|_\infty = 1.572 \cdot 1693000 \approx 2.661 \cdot 10^6,$$

mit der Spektralnorm $\|A\|_2$ beträgt die Kondition

$$\text{cond}_2(A) = \|A\|_2 \|A^{-1}\|_2 = 1.480952059 \cdot 1480952.059 \approx 2.193218999999 \cdot 10^6.$$

Der Exponent $t = 6$ in der Näherung des Konditionswerts charakterisiert im Groben die Reduzierung der gültigen Mantissenstellen der in Rechnungen benutzten GPA bei Lösung des LGS $Ax = b$.

Die Matrix A ist nicht positiv definit, denn mit $x = (-1, 1)^T$ gilt $x^T Ax = -0.037 < 0$. A ist indefinit.

Einige Rechnungen in Maple mit der Matrix A (Datei `matrix2x2.mws`)

```
> restart;
with(linalg):
```

Definition des LGS mit Matrix A (float-Zahlen bzw. symbolisch)

```
> Digits:=10:
II:=evalm(array(identity,1..2,1..2)):
A:=matrix(2,2,[0.780,0.563,0.913,0.659]);
AA:=matrix(2,2,(i,j)->convert(A[i,j],rational));
rank(A);
det(A);
norm(A);
inverse(A);
inverse(AA);

b:=vector([0.217,0.254]);
bb:=vector(n,[217/1000,254/1000]);
xs:=vector([1,-1]);
‘Ax*-b’:=evalm(A&*xs-b);
```


$$A := \begin{bmatrix} 0.780 & 0.563 \\ 0.913 & 0.659 \end{bmatrix}$$

$$AA := \begin{bmatrix} \frac{39}{50} & \frac{563}{1000} \\ \frac{913}{1000} & \frac{659}{1000} \end{bmatrix}$$

$$0.1 \cdot 10^{-5}$$

$$1.572$$

$$\begin{bmatrix} 659000.0000 & -563000.0000 \\ -913000.0000 & 780000.0000 \end{bmatrix}$$

$$\begin{bmatrix} 659000 & -563000 \\ -913000 & 780000 \end{bmatrix}$$

$$b := [0.217, 0.254]$$

$$xs := [1, -1]$$

$$Ax^* - b = [0., 0.]$$

Rechnung bei schwacher GPA mit unbefriedigenden Ergebnissen

```
> Digits:=5:
evalm(A);
rank(A);
det(A);
norm(A);
inverse(A);
```

$$\begin{bmatrix} 0.780 & 0.563 \\ 0.913 & 0.659 \end{bmatrix}$$

$$1$$

$$0.$$

$$1.572$$

Error, (in inverse) singular matrix

```
> Digits:=10:
inverse(A);
evalm(II-A&*inverse(A));
```

$$\begin{bmatrix} 659000.0000 & -563000.0000 \\ -913000.0000 & 780000.0000 \end{bmatrix}$$

$$\begin{bmatrix} 0. & 0. \\ 0. & 0. \end{bmatrix}$$

```
> Digits:=16:
inverse(A);
evalm(II-A&*inverse(A));
```

$$\begin{bmatrix} 659000.0000000000 & -563000.0000000000 \\ -913000.0000000000 & 780000.0000000000 \end{bmatrix}$$

$$\begin{bmatrix} 0. & 0. \\ 0. & 0. \end{bmatrix}$$

Die inverse Matrix ist exakt in der geforderten Genauigkeit der Mantissenlänge.

Test von zwei Lösungskandidaten und Berechnung der Residuen dazu

```
> Digits:=16;
xq:=vector([0.341,-0.087]);
xd:=vector([0.999,-1.001]);
multiply(A,xq);
rq:=evalm(b-multiply(A,xq));
rd:=evalm(b-A&*xd);
```

```
      Digits := 16
      xq := [0.341, -0.087]
      xd := [0.999, -1.001]
           [0.216999, 0.254000]
      rq := [0.1 10-5, 0.]
      rd := [0.001343, 0.001572]
```

Lösung des LGS mit GPA bei unterschiedlicher Mantissenlänge

```
> Digits:=16:
erg_exakt:=linsolve(AA,bb);
erg:=linsolve(A,b);
erg[1]; erg[2];
```

```
> i:='i':
printf('Digits      x[1]                x[2]\n'):
for i from 5 to 25 do
  Digits:=i:
  erg:=linsolve(A,b):
  if rank(A)<2 then
    printf('%2d      Matrix A singulaer\n',i)
  else
    printf('%2d      %28.25f %28.25f\n',i,erg[1],erg[2])
  end if:
end do:
```

```
      erg_exakt := [1, -1]
      erg := [1.0000000000000000, -1.0000000000000000]
            1.0000000000000000
            -1.0000000000000000
```

Digits	x[1]	x[2]
5	Matrix A singulaer	
6	Matrix A singulaer	
7	Matrix A singulaer	
8	0.97422161000000000000000000	-0.964285710000000000000000
9	1.00065978000000000000000000	-1.000914080000000000000000
10	0.99993410670000000000000000	-0.999908709200000000000000
11	1.00001318010000000000000000	-1.000018260200000000000000
12	0.99999802300600000000000000	-0.999997261004000000000000
13	0.99999986820020000000000000	-0.999999817400000000000000
14	0.99999998023004000000000000	-0.999999972610000000000000
15	0.99999999934100200000000000	-0.999999990870000000000000

```

16      1.00000000000000000000000000000000 -1.00000000000000000000000000000000
17      1.0000000000131800000000000000 -1.00000000001826000000000000
18      1.0000000000065900000000000000 -1.00000000000913000000000000
19      0.9999999999999341001000000000 -0.99999999999908700000000000
20      0.9999999999999802300400000000 -0.99999999999972610000000000
21      1.0000000000000019770000000000 -1.00000000000000273900000000
22      1.0000000000000013180000000000 -1.00000000000000182600000000
23      1.0000000000000019770000000000 -1.00000000000000273900000000
24      0.9999999999999998682003000000 -0.99999999999999981740000000
25      1.0000000000000019770000000000 -1.00000000000000273900000000

```

Es ist bemerkenswert, wie sich die Genauigkeit `Digits=16` deutlich gegenüber den anderen hervorhebt. Es ist anzunehmen, dass in diesem Fall die Ausführung der arithmetischen Operationen im Prozessor besonders effizient und genau erfolgt. In der Nachbarschaft `Digits=15,17` sind nur 9–10 Nachkommastellen der Näherungslösung genau.

Wir führen nun analoge Anweisungen in MATLAB mit seiner GPA *double* aus. Die Ergebnisse sollen dann mit Maple-Rechnungen in der Genauigkeit `Digits=16`, gegebenenfalls auch `Digits=10`, verglichen werden.

```

% matrix2x2.m
% Test zu schlecht konditionierten Matrizen
diary matrix2x2.txt
diary off
echo off
clear
clc

format compact
format long
n=2;          % n=input('n=')
II=eye(n);   % eye(n,n)

% Matrix 1
disp('Matrix 1')
A = [0.780 0.563; 0.913 0.659]
AA=[39/50 563/1000; 913/1000 659/1000] % wie A
b = [0.217 0.254]'
xs=[1,-1]' % exakte Loesung
A*xs-b     % Kontrolle
det(A)                % =det(AA)
detA=A(1,1)*A(2,2)-A(2,1)*A(1,2) % genauer bzw. =det(A)

invA=inv(A)
A*invA
II-A*invA
% Inverse per Hand
invAs=[A(2,2) -A(1,2); -A(2,1) A(1,1)]/det(A)
A*invAs
II-A*invAs
% etwas besser wegen genaueren detA

```

```

invAs_=[A(2,2) -A(1,2); -A(2,1) A(1,1)]/detA
A*invAs_
II-A*invAs_

% Norm, Kondition
norm2_A=norm(A)           % Spektralnorm, norm(A,2)
cond2_A=cond(A)
% Test von zwei Loesungskandidaten und Berechnung der Residuen dazu:
% schlechter Kandidat hat kleineres Residuum
xq=[0.341 -0.087]'        % schlechter Kandidat
xd=[0.999 -1.001]'
rq=A*xq-b
rd=A*xd-b
% LGS
lgs_erg1=A\b
lgs_erg2=linsolve(A,b)    % ungenauer als A\b
lgs_erg3=maple('linsolve',A,b) % exakt
pause

```

Zunächst die Ergebnisse.

```

Matrix 1
A =
    0.780000000000000    0.563000000000000
    0.913000000000000    0.659000000000000
AA =
    0.780000000000000    0.563000000000000
    0.913000000000000    0.659000000000000
b =
    0.217000000000000
    0.254000000000000
xs =
     1
    -1
ans =
    1.0e-016 *
    0.83266726846887
     0
ans =
    1.000000000122681e-006
detA =
    1.000000000028756e-006
invA =
    1.0e+005 *
    6.58999999919154   -5.62999999930931
   -9.12999999887993    7.79999999904309
ans =
    0.9999999994179     0
     0    0.9999999988358
ans =
    1.0e-009 *
    0.05820766091347     0
     0    0.11641532182693
invAs =
    1.0e+005 *
    6.58999999919154   -5.62999999930931
   -9.12999999887993    7.79999999904309
ans =
    0.9999999994179     0
     0    0.9999999988358
ans =

```

```

1.0e-009 *
  0.05820766091347      0
                0      0.11641532182693
invAs_ =
  1.0e+005 *
  6.58999999981050  -5.62999999983810
 -9.12999999973746  7.79999999977571
ans =
  1.000000000000000      0
                0      1.000000000005821
ans =
  1.0e-010 *
                0      0
                0     -0.58207660913467
norm2_A =
  1.48095205864320
cond2_A =
  2.193218999650770e+006
xq =
  0.341000000000000
 -0.087000000000000
xd =
  0.999000000000000
 -1.001000000000000
rq =
  1.0e-006 *
 -0.9999999994549
                0
rd =
 -0.001343000000000
 -0.001572000000000

lgs_erg1 =
  0.9999999998171
 -0.9999999997466
lgs_erg2 =
  0.99999999989025
 -0.99999999984795
lgs_erg3 =
matrix([[1], [-1]])

```

Einige Bemerkungen

- Bei numerischen Rechnungen in MATLAB werden von den 16 angezeigten Mantissenstellen wegen der schlechten Matrixkondition die letzten 4–5 Stellen im Allgemeinen falsch.
- Der Wert der Spektralkondition der Matrix `cond2_A=2.193218999650770e+006` hat nur 10 genaue Mantissenstellen.
- Die Handrechnung der Determinante für diese kleine Matrix ist eine Dezimalstelle genauer als der Befehl `det(A)`. Damit kann dann auch die Inverse etwas genauer werden und die Fehlermatrix `II-A*invAs_` ist “kleiner“.
- Beim Test der beiden Lösungskandidaten für das LGS ist der Genauigkeitsverlust zumindest bei der ersten Komponente von `rq` sichtbar.
- Die Lösung des LGS in den 3 Varianten zeigt den Vorteil des Kommandos `A\b`. Dass der in MATLAB aufgerufene Maple-Befehl `linsolve` die exakte Lösung ausgibt, mag damit zusammenhängen, dass die Maple-Rechnung bei `Digits=16` so genau ist.

3.2 Matrix 2

Gegeben sei die Matrix

$$A = \begin{pmatrix} -29\,998 & -39\,996 \\ 29\,997/2 & 19\,997 \end{pmatrix}.$$

Sie ist die Matrix eines steifen linearen Systems gewöhnlicher Differentialgleichungen. Das Anfangswertproblem dazu für $\mathbf{x} = (x, y)^T$ ist

$$\mathbf{x}'(t) = A \mathbf{x}(t), \quad \mathbf{x}(0) = (1, 1)^T, \quad t \geq 0.$$

Die allgemeine Lösung ist

$$x(t) = C_1 e^{-t} + C_2 e^{-10000t}, \quad y(t) = -\frac{3}{4}C_1 e^{-t} - \frac{1}{2}C_2 e^{-10000t},$$

die des Anfangswertproblems mit den gegebenen Anfangsbedingungen

$$x(t) = -6e^{-t} + 7e^{-10000t}, \quad y(t) = \frac{9}{2}e^{-t} - \frac{7}{2}e^{-10000t}.$$

Ihre EW sind also

$$\lambda_1 = -1, \quad \lambda_2 = -10\,000,$$

die zugehörigen linear unabhängigen skalierten bzw. normierten EV können sein

$$\begin{aligned} v_1 &= (-4/3, 1)^T, \quad (1, -3/4)^T, \quad (4/5, -3/5)^T, \\ v_2 &= (-2, 1)^T, \quad (1, -1/2)^T, \quad (2/\sqrt{5}, -1/\sqrt{5})^T. \end{aligned}$$

Die Determinante von A ist $\det(A) = \prod_{i=1}^2 \lambda_i = 10^4$.

Da die Matrix A Elemente der Größenordnung $\mathcal{O}(10^4)$ besitzt, dann hat die inverse Matrix A^{-1} betragsmäßig moderate Elemente, hier

$$A^{-1} = \begin{pmatrix} 1.9997 & 3.9996 \\ -1.49985 & -2.9998 \end{pmatrix}, \quad \det(A^{-1}) = 10^{-4}.$$

Mit der Zeilensummennorm $\|A\|_\infty$ beträgt die Kondition

$$\text{cond}_\infty(A) = \|A\|_\infty \|A^{-1}\|_\infty = 69994 \cdot 5.9993 \approx 4.199 \cdot 10^5,$$

mit der Spektralnorm $\|A\|_2$ beträgt die Kondition

$$\text{cond}_2(A) = \|A\|_2 \|A^{-1}\|_2 = 55896.28817 \cdot 5.589628817 \approx 3.124 \cdot 10^5$$

Zahlreiche Eigenschaften der Matrix, wie sie in Abschnitt 3.1 genannt wurden, sind auch hier feststellbar.

Einige Rechnungen in Maple mit der Matrix A (Datei `matrix2x2.mws`)

```
> restart;
with(linalg):
```

Definition des LGS mit Matrix A (float-Zahlen bzw. symbolisch)

```
> Digits:=10;
A:=matrix(2,2,[-29998.0, -39996.0, 14998.5, 19997.0]);
AA:=matrix(2,2,[-29998, -39996, 29997/2, 19997]);
```

```
rank(A);
det(A);
norm(A);
inverse(A);
inverse(AA);
```

```
b:=vector([9998,-4998.5]);
bb:=vector([9998,-9997/2]);
xs:=vector([1,-1]);
‘Ax*-b’=evalm(A&*xs-b);
```

$$A := \begin{bmatrix} -29998.0 & -39996.0 \\ 14998.50000 & 19997.0 \end{bmatrix}$$

$$AA := \begin{bmatrix} -29998 & -39996 \\ \frac{29997}{2} & 19997 \end{bmatrix}$$

10000.0

69994.0

$$\begin{bmatrix} 1.999700000 & 3.999600000 \\ -1.499850000 & -2.999800000 \end{bmatrix}$$

$$\begin{bmatrix} \frac{19997}{10000} & \frac{9999}{2500} \\ \frac{-29997}{20000} & \frac{-14999}{5000} \end{bmatrix}$$

$$b := [9998, -4998.5]$$

$$bb := \left[9998, \frac{-9997}{2} \right]$$

$$xs := [1, -1]$$

$$Ax^* - b = [0., 0.]$$

Rechnung bei schwacher GPA mit unbefriedigenden Ergebnissen

```
> Digits:=5;
evalm(A);
rank(A);
det(A);
```

```
norm(A);
inverse(A);
det(inverse(A));
```

$$\begin{bmatrix} -29998. & -39996. \\ 14998. & 19997. \end{bmatrix}$$

1
-10000.
69994.

$$\begin{bmatrix} -1.9997 & -3.9996 \\ 1.4998 & 2.9998 \end{bmatrix}$$

-0.0001

```
> Digits:=10:
inverse(A);
evalm(II-A&*inverse(A));
```

$$\begin{bmatrix} 1.999700000 & 3.999600000 \\ -1.499850000 & -2.999800000 \end{bmatrix}$$

$$\begin{bmatrix} 0. & 0. \\ 0. & 0. \end{bmatrix}$$

```
> Digits:=16:
inverse(A);
evalm(II-A&*inverse(A));
```

$$\begin{bmatrix} 1.9997000000000000 & 3.9996000000000000 \\ -1.4998500000000000 & -2.9998000000000000 \end{bmatrix}$$

$$\begin{bmatrix} 0. & 0. \\ 0. & 0. \end{bmatrix}$$

Die inverse Matrix ist exakt in der geforderten Genauigkeit der Mantissenlänge.

Test von zwei Lösungskandidaten und Berechnung der Residuen dazu

```
> Digits:=16;
xq:=vector([0,-0.249975]);
xd:=vector([0.999,-1.001]);
multiply(A,xq);
rq:=evalm(b-multiply(A,xq));
rd:=evalm(b-A&*xd);
```

Digits := 16

$xq := [0, -0.249975]$
 $xd := [0.999, -1.001]$
 $[9998.0001000, -4998.7500750]$
 $rq := [0.0001000, -0.2500750]$
 $rd := [69.9940, -34.99550000]$

Lösung des LGS mit GPA bei unterschiedlicher Mantissenlänge

```
> Digits:=16:
  erg_exakt:=linsolve(AA,bb);
  erg:=linsolve(A,b);
  erg[1]; erg[2];

> i:='i':
  printf('Digits          x[1]                x[2]\\n'):
  for i from 5 to 25 do
    Digits:=i:
    erg:=linsolve(A,b):
    if rank(A)<2 then
      printf('%2d          Matrix A singulaer\\n',i)
    else
      printf('%2d          %28.25f %28.25f\\n',i,erg[1],erg[2])
    end if:
  end do:
```

```
          erg_exakt := [1, -1]
  erg := [1.000000000004000, -1.000000000003000]
          1.000000000004000
          -1.000000000003000
```

Digits	x[1]	x[2]
5	Matrix A singulaer	
6	Matrix A singulaer	
7	1.00000000000000000000000000000000	-1.00000000000000000000000000000000
8	1.00040000000000000000000000000000	-1.00030000000000000000000000000000
9	0.99968012800000000000000000000000	-0.99976008600000000000000000000000
10	0.99998000250000000000000000000000	-0.99998500140000000000000000000000
11	1.00000000000000000000000000000000	-1.00000000000000000000000000000000
12	1.00000004000000000000000000000000	-1.00000003000000000000000000000000
13	0.99999996800320000000000000000000	-0.99999997600140000000000000000000
14	0.99999998000200000000000000000000	-0.99999998500100000000000000000000
15	1.00000000000000000000000000000000	-1.00000000000000000000000000000000
16	1.00000000004000000000000000000000	-1.00000000003000000000000000000000
17	0.99999999996800320000000000000000	-0.99999999997600140000000000000000
18	0.99999999998000200000000000000000	-0.99999999998500100000000000000000
19	1.00000000000000000000000000000000	-1.00000000000000000000000000000000
20	1.00000000000000040000000000000000	-1.00000000000000030000000000000000
21	0.99999999999999968003200000000000	-0.99999999999999976001400000000000
22	0.99999999999999980002000000000000	-0.99999999999999985001000000000000
23	1.00000000000000000000000000000000	-1.00000000000000000000000000000000
24	1.00000000000000000040000000000000	-1.00000000000000000000000003000000
25	0.99999999999999996800320000000000	-0.99999999999999997600140000000000
26	0.99999999999999998000200000000000	-0.99999999999999998500100000000000
27	1.00000000000000000000000000000000	-1.00000000000000000000000000000000
28	1.00000000000000000000000000004000	-1.00000000000000000000000000003000
29	0.99999999999999996800000000000000	-0.99999999999999997600000000000000
30	0.99999999999999998000000000000000	-0.99999999999999998500000000000000

Es ist schon bemerkenswert, wie sich die Genauigkeiten `Digits=7,11,15,19,23,27` deutlich gegenüber den anderen hervorhebt. Dabei ist sogar ein fester Abstand zwischen den Formaten sichtbar.

Es ist anzunehmen, dass in diesem Fall die Ausführung der arithmetischen Operationen im Prozessor besonders effizient und genau erfolgt.

In der Nachbarschaft (davor und dahinter) von `Digits=i`, $i = 11, 15, 19, 23, 27$ sind nur ca. $i - 7$ bzw. $i - 3$ Nachkommastellen der Näherungslösung genau.

Wir führen nun analoge Anweisungen in MATLAB mit seiner GPA `double` aus und vergleichen dann mit Maple-Rechnungen in der Genauigkeit `Digits=16`.

```
% matrix2x2.m

% Matrix 2
disp('Matrix 2')
% Test zur Systemmatrix fuer steifes System gDGL
A = [-29998 -39996; 14998.5 19997]
AA = [-29998 -39996; 29997/2 19997];
b = [9998 -4998.5]'
xs = [1, -1]' % exakte Loesung
A*xs-b % Kontrolle
...
```

Zunächst die Ergebnisse.

```
Matrix 2
A =
  1.0e+004 *
 -2.9998000000000000 -3.9996000000000000
  1.4998500000000000  1.9997000000000000
b =
  1.0e+003 *
  9.9980000000000000
 -4.9985000000000000
xs =
  1
 -1
ans =
  0
  0
ans =
  9.999999999943349e+003
detA =
  10000

invA =
  1.99970000001133  3.99960000002266
 -1.49985000000850 -2.99980000001699
ans =
  0.9999999999272  0
  0.00000000000728  1.00000000000728
ans =
  1.0e-011 *
  0.72759576141834  0
 -0.72759576141834 -0.72759576141834

invAs =
  1.99970000001133  3.99960000002266
 -1.49985000000850 -2.99980000001699
ans =
  1.000000000000000  0
  0.00000000000364  1.00000000000728
```

```

ans =
    1.0e-011 *
         0           0
    -0.36379788070917  -0.72759576141834

invAs_ =
    1.999700000000000    3.999600000000000
   -1.499850000000000   -2.999800000000000
ans =
     1     0
     0     1
ans =
     0     0
     0     0

normA =
    5.589628817030694e+004
condA =
    3.124395031180386e+005

xq =
         0
    -0.249975000000000
xd =
    0.999000000000000
   -1.001000000000000
rq =
    0.000099999999929
   -0.25007499999992
rd =
    69.99399999999878
   -34.99549999999908

lgs_erg1 =
    1.000000000000728
   -1.000000000000546
lgs_erg2 =
    1.000000000000728
   -1.000000000000546
lgs_erg3 =
matrix([[1], [-1]])

```

Einige Bemerkungen

- Bei numerischen Rechnungen in MATLAB werden von den 16 angezeigten Mantissenstellen wegen der Matrixkondition die letzten 3–5 Stellen i. Allg. falsch.
- Der Wert der Spektralkondition der Matrix $\text{cond}_2(A)=3.124395031180386e+005$ hat nur 11 genaue Mantissenstellen.
- Die Handrechnung der Determinante für diese kleine Matrix ist exakt und damit 5 Dezimalstellen genauer als der Befehl $\text{det}(A)$. Damit wird auch die Inverse genau und die Fehlermatrix $II-A*\text{invAs}_=0$.
- Beim Test der beiden Lösungskandidaten für das LGS ist der Genauigkeitsverlust nicht ganz so drastisch (Abweichungen in den letzten 1–3 Stellen).
- Die Lösung des LGS in den 3 Varianten zeigt $A\backslash b=\text{linsolve}(A,b)$. Dass der in MATLAB aufgerufene Maple-Befehl linsolve die exakte Lösung ausgibt, mag damit zusammenhängen, dass die Maple-Rechnung bei $\text{Digits}=15$ genau ist, obwohl in der Nachbarschaft $\text{Digits}=14,16$ Abweichungen auftreten.

3.3 Matrix 3

Gegeben sei die Matrix

$$A = \begin{pmatrix} 2 & 6 \\ 2 & 6.00001 \end{pmatrix}.$$

Ihre EW sind

$$\lambda_1 = \frac{800001}{200000} + \frac{640000800001}{200000} = 8.000007500002343748535,$$

$$\lambda_2 = \frac{800001}{200000} - \frac{640000800001}{200000} = 0.000002499997656251465.$$

Die zugehörigen linear unabhängigen skalierten EV sind

$$v_1 = \left(1, \frac{400001 + \sqrt{640000800001}}{1200000} \right)^T = (1, 1.000001250000390624756)^T,$$

$$v_2 = \left(1, \frac{400001 - \sqrt{640000800001}}{1200000} \right)^T = (1, -0.333332916667057291423)^T.$$

Die Determinante von A ist $\det(A) = \prod_{i=1}^2 \lambda_i = 0.00002$.

Da die Matrix A Elemente der Größenordnung $\mathcal{O}(1)$ besitzt, dann hat die inverse Matrix A^{-1} betragsmäßig große Elemente, hier

$$A^{-1} = \begin{pmatrix} 300000.5 & -300000 \\ -100000 & 100000 \end{pmatrix}, \quad \det(A^{-1}) = 50000.$$

Mit der Zeilensummennorm $\|A\|_\infty$ beträgt die Kondition

$$\text{cond}_\infty(A) = \|A\|_\infty \|A^{-1}\|_\infty = 8.00001 \cdot 600000.5 \approx 4.80001 \cdot 10^6,$$

mit der Spektralnrm $\|A\|_2$ beträgt die Kondition

$$\text{cond}_2(A) = \|A\|_2 \|A^{-1}\|_2 = 8.94428 \cdot 447213.9309 \approx 4.000006001 \cdot 10^6$$

Für die Matrix

$$C = AA^T = \begin{pmatrix} 40 & \frac{2000003}{50000} \\ \frac{2000003}{50000} & \frac{400001200001}{10000000000} \end{pmatrix} = \begin{pmatrix} 40 & 40.000006 \\ 40.000006 & 40.0001200001 \end{pmatrix}$$

liefert Maple mit der Genauigkeit `Digits=10` das Spektrum $\sigma(C) = \{0., 80.00012001\}$. D. h. jedoch, dass das Format nicht ausreicht, denn der EW Null ist natürlich eine numerische Näherung. Mit `Digits=20` erhält man das Spektrum

$$\sigma(C) = \{0.4999993 \cdot 10^{-11}, 80.000120000095000009\}.$$

Wir haben also die Situation einer fast singulären Matrix A mit einem EW fast Null. Durch das Matrixprodukt $C = (c_{ij}) = AA^T$ wird die Kondition eher schlechter. Der EW nahe Null wird noch kleiner. Ein weiterer EW liegt aber in der Größenordnung von $\sum_j |c_{ij}|$.

Bei ausgewogenen Matrixelementen von A ist ihre schlechte Kondition daran zu erkennen, dass die Elemente der dazu inversen Matrix betragsmäßig groß werden. Die äquilibrierte Form von A muss man schon voraussetzen, denn für die mit einem großen Faktor durchmultiplizierte Matrix

$$\tilde{A} = \begin{pmatrix} 2 \cdot 10^5 & 6 \cdot 10^5 \\ 2 \cdot 10^5 & 6.00001 \cdot 10^5 \end{pmatrix}$$

würde man

$$\tilde{A}^{-1} = (a'_{ij}) = \begin{pmatrix} 3.000005 & -3 \\ -3 & 1 \end{pmatrix}$$

mit $a'_{ij} = \mathcal{O}(1)$ erhalten.

Zahlreiche Eigenschaften der Matrix, wie sie in Abschnitt 3.1 genannt wurden, sind auch hier feststellbar.

Einige Rechnungen in Maple mit der Matrix A (Datei `matrix2x2.mws`)

```
> restart;
with(linalg):
```

Definition des LGS mit Matrix A (float-Zahlen bzw. symbolisch)

```
> Digits:=10:
A:=matrix(2,2,[2.0, 6.0, 2.0, 6.00001]);
AA:=matrix(2,2,[2, 6, 2, 600001/100000]);

rank(A);
det(A);
norm(A);
inverse(A);
inverse(AA);

b:=vector([8, 8.00001]);
bb:=vector([8, 800001/100000]);
xs:=vector([1,1]);
'Ax*-b'=evalm(A&*xs-b);
```

$$\begin{aligned}
 A &:= \begin{bmatrix} 2.0 & 6.0 \\ 2.0 & 6.00001 \end{bmatrix} \\
 AA &:= \begin{bmatrix} 2 & 6 \\ 2 & \frac{600001}{100000} \end{bmatrix} \\
 & 2 \\
 & 0.000020 \\
 & 8.00001 \\
 & \begin{bmatrix} 300000.5000 & -300000.0000 \\ -100000.0000 & 100000.0000 \end{bmatrix} \\
 & \begin{bmatrix} \frac{600000}{2} & -300000 \\ -100000 & 100000 \end{bmatrix} \\
 b &:= [8, 8.00001] \\
 bb &:= \left[8, \frac{800001}{100000} \right] \\
 xs &:= [1, 1] \\
 Ax^* - b &= [0., 0.]
 \end{aligned}$$

Rechnung bei schwacher GPA mit unbefriedigenden Ergebnissen

```

> Digits:=5;
  evalm(A);
  rank(A);
  det(A);
  norm(A);
  inverse(A);

```

$$\begin{aligned}
 & \text{Digits} := 5 \\
 & \begin{bmatrix} 2.0 & 6.0 \\ 2.0 & 6.0000 \end{bmatrix} \\
 & 1 \\
 & 0. \\
 & 8.
 \end{aligned}$$

Error, (in inverse) singular matrix

```

> Digits:=10;
  inverse(A);
  evalm(II-A&*inverse(A));

```

$$\begin{aligned}
 & \begin{bmatrix} 300000.5000 & -300000.0000 \\ -100000.0000 & 100000.0000 \end{bmatrix} \\
 & \begin{bmatrix} 0. & 0. \\ 0. & 0. \end{bmatrix}
 \end{aligned}$$

```

> Digits:=16;
  inverse(A);
  evalm(II-A&*inverse(A));

```

$$\begin{bmatrix} 300000.5000000000 & -300000.0000000000 \\ -100000.0000000000 & 100000.0000000000 \end{bmatrix} \begin{bmatrix} 0. & 0. \\ 0. & 0. \end{bmatrix}$$

Die inverse Matrix ist exakt in der geforderten Genauigkeit der Mantissenlänge.

Test von zwei Lösungskandidaten und Berechnung der Residuen dazu

```
> Digits:=16;
xq:=vector([0,1.333333]);
xd:=vector([0.999,1.001]);
multiply(A,xq);
rq:=evalm(b-multiply(A,xq));
rd:=evalm(b-A&*xd);
```

```
      Digits := 16
      xq := [0, 1.333333]
      xd := [0.999, 1.001]
      [7.9999980, 8.00001133333]
      rq := [-0.20 10-5, 0.133333 10-5]
      rd := [0.0040, 0.00400001]
```

Lösung des LGS mit GPA bei unterschiedlicher Mantissenlänge

```
> Digits:=16:
erg_exakt:=linsolve(AA,bb);
erg:=linsolve(A,b);
erg[1]; erg[2];

> i:='i':
printf('Digits      x[1]                x[2]\n'):
for i from 5 to 25 do
  Digits:=i:
  erg:=linsolve(A,b):
  if rank(A)<2 then
    printf('%2d      Matrix A singulaer\n',i)
  else
    printf('%2d      %28.25f %28.25f\n',i,erg[1],erg[2])
  end if:
end do:
```

```
      erg_exakt := [1, 1]
      erg := [0.9999999996999996, 1.000000000100000]
             0.9999999996999996
             1.000000000100000
```

Digits	x[1]	x[2]
5	Matrix A singulaer	
6	Matrix A singulaer	
7	Matrix A singulaer	
8	0.96969696000000000000000000	1.01010100000000000000000000
9	0.99699699600000000000000000	1.00100100000000000000000000
10	0.99969997000000000000000000	1.00010001000000000000000000
11	0.99996999970000000000000000	1.00001000010000000000000000
12	0.99999699999600000000000000	1.00000100000000000000000000
13	0.99999969999950000000000000	1.00000010000000000000000000
14	1.00000000000000000000000000	1.00000000000000000000000000
15	1.00000000600001000000000000	0.99999999799999600000000000
16	0.99999999969999960000000000	1.00000000010000000000000000
17	1.00000000000000000000000000	1.00000000000000000000000000
18	1.00000000000300000000000000	0.99999999999000000000000000
19	1.00000000000030000100000000	0.99999999999899999600000000
20	0.9999999999999399999100000	1.00000000000002000000000000
21	1.00000000000000000000000000	1.00000000000000000000000000
22	1.0000000000000006000010000	0.999999999999997999996000
23	0.9999999999999999999999900	1.00000000000000000000000000
24	1.0000000000000000120000200	0.999999999999999959999940
25	1.000000000000000006000010	0.99999999999999997999996
26	1.00000000000000000000000000	1.00000000000000000000000000
27	1.00000000000000000000000000	1.00000000000000000000000000
28	1.000000000000000000000003000	0.999999999999999999999000
29	0.9999999999999999999999700	1.00000000000000000000000100
30	1.00000000000000000000000030	0.99999999999999999999990
31	1.00000000000000000000000012	0.99999999999999999999996
32	1.00000000000000000000000001	1.00000000000000000000000000
33	1.00000000000000000000000000	1.00000000000000000000000000
34	1.00000000000000000000000000	1.00000000000000000000000000

Es ist zu bemerken, wie sich die Genauigkeiten $\text{Digits}=14, 17, 21, 26, 27, 33, 34, \dots$ deutlich gegenüber den anderen hervorhebt. Eine Systematik bei diesen Formaten ist nicht erkennbar. Es ist anzunehmen, dass in diesem Fall die Ausführung der arithmetischen Operationen im Prozessor genauer erfolgt.

Wir führen nun analoge Anweisungen in MATLAB mit seiner GPA *double* aus und vergleichen dann mit Maple-Rechnungen in der Genauigkeit $\text{Digits}=16$.

```
% matrix2x2.m

% Matrix 3
disp('Matrix 3')
% Test fuer sehr schlecht konditionierte Matrix
A =[2 6; 2 6.00001]
AA=[2 6; 2 600001/100000];
b =[8 8.00001]'
xs=[1,1]'           % exakte Loesung
A*xs-b              % Kontrolle
...
```


Zunächst die Ergebnisse.

```
Matrix 3
A =
  2.000000000000000    6.000000000000000
  2.000000000000000    6.000010000000000
b =
  8.000000000000000
  8.000010000000000
xs =
  1
  1
ans =
  0
  0

ans =
  1.999999999924285e-005
detA =
  1.999999999924285e-005

invA =
  1.0e+005 *
  3.00000500011357   -3.00000000011357
 -1.00000000003786    1.00000000003786
ans =
  1     0
  0     1
ans =
  0     0
  0     0

% invA und invAs_ analog

normA =
  8.94427861820589
condA =
  4.00006000334953e+006

xq =
           0
  1.333333000000000
xd =
  0.999000000000000
  1.001000000000000
rq =
  1.0e-005 *
 -0.19999999993914
  0.13333300010743
rd =
  0.004000000000000
  0.004000010000000

lgs_erg1 =
  1
  1
lgs_erg2 =
  1
  1
lgs_erg3 =
matrix([[1], [1]])
```

Einige Bemerkungen

- Bei numerischen Rechnungen in MATLAB werden von den 16 angezeigten Mantissenstellen wegen der Matrixkondition die letzten 4–5 Stellen i. Allg. falsch.
- Der Wert der Spektralkondition der Matrix `cond2_A=4.000006000334953e+006` hat nur 10 genaue Mantissenstellen.
- Die Handrechnung der Determinante für die Matrix ist wie `det(A)` und beide haben die letzten 5 Dezimalstellen falsch. Das trifft auch auf die Inverse zu. Trotzdem ist die Fehlermatrix `II-A*invAs_=0`.
- Beim Test der beiden Lösungskandidaten für das LGS ist der Genauigkeitsverlust zumindest bei den Komponenten von `rq` sichtbar .
- Die Lösung des LGS ist in allen 3 Varianten exakt. Dass der in MATLAB aufgerufene Maple-Befehl `linsolve` die exakte Lösung ausgibt, mag damit zusammenhängen, dass die Maple-Rechnung bei `Digits=14,17` genau ist, obwohl in der Nachbarschaft Abweichungen auftreten.

3.4 Matrix 4

Die Matrix [17]

$$A = A(n, n) = \begin{pmatrix} 2 & -1 & 0 & \cdots & 0 & 0 \\ -1 & 2 & -1 & \cdots & 0 & 0 \\ 0 & -1 & 2 & \cdots & 0 & 0 \\ \dots & \dots & \dots & \dots & \dots & \dots \\ 0 & 0 & 0 & \cdots & 2 & -1 \\ 0 & 0 & 0 & \cdots & -1 & 2 \end{pmatrix} = \text{tridiag}(-1, 2, -1)$$

ist eine Matrix mit zahlreichen typischen Merkmalen wie

- schwach besetzt,
- tridiagonal und damit Bandstruktur,
- schwach diagonaldominant,
- irreduzibel diagonaldominant,
- symmetrisch und positiv definit, positive reelle EW,
- diagonalisierbar,
- Eigenschaft A,
- konsistent geordnet (Eigenschaft wird später erläutert),
- L-Matrix, Stieltjes-Matrix,
- M-Matrix, monoton.

Dazu notieren wir die symmetrische inverse Matrix (nur oberes Dreieck)

$$A^{-1} = (a'_{ij}) = \begin{pmatrix} n \frac{1}{n+1} & (n-1) \frac{1}{n+1} & (n-2) \frac{1}{n+1} & \cdots & 2 \frac{1}{n+1} & \frac{1}{n+1} \\ & (n-1) \frac{2}{n+1} & (n-2) \frac{2}{n+1} & \cdots & 2 \frac{2}{n+1} & \frac{2}{n+1} \\ & & (n-2) \frac{3}{n+1} & \cdots & 2 \frac{3}{n+1} & \frac{3}{n+1} \\ & & & \ddots & \vdots & \vdots \\ & & & & 2 \frac{n-1}{n+1} & \frac{n-1}{n+1} \\ & & & & & \frac{n}{n+1} \end{pmatrix}$$

mit ihren nicht negativen Elementen

$$a'_{ij} = \frac{i(n+1-j)}{(n+1)}, \quad 1 \leq i \leq j \leq n, \quad \text{und} \quad a'_{ii} > 0.$$

Hier sind sogar alle Einträge positiv.

Wegen $A = A^T$ sind Zeilen- und Spaltensummennorm gleich und betragen

$$\|A\|_\infty = \|A\|_1 = 4$$

sowie mit der Gaußschen Klammer []

$$\|A^{-1}\|_\infty = \|A^{-1}\|_1 = \frac{1}{2} \left[\frac{n+1}{2} \right] \left[\frac{n+2}{2} \right] = \begin{cases} \frac{(n+1)^2}{8}, & \text{falls } n \text{ ungerade,} \\ \frac{n(n+2)}{8}, & \text{falls } n \text{ gerade.} \end{cases}$$

Somit gilt

$$\text{cond}_\infty(A) = \text{cond}_1(A) = 2 \left[\frac{n+1}{2} \right] \left[\frac{n+2}{2} \right] = \frac{n^2}{2} + \mathcal{O}(n).$$

Für $n = 99$ erhält man $\text{cond}_\infty(A) = 5000$, für $n = 999$ den Wert $\text{cond}_\infty(A) = 500000$.

Es ist typisch, dass bei schlecht konditionierten Matrizen mit moderaten Elementen die Inverse dazu betragsgroße Einträge besitzt. Der bzw. die beiden größten Koeffizienten von A^{-1} stehen in der "Mitte" auf der Diagonalen und haben den Wert

$$a'_{\frac{n+1}{2}, \frac{n+1}{2}} = \frac{(n+1)^2}{4(n+1)} = \frac{n+1}{4}, \quad n \text{ ungerade,}$$

$$a'_{\frac{n}{2}, \frac{n}{2}} = a'_{\frac{n}{2}+1, \frac{n}{2}+1} = \frac{n(n+2)}{4(n+1)}, \quad n \text{ gerade.}$$

Mit der regulären Zerlegung $A = D - C$, $D = \text{diag}(A) = 2I$, erhält man die Matrix

$$J = D^{-1}C = \frac{1}{2} \begin{pmatrix} 0 & 1 & 0 & \cdots & 0 & 0 \\ 1 & 0 & 1 & \cdots & 0 & 0 \\ 0 & 1 & 0 & \cdots & 0 & 0 \\ \dots & \dots & \dots & \dots & \dots & \dots \\ 0 & 0 & 0 & \cdots & 0 & 1 \\ 0 & 0 & 0 & \cdots & 1 & 0 \end{pmatrix} = \text{tridiag}(d, 0, d), \quad d = \frac{1}{2}.$$

Ihr Spektralradius ist $\rho(J) < 1$.

Wir notieren auch die EW $\tilde{\lambda}_i$ und EV $\tilde{v}^{(i)}$ von J .

$$\tilde{\lambda}_i = \cos(i\pi/(n+1)), \quad i = 1, 2, \dots, n,$$

$$-1 < \tilde{\lambda}_n < \tilde{\lambda}_{n-1} < \dots < \tilde{\lambda}_2 < \tilde{\lambda}_1 = \cos(\pi/(n+1)) < 1,$$

$$\tilde{\lambda}_{n+1-i} = -\tilde{\lambda}_i, \quad i = 1, 2, \dots, \lfloor \frac{n}{2} \rfloor, \quad \text{falls } n \text{ ungerade, dann } \tilde{\lambda}_{\frac{n+1}{2}} = 0,$$

$$\tilde{v}^{(i)} = (\tilde{v}_1^{(i)}, \tilde{v}_2^{(i)}, \dots, \tilde{v}_n^{(i)})^T \text{ mit } \tilde{v}_j^{(i)} = \sin(ij\pi/(n+1)).$$

Die reellen positiven EW der spd und irreduzibel diagonaldominanten Matrix A sind

$$\lambda_i = 2[1 - \cos(i\pi/(n+1))] = 4\sin^2(i\pi/(2(n+1))), \quad i = 1, 2, \dots, n,$$

die EV

$$v^{(i)} = (v_1^{(i)}, v_2^{(i)}, \dots, v_n^{(i)})^T \quad \text{mit } v_j^{(i)} = \sin(ij\pi/(n+1)).$$

Wegen $A = 2(I - J)$ gilt $\lambda_i = 2(1 - \tilde{\lambda}_i)$ und $v^{(i)} = \tilde{v}^{(i)}$.

Mit $h = 1/(n+1)$, $\cos(x) = 1 - 2\sin^2(x/2)$, gelten die Beziehungen

$$\lambda_i = 4\sin^2(i\pi h/2),$$

$$v^{(i)}, \quad v_j^{(i)} = \sin(ij\pi h),$$

$$\begin{aligned} 0 < 2(1 - \cos(\pi h)) &= 4\sin^2(\pi h/2) = \lambda_{\min} = \lambda_1 < \lambda_2 < \dots < \lambda_n = \lambda_{\max} = \\ &= 4\sin^2(n\pi h/2) = 4[1 - \sin^2(\pi h/2)] = 4\cos^2(\pi h/2) = 4 - \lambda_{\min} < 4, \end{aligned}$$

und die Abschätzungen

$$\lambda_1 \approx \pi^2 h^2, \quad \lim_{h \rightarrow 0} \lambda_1 = 0,$$

$$\lambda_n \approx 4 - \pi^2 h^2, \quad \lim_{h \rightarrow 0} \lambda_n = 4,$$

$$\lambda_{\frac{n+1}{2}} = 2, \quad \text{falls } n \text{ ungerade,}$$

$$\sigma(A) \in (0, 4).$$

Leider ist die Kondition der Matrix A sehr schlecht, was bei der Berechnung von $\text{cond}_1(A)$ schon bemerkt wurde. Mit der Spektralnorm haben wir

$$\begin{aligned} \|A\|_2 &= \sqrt{\max_{i=1(1)n} \mu_i}, \quad 0 \leq \mu_i \in \sigma(A^T A), \\ &= \sqrt{\rho(A^T A)}, \\ &\quad \sigma(A^T A) = \sigma(AA^T) = \{\mu_i(A^T A), \quad i = 1, 2, \dots, n\} \text{ Spektrum,} \end{aligned}$$

wegen $A = A^T > 0$ die spektrale Kondition

$$\begin{aligned} \kappa(A) &= \text{cond}_2(A) = \|A\|_2 \|A^{-1}\|_2 \\ &= \frac{\lambda_{\max}}{\lambda_{\min}} = \frac{4 - \lambda_{\min}}{\lambda_{\min}} = \frac{4}{\lambda_{\min}} - 1 \\ &\approx \frac{4}{4\sin^2(\pi h/2)} \approx \frac{1}{(\pi h/2)^2} \\ &\approx \frac{4(n+1)^2}{\pi^2} \gg 1 \quad \text{für } n \gg 1. \end{aligned}$$

Die Matrix A hat eine einfache LU -Faktorisierung, wobei die Bandstruktur sich auf die beiden Dreiecksmatrizen überträgt. Diese Zerlegung entsteht auch beim GA ohne Pivotstrategie.

$$A = LU = \begin{pmatrix} 1 & 0 & 0 & \cdots & 0 & 0 \\ -\frac{1}{2} & 1 & 0 & \cdots & 0 & 0 \\ 0 & -\frac{2}{3} & 1 & \cdots & 0 & 0 \\ \dots & \dots & \dots & \dots & \dots & \dots \\ 0 & 0 & 0 & \cdots & 1 & 0 \\ 0 & 0 & 0 & \cdots & -\frac{n-1}{n} & 1 \end{pmatrix} \begin{pmatrix} \frac{2}{1} & -1 & 0 & \cdots & 0 & 0 \\ 0 & \frac{3}{2} & -1 & \cdots & 0 & 0 \\ 0 & 0 & \frac{4}{3} & \cdots & 0 & 0 \\ \dots & \dots & \dots & \dots & \dots & \dots \\ 0 & 0 & 0 & \cdots & \frac{n}{n-1} & -1 \\ 0 & 0 & 0 & \cdots & 0 & \frac{n+1}{n} \end{pmatrix}$$

Damit ist $L = \text{tridiag}(l, 1, 0)$ und $U = \text{tridiag}(0, u, -1)$.

Aus der Produktdarstellung ist sofort die Determinante von A erkennbar, nämlich

$$\det(A) = \det(L) \det(U) = 1 \cdot (n+1) = n+1.$$

Damit ist $\det(A^{-1}) = 1/(n+1)$.

Um bei der Lösung des LGS $Ax = b$ eine akzeptable Näherungslösung \tilde{x} zur exakten Lösung x zu erhalten, ist eine starke GPA notwendig.

Die Fehlerakkumulation beim GA mit $A(n, n)$ und t Dualstellen der Mantisse des GPF führt bei $n \rightarrow \infty$ zum absoluten Fehler

$$\|\Delta x\| = \|\tilde{x} - x\| = 2^{-t} \text{cond}(A) K(n),$$

wobei für den verkürzten GA ("chase method", "metod progonka") ohne Pivottisierung bei $A = \text{tridiag}()$ und diagonal dominant oder $A = A^T > 0$ die Beziehung

$$K(n) = \mathcal{O}(\sqrt{n})$$

gilt.

Für $t = 64$ (*extended*-Format), $t = 53$ (*double*-Format) oder $t = 40$ (*real*-Format) kann man die gültigen Dezimalstellen der Näherungslösung ermitteln.

Betrachten wir die Lösung eines LGS etwas detaillierter.

Die exakte Lösung des LGS $Ax = b$ mit $b = (1, 0, 0, \dots, 0, 1)^T$ ist der Einsvektor $x^* = (1, 1, \dots, 1)^T$.

Zur Bestimmung seiner Computerlösung \tilde{x} machen wir zwei hauptsächliche Schritte.

1. Direkte Lösung mittels verkürztem GA.
2. Iterative Lösung (Iterationsverfahren, IV) mittels Jacobi- (GSV) und Gauß-Seidel-Verfahren (ESV).

Zu 1.: Wegen $A = A^T > 0$ kann der verkürzte Gauß-Algorithmus ohne Pivotstrategie durchgeführt werden. Dabei erhält man auch die LU -Zerlegung von A .

Die allgemeine Fehlerakkumulation bei der numerischen Lösung von $Ax = b$ mittels GA mit $A(n, n)$ und t Dualstellen der Mantisse des GPF führt bei $n \rightarrow \infty$ zum absoluten Fehler ([27], Kap. 5.3) der Näherungslösung x gemäß

$$\|e(x)\| = \|x - x^*\| = 2^{-t} \text{cond}(A) K(n),$$

wobei x^* exakte Lösung und

$$K(n) = \begin{cases} \mathcal{O}(\sqrt{n}) & \text{für verkürzten GA ohne Pivotisierung bei tridiagonaler,} \\ & \text{Matrix } A, \text{ dazu } A \text{ diag.dominant oder } A = A^T > 0, \\ \mathcal{O}(n) & \text{für GA ohne Pivotisierung, } A \text{ diag. dom. oder } A = A^T > 0, \\ \mathcal{O}(2^n) & \text{für GA mit Spaltenpivotisierung,} \\ \mathcal{O}(n^2) & \text{für GA mit vollständiger Pivotisierung.} \end{cases}$$

Den Einfluss der Kondition der Matrix A auf den Fehler $e(x)$ kann man sich auch durch folgende Überlegung veranschaulichen.

Es ist $Ax^* = b$ und sei x als Näherungslösung die exakte Lösung des gestörten LGS $(A + \Delta A)x = b$. Dann folgen aus der Differenz beider die Beziehungen

$$\begin{aligned} A(x^* - x) &= -\Delta Ax, \\ x^* - x &= -A^{-1}\Delta Ax. \end{aligned}$$

Also werden sich betragsgroße Elemente in A^{-1} , d. h. eine große Konditionszahl von A , ungünstig auf den Fehler auswirken. Damit wird eine gewisse von der Dimension n abhängige Anzahl von letzten Mantissenstellen der Näherungslösung ungültig.

Für das *double*-Format ist $t = 53$ (53 Bit Mantisse bei 8 Byte Wortlänge).

Der Akkumulationsfehler zum GA berechnet sich bei schlechter Kondition von A als

$$\begin{aligned} \|e(x)\| &= c 2^{-t} \text{cond}(A) n, \quad c > 0 \\ &= \hat{c} 2^{-53} n^3, \quad \hat{c} > 0 \\ &= \tilde{c} 10^{-16} n^3, \quad \tilde{c} \approx 10^{-4} > 0 \\ &\approx 10^{-20} n^3 \end{aligned}$$

Der Akkumulationsfehler beim verkürzten GA für obige Matrix A beträgt

$$\begin{aligned} \|e(x)\| &= c 2^{-t} \text{cond}(A) \sqrt{n}, \quad c > 0 \\ &= \tilde{c} 10^{-16} n^2 \sqrt{n}, \quad \tilde{c} \approx 10^{-3} > 0 \\ &\approx 10^{-19} n^2 \sqrt{n}. \end{aligned}$$

Die jeweilige Wahl und ‘‘grobe Anpassung‘‘ des Faktors \tilde{c} erfolgte aus einigen Testrechnungen mit der Maximumnorm und dem Format *double* zum gegebenen Beispiel.

Damit erhält man für letzteres zu den verschiedenen Dimensionen n die folgende Tabelle.

n	$\ e(x)\ \approx 10^{-19} n^2 \sqrt{n}$
9	$2 \cdot 10^{-17}$
19	$3 \cdot 10^{-16}$
99	10^{-14}
999	$3 \cdot 10^{-12}$
4999	$2 \cdot 10^{-11}$
7999	$6 \cdot 10^{-10}$

Für das *real*-Format ist $t = 40$ (40 Bit Mantisse bei 6 Byte Wortlänge). Dann berechnet sich der Akkumulationsfehler beim verkürzten GA als $\|e(x)\| \approx 10^{-15} n^2 \sqrt{n}$. Man sollte also das LGS mit entsprechend starker GPA behandeln, damit die Computerzwischenlösung x akzeptabel ist.

Wir berechnen diese mit einem Pascal-Programm (TP, Borland Pascal bzw. Dev-Pascal) für die vier GPF *single*, *real*, *double* und *extended*. Die Anzahl der dabei verwendeten Dezimalziffern der Mantisse beträgt entsprechend 7–8, 11–12, 15–16 und 19–20.

Die größten Abweichungen von der exakten Lösung x^* sind in oder nahe der Intervallmitte zu erwarten, also

$$\max_{1 \leq i \leq n} |x_i - x_i^*| \approx |x_{[n/2]} - x_{[n/2]}^*|.$$

n	$\max x(i) - x^*(i) $			
	single	real	double	extended
9	1.19E-7	4.55E-12	1.11E-16	1.16E-19
19	1.79E-7	2.73E-11	2.22E-16	3.79E-19
99	2.50E-6	6.11E-10	1.22E-14	1.04E-17
999	3.63E-4	5.73E-08	2.88E-13	9.32E-17
1999	1.33E-3	2.27E-07	5.52E-13	3.27E-16
2999	2.88E-3	5.18E-07	2.36E-12	4.69E-16
3999	1.56E-2	9.16E-07	4.67E-12	4.38E-16
4999	7.88E-2	1.43E-06	5.12E-12	5.49E-16
5999	1.63E-1	2.04E-06	5.42E-12	6.44E-16
6999	2.52E-1	2.77E-06	6.40E-12	1.76E-15
7999	3.39E-1	3.61E-06	8.40E-12	1.24E-15
8999	4.21E-1	4.58E-06	1.14E-11	1.04E-15
9999	4.95E-1	5.67E-06	1.28E-11	1.19E-15
15999	7.88E-1		2.79E-11	1.65E-15

Zu 2.: Das GSV

$$x^{(k+1)} = Jx^{(k)} + c, \quad k = 0, 1, \dots,$$

mit der üblichen Matrixzerlegung $A = A_L + A_D + A_R$ und der Iterationsmatrix

$$J = \text{tridiag}(\frac{1}{2}, 0, \frac{1}{2}) = I - A_D^{-1}A = I - \frac{1}{2}A$$

ist für beliebigen Startvektor $x^{(0)}$ konvergent. Die EW von J sind

$$\lambda_i(J) = \cos(i\pi/(n+1)) = 1 - \frac{1}{2}\lambda_i(A), \quad i = 1, 2, \dots, n,$$

und damit betragsmäßig kleiner als Eins.

Jedoch wird die lineare Konvergenz äußerst langsam sein, denn der Spektralradius

$$\rho(J) = \max_i |\lambda_i(J)| = \cos(\pi/(n+1)) = 1 - 2 \sin^2(\pi/(2n+2)) \approx 1 - \frac{\pi^2}{2(n+1)^2} < 1$$

liegt sehr nahe der Eins. Für $n = 99$ erhält man $\rho(J) = 0.999\,506\,560$, für $n = 999$ den Wert $\rho(J) = 0.999\,995\,065$.

Als Startvektoren testen wir bei gegebenen n zwei Versionen.

Zuerst nehmen wir als $x^{(0)}$ das Ergebnis des 1. Schritts. Der weitere Verlauf ist wie folgt, wobei nur der Fehler $\max_{1 \leq i \leq n} |x_i^{(k)} - x_i^*|$ an einigen Iterationsschritten ausgewertet wird. Das Kürzel o.V. heißt "ohne Veränderung" des bisherigen Fehlers, genauso der Iterierten.

n=999

k	single	max x^(k)(i) - x*(i) real	double	extended
0	3.626346E-4	5.725178E-08	2.882138E-13	9.324138E-17
1	o.V.	5.725087E-08	2.882138E-13	o.V.
2	o.V.	5.725087E-08	2.881028E-13	o.V.
3	o.V.	5.724996E-08	2.879918E-13	o.V.
4	o.V.	5.724996E-08	o.V.	o.V.
1000	o.V.	5.68E-08	o.V.	o.V.
2000	o.V.	5.63E-08	o.V.	o.V.
5000	o.V.	5.50E-08	o.V.	o.V.
10000	o.V.	5.27E-08	o.V.	o.V.
20000	o.V.	4.82E-08	o.V.	o.V.
50000	o.V.	3.45E-08	o.V.	o.V.
100000	o.V.	1.18E-08	o.V.	o.V.
120000	o.V.	2.68E-09	o.V.	o.V.
125000	o.V.	4.08E-10	o.V.	o.V.
126000	o.V.	0	o.V.	o.V.

Man sieht, dass die Nachiteration mit dem GSV bis auf den Fall des Turbo Pascal-typischen Formats *real* keine Verbesserung der Iterierten bringt. Warum ist das so? Trotz erfüllter Konvergenzbedingung ist auch hier die Kondition von J wichtig.

Die Matrix J erbt diese sozusagen von der Matrix A . Für ungerades n ist J singulär, denn der mittlere EW ist Null, und die Konditionszahl ist ∞ . Für gerades n ist J regulär, denn alle EW sind ungleich Null. Die beiden mittleren EW sind

$$\cos\left(\frac{n-\pi}{n+1}\right) > 0 \text{ und } \cos\left(\frac{n+2\pi}{n+1}\right) = -\cos\left(\frac{n-\pi}{n+1}\right) < 0.$$

Die spektrale Konditionszahl beträgt für $n \gg 1$

$$\frac{\cos\left(\frac{\pi}{n+1}\right)}{\cos\left(\frac{n-\pi}{n+1}\right)} = \frac{1-2\sin^2\left(\frac{\pi}{2(n+1)}\right)}{\cos\left(\frac{n-\pi}{n+1}\right)} \approx \frac{1-2\left(\frac{\pi}{2(n+1)}\right)^2}{\frac{\pi}{2} - \frac{n-\pi}{n+1}\frac{\pi}{2}} = \frac{2}{\pi} \left(n+1 - \frac{\pi^2}{2(n+1)} \right) \approx \frac{2}{\pi}(n+1).$$

Wir machen deshalb dieselbe Überlegung wie vorher.

x^* ist die exakte Lösung der Fixpunktgleichung $x = Jx + c$, \tilde{x} sei die letzte Iterierte und als Näherungslösung die exakte Lösung des gestörten Systems $x = (J + \Delta J)x + c$. Damit erhalten wir die Beziehungen

$$\begin{aligned} x^* &= Jx^* + c, \\ \tilde{x} &= (J + \Delta J)\tilde{x} + c, \\ \tilde{x} - x^* &= J(\tilde{x} - x^*) + \Delta J\tilde{x}, \\ (I - J)(\tilde{x} - x^*) &= \Delta J\tilde{x}, \\ \tilde{x} - x^* &= (I - J)^{-1}\Delta J\tilde{x}. \end{aligned}$$

Die Größen $\lambda(I - J) = 1 - \lambda(J)$ mit

$$0 < \lambda_{\min}(I - J) = 1 - \cos\left(\frac{\pi}{n+1}\right) < 1 - \cos\left(\frac{2\pi}{n+1}\right) < \dots < 1 + \cos\left(\frac{\pi}{n+1}\right) = \lambda_{\max}(I - J) < 2$$

sind die EW von $I - J$ und die spektrale Konditionszahl zu $I - J$ wie auch $(I - J)^{-1}$ beträgt

$$\frac{1 + \cos\left(\frac{\pi}{n+1}\right)}{1 - \cos\left(\frac{\pi}{n+1}\right)} \approx \frac{2}{1 - \left(1 - 2\sin^2\left(\frac{\pi}{2(n+1)}\right)\right)} \approx \frac{4(n+1)^2}{\pi^2}.$$

Die Matrixkondition ist die Fehlerquelle. Damit wird in der gegebenen GPA der Iterationsprozess vorzeitig beendet, ohne dass man genau zur Lösung gelangt.

Aber es macht Sinn, die Iteration bei einem Startvektor zu beginnen, der aus dem ersten Schritt mit ungenauerer Arithmetik entsteht. Das heißt, z. B. den GA in der GPA *double* auszuführen und das GSV als Nachiteration mit *extended* weiter zu rechnen.

Nun nehmen wir das GSV von Beginn an mit dem Startvektor $x^{(0)} = 0$ und kontrollieren, wie sich der genannte Fehler entwickelt. Da die Dimension etwas kleiner ist, ist die Kondition der entsprechenden Matrizen A und J nicht so schlecht. Aber das IV stagniert ebenfalls, wenn auch "später" und bei kleinerem Fehler.

n=99

iter	single	max x(i)-x*(i)		
		real	double	extendend
0	1	1	1	1
1000	7.72E-1	7.72E-01	7.72E-01	7.72E-01
2000	4.74E-1	4.74E-01	4.74E-01	4.74E-01
4000	1.77E-1	1.77E-01	1.77E-01	1.77E-01
6000	6.59E-2	6.59E-02	6.59E-02	6.59E-02
8000	2.45E-2	2.45E-02	2.45E-02	2.45E-02
10000	9.15E-3	9.15E-03	9.15E-03	9.15E-03
20000	6.91E-5	6.57E-05	6.57E-05	6.57E-05
21000	4.86E-5	4.01E-05	4.01E-05	4.01E-05
25000	o.V.	5.57E-06	5.57E-06	5.57E-06
35000	o.V.	3.95E-08	4.00E-08	4.00E-08
43000	o.V.	3.81E-10	7.72E-10	7.72E-10
44000	o.V.	0	4.71E-10	4.71E-10
50000	o.V.	0	2.44E-11	2.44E-11
60000	o.V.	0	1.88E-13	1.75E-13
62000	o.V.	0	9.06E-14	6.53E-14
75000	o.V.	0	o.V.	1.16E-16
77000	o.V.	0	o.V.	4.43E-17
78000	o.V.	0	o.V.	4.42E-17
79000	o.V.	0	o.V.	o.V.

Der Fehler genügt der rekursiven Berechnung

$$e^{(k+1)} = J e^{(k)} = \dots = J^{k+1} e^{(0)}$$

und erfüllt mit der euklidischen Vektornorm und spektralen Matrixnorm die Beziehung

$$\|e^{(k+1)}\|_2 \leq \|J\|_2 \|e^{(k)}\|_2 = r \|e^{(k)}\|_2 \leq r^{k+1} \|e^{(0)}\|_2,$$

wobei $r = \rho(J) = \cos\left(\frac{\pi}{n+1}\right) \lesssim 1$.

Wir sehen in den zwei implementierten Fällen, wie langsam die Potenzen r^k für $r \lesssim 1$ abnehmen und gegen Null tendieren.

k	n=999			n=99		
	r=0.9999	9506	r^k	r=0.9995	0656	r^k
1000	0.9950	7734	5854	0.6104	4845	7516
5000	0.9756	2786	4558	0.0847	7055	0500
10000	0.9518	4973	0103	0.0071	8604	6232
20000	0.9060	1790	8697	0.0000	5163	9260
50000	0.7813	4341	3421	0.0000	0000	0019
100000	0.6104	9752	9697	0.3671E-021		
500000	0.0848	0462	8271	0.6675E-107		
1000000	0.0071	9182	4976	0.4456E-214		

Das ESV

$$x^{(k+1)} = H_1 x^{(k)} + c, \quad k = 0, 1, \dots,$$

mit der Iterationsmatrix

$$H_1 = \begin{pmatrix} 0 & \frac{1}{2} & 0 & 0 & \cdots & 0 \\ 0 & \frac{1}{2^2} & \frac{1}{2} & 0 & \cdots & 0 \\ 0 & \frac{1}{2^3} & \frac{1}{2^2} & \frac{1}{2} & \ddots & \vdots \\ \vdots & \vdots & \vdots & \vdots & \ddots & 0 \\ 0 & \frac{1}{2^{n-1}} & \frac{1}{2^{n-2}} & \frac{1}{2^{n-3}} & \cdots & \frac{1}{2} \\ 0 & \frac{1}{2^n} & \frac{1}{2^{n-1}} & \frac{1}{2^{n-2}} & \cdots & \frac{1}{2^2} \end{pmatrix} = I - (A_D + A_L)^{-1} A$$

ist für beliebigen Startvektor $x^{(0)}$ konvergent.

Die EW von H_1 sind reell oder komplex und betragsmäßig kleiner als Eins, mindestens einer ist Null. Im Spektrum $\sigma(H_1)$ befinden sich auch die Werte $\lambda(J)^2$.

Jedoch wird die lineare Konvergenz langsam sein, denn der Spektralradius

$$\rho(H_1) = \max_i |\lambda_i(H_1)| = \cos^2(\pi/(n+1)) \approx 1 - \frac{\pi^2}{(n+1)^2} < \rho(J) < 1$$

liegt sehr nahe der Eins. Gleichzeitig gilt $\rho(H_1) = \rho(J)^2 < 1$, so dass das ESV schneller konvergiert und ca. halb soviel Iterationen wie das GSV braucht.

Wir rechnen dieselben Beispiele wie zum GSV.

Für $n = 999$ ist das Ergebnis des GA so gut, dass das ESV mit dem Startvektor als Ergebnis des GA fast den gleichen Iterationsverlauf wie das GSV zeigt.

Die etwas schnellere Konvergenz bei halber Iterationsanzahl der Nachiteration mit dem ESV ist am ehesten bei den Formaten *real* und *double* zu erkennen.

n=999

iter	single	max x^(k)(i) - x*(i)		
		real	double	extended
0	3.626346E-4	5.725178E-08	2.882138E-13	9.324138E-17
1	o.V.	5.725087E-08	2.879918E-13	o.V.
2	o.V.	5.724996E-08	o.V.	o.V.
1000	o.V.	5.63E-08	o.V.	o.V.
2000	o.V.	5.54E-08	o.V.	o.V.
5000	o.V.	5.27E-08	o.V.	o.V.
10000	o.V.	4.82E-08	o.V.	o.V.
20000	o.V.	3.91E-08	o.V.	o.V.
50000	o.V.	1.18E-08	o.V.	o.V.

60000		o.V.	2.68E-09	o.V.	o.V.
62000		o.V.	8.63E-10	o.V.	o.V.
63000		o.V.	o.V.	o.V.	o.V.

Nun nehmen wir das ESV von Beginn an mit dem Startvektor $x^{(0)} = 0$ und kontrollieren, wie sich der genannte Fehler entwickelt. Da die Dimension etwas kleiner ist, ist die Kondition der entsprechenden Matrix A nicht so schlecht. H_1 hat jedoch die Konditionszahl ∞ . Im Vergleich zum GSV ergibt sich die halbe Iterationsanzahl. Aber der Iterationsprozess stagniert ebenfalls, wenn auch "später" und bei kleinerem Fehler.

n=99

		max x(i)-x^(i)		
iter	single	real	double	extendend
0		1	1	1
1000		4.75E-1	4.75E-01	4.75E-01
2000		1.77E-1	1.77E-01	1.77E-01
4000		2.46E-2	2.46E-02	2.46E-02
6000		3.41E-3	3.41E-03	3.41E-03
8000		4.79E-4	4.74E-04	4.74E-04
10000		6.92E-5	6.58E-05	6.58E-05
11000		4.86E-5	2.45E-05	2.45E-05
12000		o.V.	9.13E-06	9.13E-06
15000		o.V.	4.72E-07	4.73E-07
20000		o.V.	2.94E-09	3.40E-09
21000		o.V.	8.37E-10	1.27E-09
22000		o.V.	0	4.72E-10
25000		o.V.	0	2.44E-11
30000		o.V.	0	1.89E-13
31000		o.V.	0	9.06E-14
35000		o.V.	0	1.26E-15
38000		o.V.	0	6.83E-17
39000		o.V.	0	4.42E-17
40000		o.V.	0	o.V.

Zum Schluss rechnen wir für $n = 99$ den GA im Format *single* und setzen dessen Ergebnis mit den beiden IV fort, und zwar stufenweise in den Genauigkeiten *single*, *real*, *double*, *extended*, wobei die letzte Iterierte einer Stufe der Startvektor für die nächste Stufe ist. Die erste Nachiteration, nach dem GA mit dem Format *single* ausgeführt, bringen keinen relevanten Genauigkeitszuwachs.

Wir sehen noch einmal deutlich die halbe Iterationsanzahl vom ESV gegenüber dem GSV und die sinnvolle Nachiteration bei ungenauem Startvektor.

Die Angaben sind auf 13 Mantissenstellen abgeschnitten.

n=99

max|x(i)-x*(i)|

single	GA	2.5033	9508	0566E-06			
	iter		GSV			ESV	
single	0	2.5033	9508	0566E-06	2.5033	9508	0566E-06
	1	o.V.			2.3841	8579	1015E-06
	2				o.V.		
real	0	2.5033	9508	0566E-06	2.3841	8579	1015E-06
	1	2.4437	9043	5791E-06	2.3841	6396	3142E-06
	6876	3.0735	4639	5171E-08	2.2300	8100	8747E-09
	6877	3.0706	3601	2125E-08	2.2282	6201	9343E-09
	6878	3.0706	3601	2125E-08	o.V.		
	13686	2.2300	8100	8747E-09			
	13687	2.2282	6201	9343E-09			
	13688	o.V.					
double	0	2.2282	6201	9343E-09	2.2282	6201	9343E-09
	1	2.2282	6201	9343E-09	2.2273	5252	4641E-09
	9685	1.9395	5962	4020E-11	1.8141	0442	2237E-13
	9686	1.9385	8262	7758E-11	1.8118	8397	6188E-13
	9687	1.9376	5004	0417E-11	o.V.		
	19371	1.8141	0442	2237E-13			
	19372	1.8118	8397	6188E-13			
	19373	o.V.					
extendend	0	1.8118	8397	6188E-13	1.8118	8397	6188E-13
	1	1.8118	8397	6188E-13	1.8112	4971	7917E-13
	7869	3.8664	4817	8751E-15	8.8579	3174	9206E-17
	7870	3.8644	2180	3390E-15	8.8470	8972	7481E-17
	7871	3.8626	8707	9914E-15	o.V.		
	15738	8.8579	3174	9206E-17			
	15739	8.8470	8972	7481E-17			
	15740	o.V.					

Wir notieren noch das zugehörige Pascal Programm, wobei die Dateiarbeit für das "Stufenprogramm" weggelassen wurde.

```

{$N+} program GA_Progonka_IV;
{(C) W.Neundorf IfMath TU Ilmenau
  Verkuerzter GA und IV=GSV/ESV fuer Ax=b, A tridiagonal
  PROGONK3.PAS }

uses dos,crt;
const nmax=2000; { bei BPW 64KByte-Grenze beachten }
           { bei DEV-Pascal keine Grenze }
type float=real; { single; real; double; extended; }
           { bei DEV-Pascal real=double }
Vektor=array[1..nmax] of float;
PVektor=^Vektor;
var n,i,ie,nmin1,nmin2,nmin3,iter,itermax : longint;
    a,c,g,b,l,u,v,x,y,x0 : PVektor;

```

```

    h,Th,err,err1,errmin1,errmin2,errmin3 : float;
    ch:char;

{exakte Loesung}
function Tex(x:float):float;
begin
    Tex:=1;
end;

begin
    clrscr;
    writeln('Verkuerzter GA und IV=GSV/ESV fuer Tridiagonalsysteme');
    {Eingabe n,itermax}
    write('n='); readln(n);
    write('itermax='); readln(itermax);

    new(a); new(b); new(c); new(g); new(x); new(y); new(x0);
    new(l); new(u); new(v);
    nmin1:=n; errmin1:=1;
    nmin2:=n; errmin2:=1;
    nmin3:=n; errmin3:=1;
    while n<=0 do
    begin
        n:=n+1000;
        h:=1.0/(n+1);

        { Definition A,b }
        for i:=1 to n do
            begin
                a^[i]:=2; c^[i]:=-1; g^[i]:=-1; b^[i]:=0;
            end;
        b^[1]:=1; b^[n]:=1; g^[n]:=0; v^[n]:=0;

        { GA, LU-Zerlegung }
        for i:=1 to n-1 do v^[i]:=g^[i];
        u^[1]:=a^[1];
        for i:=1 to n-1 do
            begin
                l^[i]:=c^[i]/u^[i];
                u^[i+1]:=a^[i+1]-l^[i]*v^[i];
            end;
        { Vorwaertsrechnung }
        y^[1]:=b^[1];
        for i:=2 to n do y^[i]:=b^[i]-l^[i-1]*y^[i-1];
        { Rueckwaertsrechnung }
        x^[n]:=y^[n]/u^[n];
        for i:=n-1 downto 1 do x^[i]:=(y^[i]-v^[i]*x^[i+1])/u^[i];

        { Ergebnisse }
        { writeln('u');
        for i:=1 to n do
            begin
                writeln(u^[i]);
                if i mod 20 = 0 then readln;
            end;

```

```

readln;
(* analog v,l,y,x *)
}
{ writeln; writeln('x                                T(x)'); }
err:=0;
for i:=1 to n do
  begin
    Th:=Tex(i*h);
    err1:=abs(x^[i]-Th);
    if err1>err then
      begin
        err:=err1; ie:=i;
      end;
  { writeln(x^[i], ' ', Th); if i mod 20 = 0 then readln; }
  end;
  { writeln; }
  writeln('GA:  n=',n:4,'  err=',err,'  i=',ie);
  readln;
  if err<errmin1 then
    begin
      errmin1:=err;
      nmin1:=n;
    end;
end;

{IV}
{ Startvektor (x0^[1],...,x0^[n]) }
for i:=1 to n do x0^[i]:=x^[i];
{for i:=1 to n do x0^[i]:=0; }

{ GSV }
for i:=1 to n do x^[i]:=x0^[i];
for iter:=1 to itermax do
  begin
    y^[1]:=(b^[1]-g^[1]*x^[2])/a^[1];
    for i:=2 to n-1 do y^[i]:=(b^[i]-c^[i]*x^[i-1]-g^[i]*x^[i+1])/a^[i];
    y^[n]:=(b^[n]-c^[n-1]*x^[n-1])/a^[n];
    err:=0;
    for i:=1 to n do
      begin
        Th:=Tex(i*h);
        err1:=abs(y^[i]-Th);
        if err1>err then
          begin
            err:=err1; ie:=i;
          end;
      end;
    x^:=y^;

  { Zwischenausgabe }
  if iter mod 1000 = 0 then
    begin
      writeln('GSV:  n=',n:4,'  iter=',iter,'  err=',err,'  i=',ie);
      writeln('P,p->Ausgabe x, Esc->Halt, sonst weiter');
      ch:=readkey;
      case ch of

```



```

    'P','p' : begin
        writeln('x');
        for i:=1 to n do
            begin
                writeln(x^[i]);
                if i mod 20 = 0 then readln;
            end;
        end;
    #27 : halt;
end;
end;
if err<errmin2 then
begin
    errmin2:=err;
    nmin2:=n;
end;
end; {iter}

{ ESV }
for i:=1 to n do x^[i]:=x0^[i];
for iter:=1 to itermax do
begin
    y^[1]:=(b^[1]-g^[1]*x^[2])/a^[1];
    for i:=2 to n-1 do y^[i]:=(b^[i]-c^[i]*y^[i-1]-g^[i]*x^[i+1])/a^[i];
    y^[n]:=(b^[n]-c^[n-1]*y^[n-1])/a^[n];
    err:=0;
    for i:=1 to n do
        begin
            Th:=Tex(i*h);
            err1:=abs(y^[i]-Th);
            if err1>err then
                begin
                    err:=err1;
                    ie:=i;
                end;
        end;
    end;
    x^:=y^;

    { Zwischenausgabe }
    if iter mod 1000 = 0 then
        begin
            writeln('ESV: n=',n:4,' iter=',iter,' err=',err,' i=',ie);
            writeln('P,p->Ausgabe x, Esc->Halt, sonst weiter');
            ch:=readkey;
            case ch of
                'P','p' : begin
                    writeln('x');
                    for i:=1 to n do
                        begin
                            writeln(x^[i]);
                            if i mod 20 = 0 then readln;
                        end;
                    end;
                #27 : halt;
            end;
end;

```

```

end;
if err<errmin3 then
begin
errmin3:=err;
nmin3:=n;
end;
end; {iter}
end; {n}

writeln('GA : errmin1=',errmin1,' nmin1=',nmin1);
writeln('GSV: errmin2=',errmin2,' nmin2=',nmin2);
writeln('ESV: errmin3=',errmin3,' nmin2=',nmin3);
dispose(a); dispose(b); dispose(c); dispose(g);
dispose(x); dispose(y); dispose(x0);
dispose(l); dispose(u); dispose(v);
readln;
end.

```

Spd Tridiagonalmatrix

Für $n = 5$ erhält man

$$A = \begin{pmatrix} 2 & -1 & 0 & 0 & 0 \\ -1 & 2 & -1 & 0 & 0 \\ 0 & -1 & 2 & -1 & 0 \\ 0 & 0 & -1 & 2 & -1 \\ 0 & 0 & 0 & -1 & 2 \end{pmatrix}, \quad A^{-1} = \begin{pmatrix} \frac{5}{6} & \frac{4}{6} & \frac{3}{6} & \frac{2}{6} & \frac{1}{6} \\ \frac{4}{6} & \frac{8}{6} & \frac{6}{6} & \frac{4}{6} & \frac{2}{6} \\ \frac{3}{6} & \frac{6}{6} & \frac{9}{6} & \frac{6}{6} & \frac{3}{6} \\ \frac{2}{6} & \frac{4}{6} & \frac{6}{6} & \frac{8}{6} & \frac{4}{6} \\ \frac{1}{6} & \frac{2}{6} & \frac{3}{6} & \frac{4}{6} & \frac{5}{6} \end{pmatrix}.$$

Rechnungen für die spd Tridiagonalmatrix in Maple

Determinante, Inverse, Norm, Kondition und EW/EV (Datei *matr_trid1.mws*)

Zunächst noch einige Varianten zur Erzeugung der Tridiagonalmatrix

```

> A:=matrix(n,n,(i,j)->if i=j then 2
      elif abs(j-i)=1 then -1 else 0 end if);

# linalg
A:=band([-1,2,-1],n);           # A:=linalg[band]([-1,2,-1],n);
                                # nicht A:=band([-1,2,-1],n,n+1);

# Symmetrie wird mit oberem Dreieck erzeugt
A:=array(symmetric,1..n,1..n,[]):
for i from 1 to n do
  for j from i to n do
    if i=j then A[i,j]:=2
    elif j-i=1 then A[i,j]:=-1 else A[i,j]:=0 end if;
  end do;
end do;
A:=evalm(A);

# falsch
A:=array(symmetric,1..n,1..n,(i,j)->if i=j then 2
      elif j-i=1 then -1 else 0 end if);

```

Die ersten 3 Varianten liefern das gleiche Ergebnis

$$A = \begin{bmatrix} 2 & -1 & 0 & 0 & 0 \\ -1 & 2 & -1 & 0 & 0 \\ 0 & -1 & 2 & -1 & 0 \\ 0 & 0 & -1 & 2 & -1 \\ 0 & 0 & 0 & -1 & 2 \end{bmatrix}.$$

Variante 4 ist fehlerhaft.

Error, invalid parameters for creation of table or array

Weitere Möglichkeiten

```
> # Symmetrie wird mit oberem Dreieck erzeugt
A:=Matrix(n,(i,j)->if i=j then 2
      elif abs(j-i)=1 then -1 else 0 end if,shape=symmetric);
# genauso
A:=Matrix(n,(i,j)->if i=j then 2
      elif j-i=1 then -1 else 0 end if,shape=symmetric):
# Symmetrie wird mit oberem Dreieck erzeugt, deshalb hier Diagonalform
A:=Matrix(n,(i,j)->if i=j then 2
      elif i-j=1 then -1 else 0 end if,shape=symmetric);
```

$$A := \begin{bmatrix} 2 & -1 & 0 & 0 & 0 \\ -1 & 2 & -1 & 0 & 0 \\ 0 & -1 & 2 & -1 & 0 \\ 0 & 0 & -1 & 2 & -1 \\ 0 & 0 & 0 & -1 & 2 \end{bmatrix}$$

$$A := \begin{bmatrix} 2 & 0 & 0 & 0 & 0 \\ 0 & 2 & 0 & 0 & 0 \\ 0 & 0 & 2 & 0 & 0 \\ 0 & 0 & 0 & 2 & 0 \\ 0 & 0 & 0 & 0 & 2 \end{bmatrix}$$

```
> # LinearAlgebra
BandMatrix([-1,2,-1],1,n); # LinearAlgebra[BandMatrix]([-1,2,-1],1,n);
BandMatrix([-1,2,-1],1,n,n+1);
```

$$\begin{bmatrix} 2 & -1 & 0 & 0 & 0 \\ -1 & 2 & -1 & 0 & 0 \\ 0 & -1 & 2 & -1 & 0 \\ 0 & 0 & -1 & 2 & -1 \\ 0 & 0 & 0 & -1 & 2 \end{bmatrix}$$

$$\begin{bmatrix} 2 & -1 & 0 & 0 & 0 & 0 \\ -1 & 2 & -1 & 0 & 0 & 0 \\ 0 & -1 & 2 & -1 & 0 & 0 \\ 0 & 0 & -1 & 2 & -1 & 0 \\ 0 & 0 & 0 & -1 & 2 & -1 \end{bmatrix}$$

```

> Digits:=16:
i:='i': j:='j':
n:=5:
# A:=band([-1,2,-1],n);
A:=matrix(n,n,(i,j)->if i=j then 2
                    elif abs(i-j)=1 then -1 else 0 end if):
'A'=evalm(A);
'rank(A)'=rank(A);
'det(A)'=det(A);
'inv(A)'=inverse(A);

# Normen
'norm(A,2)'=norm(A,2); # Spektralnorm
evalf(%);
'norm(A,1)'=norm(A,1); # Spaltensummennorm
evalf(%);
'norm(A)=norm(A,infinity)'=norm(A); # Zeilensummennorm = SSN
evalf(%);
'norm(A,frobenius)'=norm(A,frobenius); # Frobenius-Norm
evalf(%);
'norm(invA)=norm(invA,infinity)'=norm(invA); # ZSN der Inversen
evalf(%);

# Konditionen dazu, auch Kommando cond(A,*)
'cond(A,2)'=evalf(norm(A,2)*norm(inverse(A),2));
'cond(A,1)'=evalf(norm(A,1)*norm(inverse(A),1));
'cond(A)=cond(A,infinity)'=evalf(norm(A)*norm(inverse(A)));
'cond(A,frobenius)'=evalf(norm(A,frobenius)*norm(inverse(A),frobenius));

```

$$A = \begin{bmatrix} 2 & -1 & 0 & 0 & 0 \\ -1 & 2 & -1 & 0 & 0 \\ 0 & -1 & 2 & -1 & 0 \\ 0 & 0 & -1 & 2 & -1 \\ 0 & 0 & 0 & -1 & 2 \end{bmatrix}$$

$$\text{rank}(A) = 5$$

$$\det(A) = 6$$

$$\text{inv}(A) = \begin{bmatrix} \frac{5}{6} & \frac{2}{3} & \frac{1}{2} & \frac{1}{3} & \frac{1}{6} \\ \frac{2}{3} & \frac{4}{3} & 1 & \frac{2}{3} & \frac{1}{3} \\ \frac{1}{2} & 1 & \frac{3}{2} & 1 & \frac{1}{2} \\ \frac{1}{3} & \frac{2}{3} & 1 & \frac{4}{3} & \frac{2}{3} \\ \frac{1}{6} & \frac{1}{3} & \frac{1}{2} & \frac{2}{3} & \frac{5}{6} \end{bmatrix}$$

$$\text{norm}(A, 2) = 2 + \sqrt{3}$$

$$\text{norm}(A, 2) = 3.732050807568877$$

$$\text{norm}(A, 1) = 4$$

$$\text{norm}(A, 1) = 4.$$

$$\text{norm}(A) = \text{norm}(A, \text{infinity}) = 4$$

$$\begin{aligned}
\text{norm}(A) &= \text{norm}(A, \text{infinity}) = 4. \\
\text{norm}(A, \text{frobenius}) &= 2\sqrt{7} \\
\text{norm}(A, \text{frobenius}) &= 5.291502622129182 \\
\text{norm}(\text{inv}A) &= \text{norm}(\text{inv}A, \text{infinity}) = \frac{9}{2} \\
\text{norm}(\text{inv}A) &= \text{norm}(\text{inv}A, \text{infinity}) = 4.5000000000000000 \\
\text{cond}(A, 2) &= 13.92820323027551 \\
\text{cond}(A, 1) &= 18. \\
\text{cond}(A) &= \text{cond}(A, \text{infinity}) = 18. \\
\text{cond}(A, \text{frobenius}) &= 20.73912030706970
\end{aligned}$$

Bei numerischer Rechnung erhalten wir für diese kleine Matrixdimension $n = 5$ bei den meisten Kommandos dieselben Ergebnisse. Für deutliche Abweichungen muss n wesentlich größer sein.

```

> Digits:=16:
# A:=band([-1.0,2.0,-1.0],n);
A:=matrix(n,n,(i,j)->if i=j then 2.0
           elif abs(i-j)=1 then -1.0 else 0.0 end if):
...

```

$$\text{rank}(A) = 5$$

$$\text{det}(A) = 6.00000$$

$$\text{inv}(A) =$$

0.8333333333333335	0.6666666666666670	0.5000000000000000	0.3333333333333337	0.1666666666666667
0.6666666666666667	1.333333333333334	1.0000000000000000	0.6666666666666674	0.3333333333333334
0.5000000000000002	1.0000000000000001	1.5000000000000000	1.0000000000000001	0.5000000000000001
0.3333333333333334	0.6666666666666670	1.0000000000000000	1.333333333333334	0.6666666666666666
0.1666666666666667	0.3333333333333335	0.5000000000000001	0.6666666666666666	0.8333333333333333

$$\text{norm}(A, 2) = 3.732050807568877$$

$$\text{norm}(A, 1) = 4.0$$

$$\text{norm}(A) = \text{norm}(A, \text{infinity}) = 4.0$$

$$\text{norm}(A, \text{frobenius}) = 5.291502622129181$$

$$\text{norm}(\text{inv}A) = \text{norm}(\text{inv}A, \text{infinity}) = 4.5000000000000002$$

$$\text{cond}(A, 2) = 13.92820323027552$$

$$\text{cond}(A, 1) = 18.000000000000000$$

$$\text{cond}(A) = \text{cond}(A, \text{infinity}) = 18.000000000000001$$

$$\text{cond}(A, \text{frobenius}) = 20.73912030706971$$

Berechnung der EW (Informationen aus der Maple-Hilfe)

- **Eigenvals(A)** returns an array of the eigenvalues of A . The function **Eigenvals** itself is inert. To actually compute the eigenvalues and eigenvectors, the user must evaluate the inert function in the floating point domain, by **evalf(Eigenvals(A))**.
- The call **eigenvalues(A)** returns for a symbolic case a sequence of the eigenvalues of A computed by solving the characteristic polynomial $\det(\lambda I - A) = 0$ or for larger dimension (greater than four) the eigenvalues are expressed using Maple's **RootOf** notation for algebraic extensions. If A contains floating-point numbers, a numerical method is used where all arithmetic is done at the precision specified by **Digits**.

```
> A:=matrix(n,n,(i,j)->if i=j then 2
                        elif abs(i-j)=1 then -1 else 0 end if);
> charpoly(A,lambda);
Eigenvals(A);
evalf(Eigenvals(A));
eigenvals(A);
evalf(eigenvals(A));
```

$$\lambda^5 - 10\lambda^4 + 36\lambda^3 - 56\lambda^2 + 35\lambda - 6$$

$$\text{Eigenvals} \left(\begin{pmatrix} 2 & -1 & 0 & 0 & 0 \\ -1 & 2 & -1 & 0 & 0 \\ 0 & -1 & 2 & -1 & 0 \\ 0 & 0 & -1 & 2 & -1 \\ 0 & 0 & 0 & -1 & 2 \end{pmatrix} \right)$$

```
[0.2679491924311242, 1.0000000000000001, 2.0000000000000000, 3.0000000000000000,
3.732050807568877]
```

1, 2, 3, $2 + \sqrt{3}$, $2 - \sqrt{3}$

1., 2., 3., 3.732050807568877, 0.267949192431123

Prozedur für die Berechnung der Spektralnorm über EW von AA^T bzw. $A^T A$

```
> norm2:=proc(A::matrix)
  local n,i,B,EVB,seq_EVB;
  B:=evalm(A&*transpose(A));
  n:=linalg[rowdim](B);
  EVB:=evalf(Eigenvals(B));
  seq_EVB:=seq(EVB[i],i=1..n);
  sqrt(max(seq_EVB));
end:

> norm2(A);
evalf(norm(A,2)); # =norm2(A)
```

3.732050807568877

3.732050807568877

Die Kondition der Tridiagonalmatrix A ist abhängig von ihrer Dimension n und verschlechtert sich langsam mit wachsendem n .

Spektrale Kondition der Tridiagonalmatrix

Rechnet man "symbolisch", dann dauern die damit verbundenen exakten Berechnungen sehr lange. Erst bei der Bestimmung von `erg` schleichen sich in der letzten Mantissenstelle wegen `Digits=...` dann kleine Rundungsfehler ein.

```
> Digits:=16:
i:='i': j:='j':
printf(' n          cond(T(n,n))\n'):
for n from 1 by 10 to 101 do
  A:=matrix(n,n,(i,j)->if i=j then 2
              elif abs(i-j)=1 then -1 else 0 end if):
  erg:=evalf(norm(A,2)*norm(inverse(A),2));
  printf('%2d    %.15e  \n',n,erg);
end do:

n          cond(T(n,n))
1          1.000000000000000 e+00
11         5.76954805409810 3e+01
21         1.954914850025216 e+02
31         4.143450622319016 e+02
41         7.14255698384607 3e+02
51         1.09522331645103 2e+03
61         1.557247895814529 e+03
71         2.100329429074228 e+03
81         2.724467913042699 e+03
91         3.429663346163696 e+03
101        4.21591572760405 2e+03
```

Bei numerischer Rechnung mit `A:=band([-1.0,2.0,-1.0],n)`; gibt es mit wachsendem n zunehmende Abweichungen. Außerdem ist im untersuchten Bereich der Dimension n das monotone Verhalten der Folge der Konditionswerte zu erkennen.

Die exakten Werte lassen sich am schnellsten mittels numerischer Rechnung bei großer Genauigkeit, z. B. mit `Digits=20`, ermitteln.

In der ersten Spalte der Tabelle ist die Vergrößerung der Anzahl der ungenauen letzten Mantissenstellen, wenn möglich, durch einen Abstand in der Ziffernfolge der Zahl deutlich gemacht.

n	cond(T(n,n))	cond(T(n,n)) exakt
1	1.000000000000000 e+00	1.000000000000000e+00
11	5.76954805409810 3e+01	5.769548054098104e+01
21	1.95491485002521 3e+02	1.954914850025216e+02
31	4.1434506223190 04e+02	4.143450622319016e+02
41	7.1425569838460 35e+02	7.142556983846071e+02
51	1.09522331645103 0e+03	1.095223316451031e+03
61	1.5572478958145 39e+03	1.557247895814529e+03
71	2.1003294290742 47e+03	2.100329429074228e+03
81	2.724467913042 727e+03	2.724467913042699e+03
91	3.429663346163 766e+03	3.429663346163696e+03
101	4.215915727604 155e+03	4.215915727604050e+03

Um hier Maple mit MATLAB zu vergleichen, muss man natürlich seine numerische Rechnung verwenden. Wir betrachten die Durchführung des VGA für die Ermittlung der Inversen und die Berechnung der Determinanten $\det(A)$, $\det(A^{-1})$ bei wachsender Dimension n . Dabei kann die Pivotstrategie mit den Diagonalelementen arbeiten (Diagonalstrategie). Zu Grunde liegen Rechnungen in MATLAB (*double* Präzision) und Maple.

Generell wird sich bei numerischen Rechnungen die Anzahl der genauen Stellen im Ergebnis proportional zur wachsenden Dimension n langsam verringern.

Es werden Vergleiche mit der exakten Auswertung in Maple gemacht.

Die Konditionszahl $\text{cond}_\infty(A)$ kann aus der folgenden Tabelle ermittelt werden.

Programm	n	11	21	31	41	51
Maple Digits=15	$\det(A)$	12.0000000000000	21.9999999999986	31.9999999999955	41.9999999999912	51.9999999999826
	$\det(A^{-1})$ (a)	0.083333333333288	0.0454545454545470	0.031249999999926	0.0238095238095227	0.0192307692307882
	(b)	0.083333333333352	0.0454545454545418	0.031249999999965	0.0238095238095173	0.0192307692307561
	$\ A\ _\infty$	4.0	4.0	4.0	4.0	4.0
	$\ A^{-1}\ _\infty$ (a)	18.0000000000000	60.5000000000034	128.000000000011	220.500000000033	338.000000000067
(b)	18.0000000000000	60.5000000000000	128.000000000000	220.500000000000	338.000000000000	
Maple Digits=16	$\det(A)$	12.0000000000000	22.0000000000006	32.0000000000016	42.0000000000022	51.9999999999987
	$\det(A^{-1})$ (a)	0.083333333333335	0.045454545454568	0.0312499999999873	0.02380952380952362	0.01923076923077214
	(b)	0.083333333333390	0.045454545454549	0.031249999999919	0.02380952380952377	0.01923076923077064
	$\ A\ _\infty$	4.0	4.0	4.0	4.0	4.0
	$\ A^{-1}\ _\infty$ (a)	18.0000000000000	60.4999999999992	127.999999999996	220.499999999988	337.999999999994
(b)	18.0000000000000	60.5000000000000	128.000000000000	220.500000000000	338.000000000000	
Maple Digits=17	$\det(A)$	12.0000000000000	21.9999999999992	31.9999999999973	41.9999999999964	51.9999999999990
	$\det(A^{-1})$ (a)	0.0833333333333372	0.0454545454545477	0.03125000000000042	0.023809523809523798	0.019230769230768982
	(b)	0.0833333333333343	0.0454545454545476	0.03125000000000037	0.023809523809523707	0.019230769230769435
	$\ A\ _\infty$	4.0	4.0	4.0	4.0	4.0
	$\ A^{-1}\ _\infty$ (a)	17.9999999999999	60.50000000000024	128.0000000000007	220.5000000000014	338.0000000000010
(b)	18.0000000000000	60.5000000000000	128.0000000000000	220.5000000000000	338.0000000000000	
Maple exakt	$\det(A)$	12	22	32	42	52
	$\det(A^{-1})$	$\frac{1}{12}=0.0833\dots$	$\frac{1}{22}=0.04545\dots$	$\frac{1}{32}=0.03125$	$\frac{1}{42}=0.0238095238095\dots$	$\frac{1}{52}=0.01923076923076\dots$
	$\ A\ _\infty$	4	4	4	4	4
	$\ A^{-1}\ _\infty$	18	60.5	128	220.5	338
MATLAB <i>double</i>	$\det(A)$	12	22	32	42	52
	$\det(A^{-1})$ (a)	0.083333333333333	0.04545454545455	0.031250000000000	0.02380952380952	0.01923076923077
	$\ A\ _\infty$	4	4	4	4	4
	$\ A^{-1}\ _\infty$ (a)	18	60.5000000000000	127.999999999997	220.499999999986	337.999999999973
	(b)	18.0000000000001	60.5000000000013	128.000000000005	220.500000000011	338.000000000013

Tab. 3.1 Berechnungen für die Tridiagonalmatrix mit Maple und MATLAB, wobei die Inverse numerisch berechnet wird und zur Ermittlung der Inversen 2 Varianten genommen werden

Maple

(a) `inverse(A)`

(b) `linsolve(A,I)`

MATLAB

(a) `inv(A)`

(b) `A\I`

Die Determinantenberechnung $\det(A^{-1})$ mit MATLAB-Variante (b) hat das gleiche Ergebnis wie bei Variante (a).

MATLAB (Datei *matr_trid1.m*) liefert in den meisten unserer Fälle etwas bessere Ergebnisse als Maple bei `Digits=16` und `inverse(A)`, aber ist schon ungenauer als Maple bei `Digits=16` und `linsolve(A,I)`. Es kann nicht ganz konkurrieren mit Maple bei `Digits=17`. Maple bei `Digits=15` zeigt schon größere Ungenauigkeiten.

Betreffend der Variantenwahl bei der Inversen in Maple ist die Variante mit `linsolve(A,I)` etwas genauer als `inverse(A)`.

Bezüglich der Variantenwahl bei der Matrixinversen in MATLAB, die hier in der Normberechnung enthalten ist, gibt es keinen endgültigen Aufschluss über Vorteile/Nachteile, denn für unterschiedliche Dimensionen n scheint mal `inv(A)`, mal `A\I` günstiger zu sein.

3.5 Matrix 5

Sei $A = A(n, n) = (a_{ij})$ die Hilbert-Matrix. Ihre Elemente sind

$$a_{ij} = \frac{1}{i+j-1}.$$

Sie ist spd. Ihre Inverse $A^{-1} = (a'_{ij})$ hat die ganzzahligen Elemente

$$a'_{ij} = \frac{(-1)^{i+j}}{i+j-1} \gamma_i \gamma_j, \quad \gamma_i = \frac{(n+i-1)!}{(i-1)!^2 (n-i)!}, \quad i, j = 1, 2, \dots, n.$$

Für $n = 5$ erhält man

$$A = \begin{pmatrix} 1 & \frac{1}{2} & \frac{1}{3} & \frac{1}{4} & \frac{1}{5} \\ \frac{1}{2} & \frac{1}{3} & \frac{1}{4} & \frac{1}{5} & \frac{1}{6} \\ \frac{1}{3} & \frac{1}{4} & \frac{1}{5} & \frac{1}{6} & \frac{1}{7} \\ \frac{1}{4} & \frac{1}{5} & \frac{1}{6} & \frac{1}{7} & \frac{1}{8} \\ \frac{1}{5} & \frac{1}{6} & \frac{1}{7} & \frac{1}{8} & \frac{1}{9} \end{pmatrix},$$

$$A^{-1} = \begin{pmatrix} 25 & -300 & 1\,050 & -1\,400 & 630 \\ -300 & 4\,800 & -18\,900 & 26\,880 & -12\,600 \\ 1\,050 & -18\,900 & 79\,380 & -117\,600 & 56\,700 \\ -1\,400 & 26\,880 & -117\,600 & 179\,200 & -88\,200 \\ 630 & -12\,600 & 56\,700 & -88\,200 & 44\,100 \end{pmatrix}.$$

Rechnungen für die Hilbert-Matrix in Maple

Determinante, Inverse, Norm, Kondition und EW/EV (Datei `matr_hilb1.mws`)

```
> Digits:=16:
i:='i': j:='j':
n:=5:
A:=matrix(n,n,(i,j)->1/(i+j-1)): # hilbert(n)
'A:=evalm(A);
'rank(A)'=rank(A);
'det(A)'=det(A);
'inv(A)'=inverse(A);

# Normen
'norm(A,2)'=norm(A,2); # Spektralnorm
evalf(%);
'norm(A,1)'=norm(A,1); # Spaltensummennorm
evalf(%);
'norm(A)=norm(A,infinity)'=norm(A); # Zeilensummennorm = SSN
evalf(%);
'norm(A,frobenius)'=norm(A,frobenius); # Frobenius-Norm
evalf(%);
'norm(invA)=norm(invA,infinity)'=norm(invA); # Zeilensummennorm
```

```
evalf(%);
```

```
# Konditionen dazu, auch Kommando cond(A,*)
'cond(A,2)'=evalf(norm(A,2)*norm(inverse(A),2));
'cond(A,1)'=evalf(norm(A,1)*norm(inverse(A),1));
'cond(A)=cond(A,infinity)'=evalf(norm(A)*norm(inverse(A)));
'cond(A,frobenius)'=evalf(norm(A,frobenius)*norm(inverse(A),frobenius));
```

$$A = \begin{bmatrix} 1 & \frac{1}{2} & \frac{1}{3} & \frac{1}{4} & \frac{1}{5} \\ \frac{1}{2} & \frac{1}{3} & \frac{1}{4} & \frac{1}{5} & \frac{1}{6} \\ \frac{1}{3} & \frac{1}{4} & \frac{1}{5} & \frac{1}{6} & \frac{1}{7} \\ \frac{1}{4} & \frac{1}{5} & \frac{1}{6} & \frac{1}{7} & \frac{1}{8} \\ \frac{1}{5} & \frac{1}{6} & \frac{1}{7} & \frac{1}{8} & \frac{1}{9} \end{bmatrix}$$

$$\text{rank}(A) = 5$$

$$\det(A) = \frac{1}{266716800000}$$

$$\text{inv}(A) = \begin{bmatrix} 25 & -300 & 1050 & -1400 & 630 \\ -300 & 4800 & -18900 & 26880 & -12600 \\ 1050 & -18900 & 79380 & -117600 & 56700 \\ -1400 & 26880 & -117600 & 179200 & -88200 \\ 630 & -12600 & 56700 & -88200 & 44100 \end{bmatrix}$$

$$\text{norm}(A, 2) =$$

$$\frac{1}{5} \text{RootOf}(-1 + 3700542505 _Z - 1582832489513760 _Z^2 + 487666609069973760 _Z^3 - 455148325561466880 _Z^4 + 7284515983589376 _Z^5, \text{index} = 5)^{1/2}$$

$$\text{norm}(A, 2) = 1.567050691098231$$

$$\text{norm}(A, 1) = \frac{137}{60}$$

$$\text{norm}(A, 1) = 2.2833333333333333$$

$$\text{norm}(A) = \text{norm}(A, \text{infinity}) = \frac{137}{60}$$

$$\text{norm}(A) = \text{norm}(A, \text{infinity}) = 2.2833333333333333$$

$$\text{norm}(A, \text{frobenius}) = \frac{\sqrt{15871330}}{2520}$$

$$\text{norm}(A, \text{frobenius}) = 1.580906263272022$$

$$\text{norm}(\text{inv}A) = \text{norm}(\text{inv}A, \text{infinity}) = 413280$$

$$\text{norm}(\text{inv}A) = \text{norm}(\text{inv}A, \text{infinity}) = 413280.$$

$$\text{cond}(A, 2) = 476607.2502425608$$

$$\text{cond}(A, 1) = 943656.$$

$$\text{cond}(A) = \text{cond}(A, \text{infinity}) = 943656.$$

$$\text{cond}(A, \text{frobenius}) = 480849.1169947188$$

Bei numerischer Rechnung erhalten wir für diese kleine Matrixdimension 5 nur bei einigen Kommandos abweichende Ergebnisse.

```
> Digits:=16:
  A:=matrix(n,n,(i,j)->1.0/(i+j-1)):          # hilbert(n)
  ...
                                rank(A) = 5
                                det(A) = 0.37492951261350 10-1
                                inv(A) =
[ 25.00000000002770  -300.0000000003670  1050.000000001230  -1400.000000001490  630.0000000006000
 -300.0000000003569   4800.000000003932  -18900.00000001032   26880.00000000898  -12600.00000000208
 1050.000000001140  -18900.00000000969   79380.00000001349  -117599.999999923   56699.9999998649
 -1400.000000001326  26880.00000000740  -117599.999999896   179199.999999424  -88199.9999995733
 630.0000000005108  -12600.00000000110   56699.9999998421  -88199.9999995584  44099.9999997138 ]
                                norm(A, 2) = 1.567050691098230
                                norm(A, 1) = 2.283333333333333
                                norm(A) = norm(A, infinity) = 2.283333333333333
                                norm(A, frobenius) = 1.580906263272022
                                norm(invA) = norm(invA, infinity) = 413279.9999998980
                                cond(A, 2) = 476607.2502424522
                                cond(A, 1) = 943655.9999997738
                                cond(A) = cond(A, infinity) = 943655.9999997670
                                cond(A, frobenius) = 480849.1169946093
```

Berechnung der EW

```
> charpoly(A,lambda);
  Eigenvals(A);
  evalf(Eigenvals(A));
  eigenvals(A);
  evalf(eigenvals(A));
```

$$\lambda^5 - \frac{563}{315} \lambda^4 + \frac{735781}{2116800} \lambda^3 - \frac{852401}{222264000} \lambda^2 + \frac{61501}{53343360000} \lambda - \frac{1}{26671680000}$$

Eigenvals $\left(\begin{bmatrix} 1 & \frac{1}{2} & \frac{1}{3} & \frac{1}{4} & \frac{1}{5} \\ \frac{1}{2} & \frac{1}{3} & \frac{1}{4} & \frac{1}{5} & \frac{1}{6} \\ \frac{1}{3} & \frac{1}{4} & \frac{1}{5} & \frac{1}{6} & \frac{1}{7} \\ \frac{1}{4} & \frac{1}{5} & \frac{1}{6} & \frac{1}{7} & \frac{1}{8} \\ \frac{1}{5} & \frac{1}{6} & \frac{1}{7} & \frac{1}{8} & \frac{1}{9} \end{bmatrix} \right)$

[0.3287928771915000 10⁻⁵, 0.0003058980401511738, 0.01140749162341977,
0.2085342186110133, 1.567050691098231]

```
%1 := -1 + 61501 _Z - 40915248 _Z2 + 741667248 _Z3 - 762725376 _Z4 + 85349376 _Z5
  1/5 RootOf(%1, index = 1), 1/5 RootOf(%1, index = 2), 1/5 RootOf(%1, index = 3),
```

$$\frac{1}{5} \text{RootOf}(\%1, \text{index} = 4), \frac{1}{5} \text{RootOf}(\%1, \text{index} = 5)$$

0.3287928772171862 10⁻⁵, 0.0003058980401511918, 0.01140749162341981,
0.2085342186110134, 1.567050691098231

Verwendung der Prozedur `norm2` für die Berechnung der Spektralnorm über EW von AA^T bzw. $A^T A$ wie bei Matrix 4

```
> norm2(A);
  evalf(norm(A,2)); # geringfuegig genauer
                        1.567050691098230
                        1.567050691098231
```

Die Kondition der Hilbert-Matrix A ist abhängig von ihrer Dimension n und verschlechtert sich mit wachsendem n .

Spektrale Kondition der Hilbert-Matrix

Rechnet man “symbolisch“, dann dauern die damit verbundenen exakten Berechnungen sehr lange. Erst bei der Bestimmung von `erg` schleichen sich in der letzten Mantissenstelle wegen `Digits=...` dann Rundungsfehler ein. Dabei ist nicht jeder Rundungseffekt plausibel, denn in der folgenden Tabelle hätte man bei $n = 7$ eigentlich den Wert $4.753673549881790\text{e}+08$ erwartet.

```
> Digits:=16:
  i:='i': j:='j':
  printf(' n          cond(H(n,n))\n'):
  for n from 1 to 19 do
    A:=matrix(n,n,(i,j)->1/(i+j-1)):
    erg:=evalf(norm(A,2)*norm(inverse(A),2));
    printf('%2d    %.15e  \n',n,erg);
  end do:
```

n	cond(H(n,n))	Rundungseffekt
1	1.0000000000000000 e+00	
2	1.928147006790397 e+01	
3	5.24056777586060 8e+02	
4	1.55137387389325 9e+04	<- 1.551373873893258 5328...e+04
5	4.766072502425608 e+05	
6	1.495105864013122 e+07	
7	4.75367354988178 9e+08	<- 4.753673549881789 7237...e+08
8	1.525757574164694 e+10	
9	4.93154926971542 1e+11	
10	1.602628687021688 e+13	
11	5.23067739242940 9e+14	
12	1.71322890469700 5e+16	
13	5.627942373760076 e+17	
14	1.85338170234715 0e+19	
15	6.11656579161984 1e+20	
16	2.02234591767453 0e+22	
17	6.69743898056063 1e+23	
18	2.22119003943386 5e+25	
19	7.37595118050884 2e+26	

Bei numerischer Rechnung mit $A := \text{matrix}(n, n, (i, j) \rightarrow 1.0 / (i + j - 1))$ gibt es mit wachsendem n deutliche Abweichungen. Außerdem ist das monotone Verhalten der Folge der Konditionswerte verletzt.

Die exakten Werte lassen sich am schnellsten mittels numerischer Rechnung bei sehr großer Genauigkeit, z. B. mit `Digits=50`, ermitteln.

In der ersten Spalte der Tabelle ist die Vergrößerung der Anzahl der ungenauen letzten Mantissenstellen, wenn möglich, durch einen Abstand in der Ziffernfolge der Zahl deutlich gemacht.

n	cond(H(n,n))	cond(H(n,n)) exakt
1	1.0000000000000000 e+00	1.0000000000000000e+00
2	1.928147006790397 e+01	1.928147006790397e+01
3	5.240567775860 722e+02	5.240567775860607e+02
4	1.5513738738 84959e+04	1.551373873893258e+04
5	4.76607250242 4522e+05	4.766072502425608e+05
6	1.49510586 3908718e+07	1.495105864013122e+07
7	4.7536735 58150294e+08	4.753673549881790e+08
8	1.52575757 2620145e+10	1.525757574164694e+10
9	4.93155 0264460760e+11	4.931549269715423e+11
10	1.6026 48177259556e+13	1.602628687021688e+13
11	5.230 219007896473e+14	5.230677392429410e+14
12	1. 697041441020638e+16	1.713228904697006e+16
13	4. 650924592519341e+17	5.627942373760076e+17
14	8. 552342219037117e+17	1.853381702347149e+19
15	9. 092568079649491e+17	6.116565791619842e+20
16	5. 439364263014374e+17	2.022345917674529e+22
17	4. 877383693269593e+18	6.697438980560632e+23
18	2. 918211913751011e+18	2.221190039433866e+25
19	2. 928278176299190e+18	7.375951180508844e+26

Um hier Maple mit MATLAB (Datei `matr_hilb1.m`) oder TP zu vergleichen, muss man natürlich seine numerische Rechnung verwenden.

Wir betrachten die Durchführung des verketteten Gauß-Algorithmus (VGA) mit Spaltenpivotisierung für die Ermittlung der näherungsweise Inversen \tilde{A}^{-1} und der Determinante $\det(A)$ bei wachsender Dimension n . Dabei tendieren die Pivotelemente gegen Null.

Zu Grunde liegen Implementierungen in TP mit den GPF `double` (64 Binärstellen, 15–16 Dezimalstellen der Mantisse) und `extended` (80 Binärstellen, 19–20 Dezimalstellen der Mantisse) sowie Rechnungen in MATLAB (`double` Präzision) und Maple.

Generell wird sich bei numerischen Rechnungen die Anzahl der genauen Stellen im Ergebnis proportional zur wachsenden Dimension n verringern.

So ist z. B. bei der Berechnung von $\det(A)$ mit TP `double` Präzision bei $n = 13$ höchsten noch die Größenordnung des Wertes verlässlich, bei $n = 16$ nicht einmal diese, was der Vergleich mit der exakten Auswertung in Maple zeigt.

Die Konditionszahl $\text{cond}_\infty(A)$ kann aus den folgenden Tabellen ermittelt werden.

Programm	n	7	10	13	16	19
TP <i>double</i>	$\det(A)$	4.836E-25	2.164E-53	2.616E-92	1.843E-135	-3.854E-180
	$\ A\ _\infty$	2.593	2.929	3.180	3.381	3.548
	$\ A^{-1}\ _\infty$	3.800E+8	1.207E+13	2.303E+17	5.724E+17	5.889E+17
TP <i>extended</i>	$\det(A)$	4.836E-25	2.164E-53	1.444E-92	-3.193E-141	1.050E-192
	$\ A\ _\infty$	2.593	2.929	3.180	3.381	3.548
	$\ A^{-1}\ _\infty$	3.800E+8	1.207E+13	4.161E+17	7.324E+20	7.494E+20
MATLAB <i>double</i>	$\det(A)$	4.836E-25	2.164E-53	4.448E-92	2.424E-135	-2.232E-180
	$\det(A^{-1})$ (a)	2.068E+24	4.620E+52	2.519E+91	4.257E+134	-1.100E+180
	$\ A\ _\infty$	2.593	2.929	3.180	3.381	3.548
	$\ A^{-1}\ _\infty$ (a)	3.800E+8	1.207E+13	1.345E+17	6.838E+17	1.942E+18
	(b)	3.800E+8	1.207E+13	3.876E+18	6.838E+17	1.942E+18

Tab. 3.2 Berechnungen für die Hilbert-Matrix mit TP und MATLAB, wobei die Inverse numerisch berechnet wird und bei MATLAB 2 Varianten der Ermittlung der Inversen genommen werden
(a) `inv(A)` (ab $n \geq 12$ mit Warnungen),
(b) `A\I`

Für die Dimensionen $n = 16$ und 19 sind die Berechnungen der Determinante und Kondition der Matrix A in TP bzw. MATLAB mit der vorliegenden GPA nicht vertretbar.

Bei MATLAB erkennt man noch eine besondere Situation für $n = 13$.

Deshalb soll die Zeilensummennorm der inversen Matrix in dieser Umgebung noch betrachtet werden.

n	11	12	13	14	15	16
$\ A^{-1}\ _\infty$ (a)	4.074E+14	1.224E+16	1.345E+17	1.833E+18	2.420E+17	6.838E+17
(b)	4.084E+14	1.311E+16	3.876E+18	1.833E+18	2.420E+17	6.838E+17
(c)	4.085E+14	1.326E+16	4.165E+17	1.396E+19	4.639E+20	1.498E+22
exakt	4.085E+14	1.326E+16	4.165E+17	1.396E+19	4.639E+20	1.498E+22

Tab. 3.3 Zeilensummennorm für die inverse Hilbert-Matrix mit MATLAB, wobei
(a) `inv(A)` (ab $n \geq 12$ mit Warnungen)
(b) `A\I`
(c) `invhilb(n)`

Gemäß MATLAB-Hilfe erzeugt das Kommando `invhilb(n)` die exakte ganzzahlige inverse Hilbert-Matrix bis zur Dimension ungefähr $n = 15$. Rechnungen ergeben, dass die Auswertung der ∞ -Norm der Näherungsinversen \tilde{A}^{-1} gemäß `invhilb(n)` auch noch für die nächsten Werte n sehr gut ist.

Man sollte jedoch hier bei der Verwendung von `invhilb(n)` nicht einer Illusion unterliegen. Für $n = 11$ enthält $\tilde{A}^{-1} = (a'_{ij}) = \text{invhilb}(n)$ ganzzahlige Elemente (Zahlenwerte) mit maximal 15-stelliger Mantisse. Diese Zahlen sind im *double*-Format noch richtig erfassbar. Aber für $n = 15$ ist die Mantisse schon 20-stellig, obwohl die letzten Dezimalstellen Nullen sind. So ist bei $\tilde{A}^{-1}(15, 15)$ das Element $a'_{11,11} = 11\,470\,898\,792\,429\,076\,000$, es sind also 17 signifikante Mantissenstellen. Sobald also mit solchen Matrizen weitere numerische Rechnungen erfolgen, z. B. Determinantenberechnung, Multiplikation mit Matrix oder Vektor, werden natürlich Rundungsfehler und Genauigkeitsprobleme auftreten.

Im nächsten Kapitel werden diese Aspekte nochmal untersucht.

Programm	n	7	10	13
Maple Digits=15	$\det(A)$	4.835802 52616001E-25	2.16 675736755201E-53	-5.87256512146775E-91
	$\det(A^{-1})$ (a)	2.067909 12288620E+24	4.6 1629649910000E+52	-2.40645333085835E+90
	(b)	2.067909 29297571E+24	4.6 1520203510628E+52	4.34941183746083E+90
	$\ A\ _\infty$	2.59285714285714	2.92896825396825	3.18013375513375
	$\ A^{-1}\ _\infty$ (a)	3.7996497 7713027E+8	1.20 572705449516E+13	1.25046677424904e17E+16
(b)	3.7996497 9984073E+8	1.20 667670830567E+13	2.10900728593740e17E+16	
Maple Digits=16	$\det(A)$	4.835802615694910E-25	2.1641 53786793289E-53	1. 760285512154180E-92
	$\det(A^{-1})$ (a)	2.0679090 55655154E+24	4.62 1756491407878E+52	7.581245893324645E+91
	(b)	2.06790904 1363235E+24	4.62 2105554445228E+52	-6.441938922422012E+91
	$\ A\ _\infty$	2.59285714285714 3	2.928968253968254	3.180133755133755
	$\ A^{-1}\ _\infty$ (a)	3.79964970 6587486E+8	1.2071 78345000572E+13	3.438677627898522E+17
(b)	3.7996497000 70217E+8	1.2071 52634107370E+13	3.925461294783808E+17	
Maple Digits=17	$\det(A)$	4.8358026223374353E-25	2.164 2025787149194E-53	1. 7641442571635657E-92
	$\det(A^{-1})$ (a)	2.06790904 84893457E+24	4.6206 006842351238E+52	6. 4274780121754340E+91
	(b)	2.067909047 0725904E+24	4.620 5755764020611E+52	1.0428968398910485E+92
	$\ A\ _\infty$	2.592857142857142 9	2.9289682539682540	3.1801337551337551
	$\ A^{-1}\ _\infty$ (a)	3.79964970 12524995E+8	1.2071 506035957616E+13	3.4105050502292530E+17
(b)	3.799649700 5554529E+8	1.20716 46123663961E+13	4. 8120354053904484E+17	
Maple exakt	$\det(A)$	4.8358026239261169E-25	2.1641792264314919E-53	1.4428965187911365E-92
	$\det(A^{-1})$	2.0679090479257706496E+24	4.6206893947914691E+52	6.93050393411130527E+91
	$\ A\ _\infty$	$\frac{363}{140} = 2.59285714285714\dots$	$\frac{7381}{2520} = 2.928968253968253\dots$	$\frac{1145993}{360360} = 3.180133755133755\dots$
	$\ A^{-1}\ _\infty$	379964970	1.207163621664E+13	4.1646330343706088E+17
MATLAB <i>double</i>	$\det(A)$	4.8358026 08198562E-25	2.164 405264621389E-53	4.448044215086199E-92
	$\det(A^{-1})$ (a)	2.0679090 52374171E+24	4.620 187171197534E+52	2.518875103143657E+91
	(b)	2.0679090 53818976E+24	4.620 759775107971E+52	-5.439678636373364E+93
	(c)	2.06790904 8252736E+24	4.6206893 67315927E+52	-1.032669986022261E+91
	$\ A\ _\infty$	2.59285714285714	2.92896825396825	3.18013375513376
	$\ A^{-1}\ _\infty$ (a)	3.7996497 12418148E+8	1.207 036795494732E+13	1.344582864279075E+17
	(b)	3.7996497 19219860E+8	1.207 201456347934E+13	3.875544667200439E+18
	(c)	379964970	1.207163621664000E+13	4.164633034370609E+17

Programm	n	16	19
Maple Digits=15	$\det(A)$	1.190E-132	-5.405E-174
	$\det(A^{-1})$ (a)	3.237E+132	-1.058E+174
	(b)	-1.395E+133	1.259E+173
	$\ A\ _\infty$	3.38072899322899	3.54773965714368
	$\ A^{-1}\ _\infty$ (a)	4.213E+17	6.647E+16
(b)	8.005E+17	3.434E+16	
Maple Digits=16	$\det(A)$	7.111E-135	2.230E-179
	$\det(A^{-1})$ (a)	2.189E+134	-5.356E+179
	(b)	2.642E+134	-1.075E+178
	$\ A\ _\infty$	3.380728993228993	3.547739657143682
	$\ A^{-1}\ _\infty$ (a)	4.307E+17	2.778E+18
(b)	3.346E+17	4.466E+17	
Maple Digits=17	$\det(A)$	-1.368E-136	-1.306E-183
	$\det(A^{-1})$ (a)	-2.584E+134	-3.487E+183
	(b)	-1.052E+137	-5.373E+183
	$\ A\ _\infty$	3.3807289932289932	3.5477396571436819
	$\ A^{-1}\ _\infty$ (a)	1.129E+18	5.515E+18
(b)	2.879E+18	1.267E+19	
Maple exakt	$\det(A)$	1.419E-142	2.049E-203
	$\det(A^{-1})$	7.047E+141	4.880E+202
	$\ A\ _\infty$	$\frac{2436559}{720720} = 3.3807289932289932\dots$	$\frac{275295799}{77597520} = 3.5477396571436$
	$\ A^{-1}\ _\infty$	1.49753937616655164884E+22	5.428161213438534455207232E+26
MATLAB <i>double</i>	$\det(A)$	2.424E-135	-2.232E-180
	$\det(A^{-1})$ (a)	4.257E+134	-1.100E+180
	(b)	5.575E+134	1.229E+180
	(c)	-5.240E+148	1.401E+226
	$\ A\ _\infty$	3.38072899322899	3.54773965714368
	$\ A^{-1}\ _\infty$ (a)	6.838E+17	1.942E+18
	(b)	6.838E+17	1.942E+18
(c)	1.497539376166551E+22	5.428161213438534E+26	

Tab. 3.4 Berechnungen für die Hilbert-Matrix mit Maple und MATLAB, wobei die Inverse numerisch berechnet wird und zur Ermittlung der Inversen 2 Varianten genommen werden

Maple	MATLAB
(a) <code>inverse(A)</code>	<code>inv(A)</code>
(b) <code>linsolve(A,I)</code>	<code>A\I</code>
(c)	<code>invhilb(n)</code>

MATLAB liegt mit seiner Genauigkeit i. Allg. bei Maple mit `Digits=16,17`. Bei $n = 13$ liefert Maple mit `Digits=16,17` bessere Ergebnisse als MATLAB und TP mit dem GPF *double*. Für die Dimensionen $n = 16$ und 19 sind die Werte von Determinante und Kondition der Matrix A in MATLAB und Maple mit der vorliegenden Genauigkeit `Digits=...` nicht akzeptabel. Ausnahme sind die unproblematische Normberechnung $\|A\|_\infty$ sowie MATLAB mit der Normberechnung $\|A^{-1}\|_\infty$ in dem Fall, wo die Inverse mit der speziellen Variante `invhilb(A)` für die betrachteten Dimensionen n ermittelt wird.

3.6 Matrix 6

Gegeben sei die nicht symmetrische ganzzahlige Boothroyd/Dekker-Matrix $A(n, n) = (a_{ij})$ mit

$$a_{ij} = \binom{n+i-1}{i-1} \binom{n-1}{n-j} \frac{n}{i+j-1} = \frac{(n+i-1)!}{(n-j)!(i-1)!(j-1)!(i+j-1)}.$$

Es gilt $\det(A) = 1$ und ihre Inverse $A^{-1} = (a'_{ij})$ hat die Elemente

$$a'_{ij} = (-1)^{i+j} a_{ij}, \quad i, j = 1, 2, \dots, n.$$

Für $n = 5$ erhält man

$$A = \begin{pmatrix} 5 & 10 & 10 & 5 & 1 \\ 15 & 40 & 45 & 24 & 5 \\ 35 & 105 & 126 & 70 & 15 \\ 70 & 224 & 280 & 160 & 35 \\ 126 & 420 & 540 & 315 & 70 \end{pmatrix},$$

$$A^{-1} = \begin{pmatrix} 5 & -10 & 10 & -5 & 1 \\ -15 & 40 & -45 & 24 & -5 \\ 35 & -105 & 126 & -70 & 15 \\ -70 & 224 & -280 & 160 & -35 \\ 126 & -420 & 540 & -315 & 70 \end{pmatrix}.$$

Damit haben die Matrizen A und A^{-1} die gleichen Normen und Konditionen.

Rechnungen für die Boothroyd/Dekker-Matrix in Maple

Determinante, Inverse, Norm, Kondition und EW/EV (Datei *matr_booth1.mws*)

```
> Digits:=16:
i:='i': j:='j':
n:=5:
A:=matrix(n,n):
for i from 1 to n do
  for j from 1 to n do
    A[i,j]:=binomial(n+i-1,i-1)*binomial(n-1,n-j)*n/(i+j-1)
  end do:
end do:
# analog
for i from 1 to n do
  for j from 1 to n do
    A[i,j]:=(n+i-1)!/((n-j)!*(i-1)!*(j-1)!*(i+j-1));
  end do:
end do:
'A:=evalm(A);

'rank(A)'=rank(A);
'det(A)'=det(A);
'inv(A)'=inverse(A);
```

```

# Normen
'norm(A,2)'=norm(A,2); # Spektralnorm
evalf(%);
'norm(A,1)'=norm(A,1); # Spaltensummennorm
evalf(%):
'norm(A)=norm(A,infinity)'=norm(A); # Zeilensummennorm
evalf(%):
'norm(A,frobenius)'=norm(A,frobenius); # Frobenius-Norm
evalf(%);
'norm(invA)=norm(invA,infinity)'=norm(invA); # Zeilensummennorm, =norm(A)
evalf(%):

# Konditionen dazu, auch Kommando cond(A,*)
'cond(A,2)'=evalf(norm(A,2)*norm(inverse(A),2));
'cond(A,1)'=evalf(norm(A,1)*norm(inverse(A),1));
'cond(A)=cond(A,infinity)'=evalf(norm(A)*norm(inverse(A)));
'cond(A,frobenius)'=evalf(norm(A,frobenius)*norm(inverse(A),frobenius));

```

$$A = \begin{bmatrix} 5 & 10 & 10 & 5 & 1 \\ 15 & 40 & 45 & 24 & 5 \\ 35 & 105 & 126 & 70 & 15 \\ 70 & 224 & 280 & 160 & 35 \\ 126 & 420 & 540 & 315 & 70 \end{bmatrix}$$

$$\text{rank}(A) = 5$$

$$\det(A) = 1$$

$$\text{inv}(A) = \begin{bmatrix} 5 & -10 & 10 & -5 & 1 \\ -15 & 40 & -45 & 24 & -5 \\ 35 & -105 & 126 & -70 & 15 \\ -70 & 224 & -280 & 160 & -35 \\ 126 & -420 & 540 & -315 & 70 \end{bmatrix}$$

$$\text{norm}(A, 2) = \sqrt{\text{RootOf}(_Z^4 - 786254_Z^3 + 132041256_Z^2 - 786254_Z + 1, \text{index} = 4)}$$

$$\text{norm}(A, 2) = 886.6149259774036$$

$$\text{norm}(A, 1) = 1001$$

$$\text{norm}(A) = \text{norm}(A, \text{infinity}) = 1471$$

$$\text{norm}(A, \text{frobenius}) = \sqrt{786255}$$

$$\text{norm}(A, \text{frobenius}) = 886.7102119632998$$

$$\text{norm}(\text{inv}A) = \text{norm}(\text{inv}A, \text{infinity}) = 1471$$

$$\text{cond}(A, 2) = 786086.0269659169$$

$$\text{cond}(A, 1) = 1.002001 \cdot 10^6$$

$$\text{cond}(A) = \text{cond}(A, \text{infinity}) = 2.163841 \cdot 10^6$$

$$\text{cond}(A, \text{frobenius}) = 786255.$$

Bei numerischer Rechnung erhalten wir für diese kleine Matrixdimension 5 nur bei einigen Kommandos abweichende Ergebnisse.

```
> Digits:=16:
A:=matrix(n,n,(i,j)->binomial(n+i-1,i-1)*binomial(n-1,n-j)*n/(i+j-1.0)):
...
```

$$\text{rank}(A) = 5.$$

$$\det(A) = 1.00000000000000$$

$$\text{inv}(A) = \begin{bmatrix} 4.99999999991222 & -9.99999999973650 & 9.99999999967857 & -4.99999999982143 & 0.999999999961666 \\ -14.9999999996482 & 39.99999999989277 & -44.99999999986993 & 23.9999999992742 & -4.99999999984400 \\ 34.9999999990764 & -104.999999997175 & 125.999999996572 & -69.9999999980846 & 14.9999999995883 \\ -69.9999999980350 & 223.999999993973 & -279.999999992680 & 159.999999995907 & -34.9999999991200 \\ 125.999999996328 & -419.999999988712 & 539.999999986278 & -314.999999992324 & 69.9999999983490 \end{bmatrix}$$

$$\text{norm}(A, 2) = 886.6149259774036$$

$$\text{norm}(A, 1) = 1001.000000000000$$

$$\text{norm}(A) = \text{norm}(A, \text{infinity}) = 1471.000000000000$$

$$\text{norm}(A, \text{frobenius}) = 886.7102119632998$$

$$\text{norm}(\text{inv}A) = \text{norm}(\text{inv}A, \text{infinity}) = 1470.999999996199$$

$$\text{cond}(A, 2) = 786086.0269638766$$

$$\text{cond}(A, 1) = 1.002000999997388 \cdot 10^6$$

$$\text{cond}(A) = \text{cond}(A, \text{infinity}) = 2.163840999994409 \cdot 10^6$$

$$\text{cond}(A, \text{frobenius}) = 786254.9999979597$$

Berechnung der EW

```
> charpoly(A,lambda);
Eigenvals(A);
evalf(Eigenvals(A));
eigenvals(A);
evalf(eigenvals(A));
```

$$\lambda^5 - 401 \lambda^4 + 4498 \lambda^3 - 4498 \lambda^2 + 401 \lambda - 1$$

$$\text{Eigenvals} \left(\begin{bmatrix} 5 & 10 & 10 & 5 & 1 \\ 15 & 40 & 45 & 24 & 5 \\ 35 & 105 & 126 & 70 & 15 \\ 70 & 224 & 280 & 160 & 35 \\ 126 & 420 & 540 & 315 & 70 \end{bmatrix} \right)$$

$$[389.4809409975025, 10.42052704685171, 0.09596443591611827, 0.002567519728805225, 0.9999999999999948]$$

$$\%1 := 1 - 400 _Z + 4098 _Z^2 - 400 _Z^3 + _Z^4$$

$$1, \text{RootOf}(\%1, \text{index} = 1), \text{RootOf}(\%1, \text{index} = 2), \text{RootOf}(\%1, \text{index} = 3), \text{RootOf}(\%1, \text{index} = 4)$$

$$1., 0.002567519728793122, 0.09596443591613984, 10.42052704685168, 389.4809409975034$$

Verwendung der Prozedur `norm2` für die Berechnung der Spektralnorm über EW von AA^T bzw. $A^T A$ wie bei Matrix 4

```
> norm2(A);
  evalf(norm(A,2)); # =norm2(A)
                        886.6149259774036
                        886.6149259774036
```

Die Kondition der Boothroyd/Dekker-Matrix A ist abhängig von ihrer Dimension n und verschlechtert sich mit wachsendem n .

Spektrale Kondition der Boothroyd/Dekker-Matrix

Rechnet man "symbolisch", dann dauern die damit verbundenen exakten Berechnungen sehr lange. Erst bei der Bestimmung von `erg` können sich in der letzten Mantissenstelle wegen `Digits=...` dann Rundungsfehler einschleichen.

```
> Digits:=16:
  i:='i': j:='j':
  printf(' n          cond(B(n,n))\n'):
  for n from 1 to 19 do
    A:=matrix(n,n,(i,j)->binomial(n+i-1,i-1)*binomial(n-1,n-j)*n/(i+j-1)):
    erg:=evalf(norm(A,2)*norm(inverse(A),2));
    printf('%2d   %.15e  \n',n,erg);
  end do:
```

```
n          cond(B(n,n))
1   1.000000000000000 e+00
2   1.794427190999916 e+01
3   4.879979508110673 e+02
4   1.820120835388574 e+04
5   7.86086026965916 9e+05
6   3.687493479922402 e+07
7   1.825083259346978 e+09
8   9.38053920373871 0e+10
9   4.958529644288436 e+12
10  2.678482366677917 e+14
11  1.472028569123609 e+16
12  8.20445562727671 1e+17
13  4.62653872741545 3e+19
14  2.634780213053048 e+21
15  1.51319552059205 9e+23
16  8.75415555808713 9e+24
17  5.09684922102875 2e+26
18  2.984205687512471 e+28
19  1.755988370979872 e+30
```

Bei numerischer Rechnung mit

`A:=matrix(n,n,(i,j)->binomial(n+i-1,i-1)*binomial(n-1,n-j)*n/(i+j-1.0))` gibt es mit wachsendem n deutliche Abweichungen. Außerdem ist das monotone Verhalten der Folge der Konditionswerte verletzt.

Die “exakten“ Werte lassen sich am schnellsten mittels numerischer Rechnung bei sehr großer Genauigkeit, z. B. mit `Digits=50`, ermitteln.

In der ersten Spalte der Tabelle ist die Vergrößerung der Anzahl der ungenauen letzten Mantissenstellen wenn möglich durch einen Abstand in der Ziffernfolge der Zahl deutlich gemacht.

n	cond(B(n,n))	cond(B(n,n)) exakt
1	1.000000000000000 e+00	1.000000000000000e+00
2	1.794427190999916 e+01	1.794427190999916e+01
3	4.879979508110673 e+02	4.879979508110673e+02
4	1.820120835388574 e+04	1.820120835388574e+04
5	7.8608602696 38764e+05	7.860860269659167e+05
6	3.6874934799 59106e+07	3.687493479922402e+07
7	1.82508325 0143127e+09	1.825083259346978e+09
8	9.380539 469972827e+10	9.380539203738713e+10
9	4.95852 3200936041e+12	4.958529644288436e+12
10	2.678 095652210775e+14	2.678482366677917e+14
11	1.47 3006292412061e+16	1.472028569123609e+16
12	8. 064470412197736e+17	8.204455627276710e+17
13	8.709625000721411e+19	4.626538727415452e+19
14	7.586159929154813e+19	2.634780213053048e+21
15	1.258244856873877e+21	1.513195520592060e+23
16	7.176402631381276e+21	8.754155558087140e+24
17	2.296941780939168e+22	5.096849221028753e+26
18	2.581414396929671e+24	2.984205687512471e+28
19	1.068510051436661e+24	1.755988370979872e+30

Um hier Maple mit MATLAB (Datei `matr_booth1.m`) zu vergleichen, muss man natürlich seine numerische Rechnung verwenden.

Wir betrachten die Durchführung des VGA für die Ermittlung der näherungsweise Inversen und die Berechnung der Determinante $\det(A)$ bei wachsender Dimension n . Dabei tendieren die Pivotelemente gegen Null.

Zu Grunde liegen Rechnungen in MATLAB (*double* Präzision) und Maple.

Generell wird sich bei numerischen Rechnungen die Anzahl der genauen Stellen im Ergebnis proportional zur wachsenden Dimension n verringern.

Es werden Vergleiche mit der exakten Auswertung in Maple gemacht, wo $\det(A) = \det(A^{-1})$ und $\|A\|_\infty = \|A^{-1}\|_\infty$ gelten.

Die Konditionszahl $\text{cond}_\infty(A)$ kann aus der folgenden Tabelle ermittelt werden.

Programm	n	7	10	13	16	19
Maple Digits=15	$\det(A)$	0.999999968110124	0.999451798364661	13.6249626527649	-2.135E+09	-1.239E+28
	$\det(A^{-1})$	1.00000000613210	0.999823553678780	-0.390214525895609	6.575E-09	-6.640E-28
	$\ A\ _\infty$	78079.0000000000	32978945.0000000	14698053631.0000	6751535300609.00	316201982178099E+01
	$\ A^{-1}\ _\infty$	78079.0025978169	32996831.4933737	322091121.449972	2297564474.04069	814569492.655672
Maple Digits=16	$\det(A)$	1.000000004937126	1.000143016118538	0.5062992104024677	40691101.32298157	1.150E+22
	$\det(A^{-1})$	1.000000002234593	1.000126951225985	15.68557892921648	0.000000573313984	9.078E-20
	$\ A\ _\infty$	78079.0000000000	32978945.0000000	14698053631.0000	6751535300609.000	3162019821780991.
	$\ A^{-1}\ _\infty$	78078.99960363582	32974169.90492817	27596266698.34065	5334644304.537208	1757980846.178551
Maple Digits=17	$\det(A)$	0.9999999998589404	0.99998628433584601	1.0352910937271376	23937.890228639031	-4.055E+17
	$\det(A^{-1})$	0.99999999968326915	1.0000021360240729	0.8903001619462903	-0.001682451098551	-3.322E-18
	$\ A\ _\infty$	78079.0000000000	32978945.0000000	14698053631.00000	6751535300609.0000	3162019821780991.0
	$\ A^{-1}\ _\infty$	78079.000001153833	32979402.652158409	14227925264.680704	19901806328.728246	27121245287.204463
Maple exakt	$\det(A)$	1	1	1	1	1
	$\ A\ _\infty$	78079	32978945	14698053631	6751535300609	3162019821780991
MATLAB <i>double</i>	$\det(A)$	1	1	1.25863956768224	-9374031.375107423	-2.009E+23
	$\det(A^{-1})$ (a)	0.999999996020	0.99998266829921	-2.09883035095195	-0.000000875884472	-1.139E-23
	(b)	0.9999999945585	1.00001764482417	-0.14571991408237	0.000000473532539	-6.603E-24
	$\ A\ _\infty$	78079	32978945	14698053631.0000	6751535300609.000	3162019821780991
	$\ A^{-1}\ _\infty$ (a)	78078.99992812875	32978898.22200207	11521467855.98685	5869992038.349004	572977390.3903831
	(b)	78078.99992812873	32978898.22200207	11521467855.98685	5869992038.349005	572977390.3903831

Tab. 3.5 Berechnungen für die Boothroyd/Dekker-Matrix mit MATLAB und Maple, wobei die Inverse numerisch berechnet wird und bei MATLAB 2 Varianten der Ermittlung der Inversen genommen werden
 (a) $\text{inv}(A)$ (ab $n \geq 13$ mit Warnungen),
 (b) $A \setminus I$

Die Determinantenberechnung $\det(A^{-1})$ hat verschiedene Resultate mit den MATLAB-Varianten (a) und (b).

MATLAB liefert in den meisten unserer Fälle etwas bessere Ergebnisse als Maple bei **Digits=16**. Es kann nicht ganz konkurrieren mit Maple bei **Digits=17**. Mit Maple bei **Digits=15** werden die Rechnungen schon ungenauer und ab $n = 13$ unakzeptabel, genauso auch die anderen Programme ab $n = 16$. Grund ist die extrem schlechte Matrixkondition. Bezüglich der Variantenwahl $\text{inv}(A)$ oder $A \setminus I$ bei der Matrixinversen in MATLAB, die hier in der Normberechnung enthalten ist, gibt es keinen endgültigen Aufschluss über Vorteile/Nachteile in Abhängigkeit von der Dimensionen n .

Kapitel 4

Maple und MATLAB für spezielle Matrixeigenschaften

Wir betrachten die eingeführten Testmatrizen $A(n, n) = (a_{ij})$ aus dem Kapitel 3.

Um die Abhängigkeit der Ergebnisse von der Matrixdimension n zu untersuchen, werden wir uns auf die Matrizen 4, 5 und 6 beschränken.

Zu diesen Matrizen sind die exakten inversen Matrizen $A^{-1} = (a'_{ij})$ verfügbar, und natürlich mit den CAS auch die Näherungsinversen $\tilde{A}^{-1} = (\tilde{a}'_{ij})$. Dabei betrachten wir in MATLAB wiederum 2 bzw. 3 Varianten der Berechnung der Näherungsinversen gemäß `inv(A)` und `A\I` sowie im besonderen Fall `invhilb(n)`.

Wir interessieren uns insbesondere für die numerische Auswertung der folgenden Größen.

$$\begin{aligned} |a'_{kl}| &= \max_{i,j} |a'_{ij}|, \quad \max_{i,j} a'_{ij}, \\ |\tilde{a}'_{kl}| &= \max_{i,j} |\tilde{a}'_{ij}|, \quad \max_{i,j} \tilde{a}'_{ij}, \quad \tilde{a}'_{ij} = \mathcal{O}(), \\ AA^{-1}, \quad I - AA^{-1}, \quad \|I - AA^{-1}\|_F, \\ A\tilde{A}^{-1}, \quad I - A\tilde{A}^{-1}, \quad \|I - A\tilde{A}^{-1}\|_F, \\ |\tilde{a}'_{i_{max},j_{max}} - a'_{i_{max},j_{max}}| &= \max_{i,j} |\tilde{a}'_{ij} - a'_{ij}|. \end{aligned}$$

Der Ablauf in den Programmen mit MATLAB und Maple ist zu den drei Matrizen ziemlich ähnlich. Deshalb wird nur für die erste Tridiagonalmatrix der Programmcode angegeben. Kleine Unterschiede werden durch die Nutzung von CAS-spezifischen Kommandos erzeugt, wie z.B. den für Matrizen nützlichen MATLAB-Befehl `max` oder den in MATLAB möglichen Befehl `invhilb(n)` zur exakten Berechnung der inversen Hilbert-Matrix für kleine Matrixdimensionen.

Die Rechnungen enthalten zu Beginn noch Möglichkeiten der Matrixgenerierung und sind oft etwas umfangreicher. In den Tabellen kommt nur ein Teil der Ergebnisse zur Auswertung.

4.1 Matrix 4

Spd Tridiagonalmatrix $A = A(n, n) = \text{tridiag}(-1, 2, -1)$ mit der symmetrischen inversen Matrix $A^{-1} = (a'_{ij})$.

Ihr positiven Elemente sind

$$a'_{ij} = \frac{i(n+1-j)}{n+1}, \quad a'_{ji} = a'_{ij}, \quad 1 \leq i \leq j \leq n.$$

Berechnungen in MATLAB (Datei *matr_trid2.m*)

```
% MATLAB
% matr_trid2.m
% Matrix, Eigenschaften, Inverse, Genauigkeit
%
diary matr_trid2.txt
diary off
echo off
% echo on
clear
clc
% clf

format long e
format compact

% Tridiagonalmatrix
disp('Generierung der spd Tridiagonalmatrix')
n=11          % 21,31,...
A=zeros(n);
for i=1:n
    for j=1:n
        if (i==j) A(i,j)=2;
            elseif (abs(i-j)==1) A(i,j)=-1;
                else A(i,j)=0;
            end;
        end;
    end;
end;
A;
%
A=3*eye(n)-triu(tril(ones(n),1),-1);
pause

% Eigenschaften
disp('Eigenschaften')
II=eye(n);
A=3*eye(n)-triu(tril(ones(n),1),-1);
rank(A)
det_A=det(A)
norminf_A=norm(A,inf)          % Zeilensummennorm
norm1_A=norm(A,1)             % SSN = ZSN
norm2_A=norm(A)                % Spektralnrm, norm(A,2)
cond2_A=cond(A)                % Spektralkondition

% Exakte inverse Matrix
% Elemente der symmetrischen Inversen:
```

```

% a'(i,j)=i(n+1-j)/(n+1), 1<=i<=j<=n, a'(i,j)>0
invA=zeros(n);
for i=1:n
    for j=i:n
        h=i*(n+1-j)/(n+1);
        invA(i,j)=h;
        invA(j,i)=h;
    end;
end;
invA;
det_invA=det(invA)

% Naehungsweise inverse Matrix
% 2 Varianten
% (a)
invAs1=inv(A);
det_invAs1=det(invAs1)
norminf_invAs1=norm(invAs1,inf) % Zeilensummennorm
norm1_invAs1=norm(invAs1,1) % SSN = ZSN
norm2_invAs1=norm(invAs1) % Spektralnorm, norm(invAs1,2)
cond2_invAs1=cond(invAs1) % Spektralkondition
% (b)
invAs2=A\II;
det_invAs2=det(invAs2)
norminf_invAs2=norm(invAs2,inf) % Zeilensummennorm
norm1_invAs2=norm(invAs2,1) % SSN =ZSN
norm2_invAs2=norm(invAs2) % Spektralnorm, norm(invAs2,2)
cond2_invAs2=cond(invAs2) % Spektralkondition
pause

% Test
disp('Test der Genauigkeit der Naehrungsinversen')
II=eye(n);
A;
cond2_A=cond(A); % Spektralkondition

% Exakte inverse Matrix
IT=A*invA;
' ||II-A*invA||_F=',norm(II-IT,'fro')

% Bei Naehrungsinversen kann fuer grosse Dimensionen n
% die Symmetrie verletzt sein.
ITs1=A*invAs1;
' ||II-A*invAs1||_F=',norm(II-ITs1,'fro')

ITs2=A*invAs2;
' ||II-A*invAs2||_F=',norm(II-ITs2,'fro')
pause

% In A^(-1) betragsgroesstes und groesstes Element mit Indizes
% Da die exakte Inverse theoretisch nur Elemente >0 enthaelt, gilt
% betragsgroesstes=groesstes Element.
bgr=0;
gr=-1e+100;
kb=1; lb=1;
k=1; l=1;
for i=1:n

```

```

for j=1:n
    hh=invA(i,j);
    ahh=abs(hh);
    if (ahh>bgr) bgr=ahh; kb=i; lb=j; end;
    if (hh>gr) gr=hh; k=i; l=j; end;
end;
end;

Bgr_ex=bgr
Kb_ex=kb
Lb_ex=lb
Gr_ex=gr
K_ex=k
L_ex=l

% Kurzversionen
[Y,II]=max(abs(invA));
[abw,JJ]=max(Y);
Bgr_ex=abw
IJmax=[II(JJ),JJ];
Kb_ex=IJmax(1)
Lb_ex=IJmax(2)

[Y,II]=max(invA);
[abw,JJ]=max(Y);
Gr_ex=abw
IJmax=[II(JJ),JJ];
K_ex=IJmax(1)
L_ex=IJmax(2)
pause

% In Naeherungsinverse betragsgroesstes und groesstes Element mit Indizes
% 2 Varianten
% (a)
bgr=0;
gr=-1e+100;
kb=1; lb=1;
k=1; l=1;
for i=1:n
    for j=1:n
        hh=invAs1(i,j);
        ahh=abs(hh);
        if (ahh>bgr) bgr=ahh; kb=i; lb=j; end;
        if (hh>gr) gr=hh; k=i; l=j; end;
    end;
end;
Bgr1=bgr
Kb1=kb
Lb1=lb
Gr1=gr
K1=k
L1=l
% (b)
bgr=0;
gr=-1e+100;
kb=1; lb=1;
k=1; l=1;

```

```

for i=1:n
  for j=1:n
    hh=invAs2(i,j);
    ahh=abs(hh);
    if (ahh>bgr) bgr=ahh; kb=i; lb=j; end;
    if (hh>gr) gr=hh; k=i; l=j; end;
  end;
end;
Bgr2=bgr
Kb2=kb
Lb2=lb
Gr2=gr
K2=k
L2=l

% Kurzversionen
[Y,II]=max(abs(invAs1));
[abw,JJ]=max(Y);
Bgr1=abw
IJmax=[II(JJ),JJ];
Kb1=IJmax(1)
Lb1=IJmax(2)
[Y,II]=max(invAs1);
[abw,JJ]=max(Y);
Gr1=abw
IJmax=[II(JJ),JJ];
K1=IJmax(1)
L1=IJmax(2)

[Y,II]=max(abs(invAs2));
[abw,JJ]=max(Y);
Bgr2=abw
IJmax=[II(JJ),JJ];
Kb2=IJmax(1)
Lb2=IJmax(2)
[Y,II]=max(invAs2);
[abw,JJ]=max(Y);
Gr2=abw
IJmax=[II(JJ),JJ];
K2=IJmax(1)
L2=IJmax(2)
pause

% Naeherungsinverse - Inverse, dazu Indizes
% 2 Varianten
% (a)
abw=0;
imax=1;
jmax=1;
for i=1:n
  for j=1:n
    hh=abs(invAs1(i,j)-invA(i,j));
    if (hh>abw) abw=hh; imax=i; jmax=j; end;
  end;
end;
Abw1=abw
Imax1=imax

```

```

Jmax1=jmax
% (b)
abw=0;
imax=1;
jmax=1;
for i=1:n
  for j=1:n
    hh=abs(invAs2(i,j)-invA(i,j));
    if (hh>abw) abw=hh; imax=i; jmax=j; end;
  end;
end;
Abw2=abw
Imax2=imax
Jmax2=jmax

% Kurzversionen
[Y,II]=max(abs(invAs1-invA));
[abw,JJ]=max(Y);
Abw1=abw
rel_Abw1=abw/max(max(invAs1))
IJmax=[II(JJ),JJ];
Imax1=IJmax(1)
Jmax1=IJmax(2)
%
[Y,II]=max(abs(invAs2-invA));
[abw,JJ]=max(Y);
Abw2=abw
rel_Abw2=abw/max(max(invAs2))
IJmax=[II(JJ),JJ];
Imax2=IJmax(1)
Jmax2=IJmax(2)
pause

format
diary off
echo off

```

Berechnungen in Maple (Datei *matr_trid2.mws*)

Nur wenige Ergebnisse werden notiert.

Bandmatrix, Tridiagonalmatrix, spd Matrix

```

> restart: with(linalg): with(LinearAlgebra):
> n:=5:
  i:='i': j:='j':
  A:=matrix(n,n,(i,j)->if i=j then 2          # A:=band([-1,2,-1],n);
                        elif abs(j-i)=1 then -1 else 0 end if);

```

$$A := \begin{bmatrix} 2 & -1 & 0 & 0 & 0 \\ -1 & 2 & -1 & 0 & 0 \\ 0 & -1 & 2 & -1 & 0 \\ 0 & 0 & -1 & 2 & -1 \\ 0 & 0 & 0 & -1 & 2 \end{bmatrix}$$

Eigenschaften der Tridiagonalmatrix

Exakte (symbolische) Rechnung

```

> 'rank(A)'=rank(A);
'det(A)'=det(A);
invA:=inverse(A);
'inv(A)'=evalm(invA);
'det(invA)'=det(invA);

# Normen
'norm(A,2)'=norm(A,2); # Spektralnorm
evalf(%);
'norm(A,1)'=norm(A,1); # Spaltensummennorm
'norm(A)=norm(A,infinity)'=norm(A); # Zeilensummennorm = SSN
'norm(A,frobenius)'=norm(A,frobenius); # Frobenius-Norm
evalf(%);
'norm(invA)=norm(invA,infinity)'=norm(invA); # ZSN der Inversen
evalf(%);

# Konditionen dazu, auch Kommando cond(A,*)
'cond(A,2)'=evalf(norm(A,2)*norm(inverse(A),2));
'cond(A,1)'=evalf(norm(A,1)*norm(inverse(A),1));
'cond(A)=cond(A,infinity)'=evalf(norm(A)*norm(inverse(A)));
'cond(A,frobenius)'=evalf(norm(A,frobenius)*norm(inverse(A),frobenius));

```

$$\text{rank}(A) = 5$$

$$\det(A) = 6$$

$$\text{inv}(A) = \begin{bmatrix} \frac{5}{6} & \frac{2}{3} & \frac{1}{2} & \frac{1}{3} & \frac{1}{6} \\ \frac{2}{3} & \frac{4}{3} & 1 & \frac{2}{3} & \frac{1}{3} \\ \frac{1}{2} & 1 & \frac{3}{2} & 1 & \frac{1}{2} \\ \frac{1}{3} & \frac{2}{3} & 1 & \frac{4}{3} & \frac{2}{3} \\ \frac{1}{6} & \frac{1}{3} & \frac{1}{2} & \frac{2}{3} & \frac{5}{6} \end{bmatrix}$$

$$\text{norm}(\text{inv}A) = \text{norm}(\text{inv}A, \text{infinity}) = \frac{9}{2}$$

$$\det(\text{inv}A) = \frac{1}{6}$$

$$\text{norm}(A, 2) = 3.732050807568877$$

$$\text{norm}(A, 1) = 4$$

$$\text{norm}(A) = \text{norm}(A, \text{infinity}) = 4$$

$$\text{norm}(A, \text{frobenius}) = 2\sqrt{7}$$

$$\text{norm}(A, \text{frobenius}) = 5.291502622129182$$

$$\text{norm}(\text{inv}A) = \text{norm}(\text{inv}A, \text{infinity}) = \frac{9}{2}$$

$$\text{norm}(\text{inv}A) = \text{norm}(\text{inv}A, \text{infinity}) = 4.500000000000000$$

$$\text{cond}(A, 2) = 13.92820323027551$$

$$\text{cond}(A, 1) = 18.$$

$$\text{cond}(A) = \text{cond}(A, \text{infinity}) = 18.$$

$$\text{cond}(A, \text{frobenius}) = 20.73912030706970$$

Exakte inverse Matrix

Elemente der symmetrischen Inversen:

$$a'(i, j) = i(n + 1 - j)/(n + 1), \quad 1 \leq i \leq j \leq n, \quad a'(i, j) > 0$$

```

> invA:=matrix(n,n):
  for i from 1 to n do
    for j from i to n do
      h:=i*(n+1-j)/(n+1);
      invA[i,j]:=h;
      invA[j,i]:=h;
    end do:
  end do:
  invA:=evalm(invA);

> # Symmetrie wird mit oberem Dreieck erzeugt
  invA:=array(symmetric,1..n,1..n,[]):
  for i from 1 to n do
    for j from i to n do
      invA[i,j]:=i*(n+1-j)/(n+1);
    end do:
  end do:
  invA:=evalm(invA);

> invA:=Matrix(n,(i,j)->i*(n+1-j)/(n+1),shape=symmetric);

> # falsch
  invA:=matrix(n,n,(i,j)->i*(n+1-j)/(n+1));

```

Test der Genauigkeit der Nahrungsinversen

```

> Digits:=15:      # 16,17

> n:=11:          # 21,31,...
  II:=evalm(array(identity,1..n,1..n)):
  A:=evalf(BandMatrix([-1,2,-1],1,n)):
  cond(A,2);      # Spektralkondition

```

Exakte inverse Matrix mit Fehlernorm

```

> invA:=Matrix(n,(i,j)->i*(n+1-j)/(n+1),shape=symmetric):
  evalm(invA):
  IT:=evalm(A&*invA):
  norm(II-IT,frobenius);

```

In A^{-1} betragsgrostes und grostes Element mit Indizes.

Da die exakte Inverse theoretisch nur Elemente > 0 enthalt, gilt betragsgrostes = grostes Element.

```

> bgr:=0:
  gr:=-1e+100:
  kb:=1: lb:=1:
  k:=1: l:=1:
  i:='i':j:='j':

```

```

for i from 1 to n do
  for j from 1 to n do
    hh:=invA[i,j];
    ahh:=abs(hh);
    if ahh>bgr then bgr:=ahh; kb:=i; lb:=j; end if;
    if hh>gr then gr:=hh; k:=i; l:=j; end if;
  end do:
end do:

'Bgr_ex'=bgr;
'Kb_ex'=kb;
'Lb_ex'=lb;
'Gr_ex'=gr;
'K_ex'=k;
'L_ex'=l;

```

Bei Näherungsinversen kann für grosse Dimensionen n die Symmetrie verletzt sein.

2 Varianten

(a)

```

> invAs1:=inverse(A):
ITs1:=evalm(A&*invAs1):
norm(II-ITs1,frobenius);

```

In Näherungsinverse betragsgrößtes und größtes Element mit Indizes

```

> bgr:=0:
gr:=-1e+100:
kb:=1: lb:=1:
k:=1: l:=1:
i:='i':j:='j':
for i from 1 to n do
  for j from 1 to n do
    hh:=invAs1[i,j];
    ahh:=abs(hh);
    if ahh>bgr then bgr:=ahh; kb:=i; lb:=j; end if;
    if hh>gr then gr:=hh; k:=i; l:=j; end if;
  end do:
end do:

'Bgr1'=bgr;
'Kb1'=kb;
'Lb1'=lb;
'Gr1'=gr;
'K1'=k;
'L1'=l;

```

Näherungsinverse - Inverse

```

> abw:=0:
imax:=1:
jmax:=1:
i:='i':j:='j':
for i from 1 to n do
  for j from 1 to n do

```



```

    hh:=abs(invAs1[i,j]-invA[i,j]);
    if hh>abw then abw:=hh; imax:=i; jmax:=j; end if;
  end do;
end do;
'Abw1' =abw;
'Imax1' =imax;
'Jmax1' =jmax;

```

(b)

```

> invAs2:=linsolve(A,II):
ITs2:=evalm(A&*invAs2):
norm(II-ITs2,frobenius);

```

In Näherungsinverse betragsgrößtes und größtes Element mit Indizes

```

> bgr:=0:
gr:=-1e+100:
kb:=1: lb:=1:
k:=1: l:=1:
i:='i':j:='j':
for i from 1 to n do
  for j from 1 to n do
    hh:=invAs2[i,j];
    ahh:=abs(hh);
    if ahh>bgr then bgr:=ahh; kb:=i; lb:=j; end if;
    if hh>gr then gr:=hh; k:=i; l:=j; end if;
  end do;
end do;

'Bgr2' =bgr;
'Kb2' =kb;
'Lb2' =lb;
'Gr2' =gr;
'K2' =k;
'L2' =l;

```

Näherungsinverse - Inverse

```

> abw:=0:
imax:=1:
jmax:=1:
i:='i':j:='j':
for i from 1 to n do
  for j from 1 to n do
    hh:=abs(invAs2[i,j]-invA[i,j]);
    if hh>abw then abw:=hh; imax:=i; jmax:=j; end if;
  end do;
end do;
'Abw2' =abw;
'Imax2' =imax;
'Jmax2' =jmax;

```

Analoge Rechnungen für andere Matrixdimensionen und mit `Digits=16,17`.

n	Spektral- kondition $\text{cond}_2(A)$ $\approx \frac{4}{\pi^2}(n+1)^2$	$A^{-1} = (a'_{ij}), \tilde{A}^{-1} = (\tilde{a}'_{ij})$ $\tilde{a}'_{kk}, k \approx \frac{n}{2}$ betragsgrößtes & größtes $\tilde{a}'_{ij} = \mathcal{O}(\)$ \tilde{a}'_{ij} a'_{ij}	$I - A\tilde{A}^{-1}$ $\ I - A\tilde{A}^{-1}\ _F$ $I - AA^{-1}$ $\ I - AA^{-1}\ _F$	$\max_{i,j} \tilde{a}'_{ij} - a'_{ij} $ Stelle (i_{max}, j_{max})
11	$5.770 \cdot 10^1$ (a) (b)	10^0 $\tilde{a}'_{66} = 3$ $\tilde{a}'_{66} = 3.0$ $a'_{66} = 3$	$4.016 \cdot 10^{-15}$ $3.444 \cdot 10^{-15}$ $1.683 \cdot 10^{-15}$	$8.9 \cdot 10^{-16}$ (5,5) $2.7 \cdot 10^{-15}$ (8,8)
21	$1.955 \cdot 10^1$ (a) (b)	10^1 $\tilde{a}'_{11,11} = 5.5$ $\tilde{a}'_{11,11} = 5.5$ $a'_{11,11} = 5.5$	$1.816 \cdot 10^{-14}$ $1.078 \cdot 10^{-14}$ $7.444 \cdot 10^{-15}$	$2.7 \cdot 10^{-15}$ (13,14) $1.3 \cdot 10^{-14}$ (9,9)
31	$4.143 \cdot 10^2$ (a) (b)	10^1 $\tilde{a}'_{16,16} = 8.0$ $\tilde{a}'_{16,16} = 8.0$ $a'_{16,16} = 8.0$	$3.765 \cdot 10^{-14}$ $2.311 \cdot 10^{-14}$ 0	$2.5 \cdot 10^{-14}$ (20,19) $2.8 \cdot 10^{-14}$ (15,15)
41	$7.143 \cdot 10^2$ (a) (b)	10^1 $\tilde{a}'_{21,21} = 10.5$ $\tilde{a}'_{21,21} = 10.5$ $a'_{21,21} = 10.5$	$8.359 \cdot 10^{-14}$ $4.049 \cdot 10^{-14}$ $2.419 \cdot 10^{-14}$	$6.0 \cdot 10^{-14}$ (20,20) $5.0 \cdot 10^{-14}$ (22,23)
51	$1.095 \cdot 10^3$ (a) (b)	10^1 $\tilde{a}'_{26,26} = 13.0$ $\tilde{a}'_{26,26} = 13.0$ $a'_{26,26} = 13$	$1.518 \cdot 10^{-13}$ $5.658 \cdot 10^{-14}$ $3.456 \cdot 10^{-14}$	$9.1 \cdot 10^{-14}$ (21,21) $5.9 \cdot 10^{-14}$ (16,19)
61	$1.557 \cdot 10^3$ (a) (b)	10^1 $\tilde{a}'_{31,31} = 15.5$ $\tilde{a}'_{31,31} = 15.5$ $a'_{31,31} = 15.5$	$2.171 \cdot 10^{-13}$ $7.863 \cdot 10^{-14}$ $5.084 \cdot 10^{-14}$	$1.3 \cdot 10^{-13}$ (29,27) $1.1 \cdot 10^{-13}$ (43,44)
71	$2.100 \cdot 10^3$ (a) (b)	10^1 $\tilde{a}'_{36,36} = 18.0$ $\tilde{a}'_{36,36} = 18.0$ $a'_{36,36} = 18$	$2.666 \cdot 10^{-13}$ $1.116 \cdot 10^{-13}$ $7.016 \cdot 10^{-14}$	$1.5 \cdot 10^{-13}$ (29,26) $2.2 \cdot 10^{-13}$ (44,44)
81	$2.724 \cdot 10^3$ (a) (b)	10^1 $\tilde{a}'_{41,41} = 20.5$ $\tilde{a}'_{41,41} = 20.5$ $a'_{41,41} = 20.5$	$4.494 \cdot 10^{-13}$ $1.471 \cdot 10^{-13}$ $9.170 \cdot 10^{-14}$	$1.8 \cdot 10^{-13}$ (30,31) $3.3 \cdot 10^{-13}$ (44,44)
91	$3.430 \cdot 10^3$ (a) (b)	10^1 $\tilde{a}'_{46,46} = 23.0$ $\tilde{a}'_{46,46} = 23.0$ $a'_{46,46} = 23$	$6.376 \cdot 10^{-13}$ $1.847 \cdot 10^{-13}$ $1.160 \cdot 10^{-13}$	$2.0 \cdot 10^{-13}$ (30,29) $4.2 \cdot 10^{-13}$ (44,44)
101	$4.216 \cdot 10^3$ (a) (b)	10^1 $\tilde{a}'_{51,51} = 25.5$ $\tilde{a}'_{51,51} = 25.5$ $a'_{51,51} = 25.5$	$7.847 \cdot 10^{-13}$ $2.233 \cdot 10^{-13}$ $1.496 \cdot 10^{-13}$	$2.2 \cdot 10^{-13}$ (29,28) $5.2 \cdot 10^{-13}$ (45,46)

n	Spektral- kondition $\text{cond}_2(A)$ $\approx \frac{4}{\pi^2}(n+1)^2$	$A^{-1} = (a'_{ij}), \tilde{A}^{-1} = (\tilde{a}'_{ij})$ $\tilde{a}'_{kk}, k \approx \frac{n}{2}$ betragsgrößtes & größtes $\tilde{a}'_{ij} = \mathcal{O}(\)$ \tilde{a}'_{ij} a'_{ij}	$I - A\tilde{A}^{-1}$ $\ I - A\tilde{A}^{-1}\ _F$ $I - AA^{-1}$ $\ I - AA^{-1}\ _F$	$\max_{i,j} \tilde{a}'_{ij} - a'_{ij} $ Stelle (i_{max}, j_{max})
151	9.363 10 ³ (a) (b)	10 ¹ $\tilde{a}'_{76,76} = 38.0$ $\tilde{a}'_{76,76} = 38.0$ $a'_{76,76} = 38$	2.121 10 ⁻¹² 4.942 10 ⁻¹³ 3.260 10 ⁻¹³	4.9 10 ⁻¹³ (89,83) 9.7 10 ⁻¹³ (94,94)
201	1.654 10 ⁴ (a) (b)	10 ² $\tilde{a}'_{101,101} = 50.5$ $\tilde{a}'_{101,101} = 50.5$ $a'_{101,101} = 50.5$	4.508 10 ⁻¹² 8.857 10 ⁻¹³ 5.662 10 ⁻¹³	7.7 10 ⁻¹³ (138,141) 1.8 10 ⁻¹² (95,96)
251	2.574 10 ⁴ (a) (b)	10 ² $\tilde{a}'_{126,126} = 63.0$ $\tilde{a}'_{126,126} = 63.0$ $a'_{126,126} = 63$	6.589 10 ⁻¹² 1.346 10 ⁻¹² 8.352 10 ⁻¹³	2.1 10 ⁻¹² (147,148) 2.2 10 ⁻¹² (95,94)
301	3.696 10 ⁴ (a) (b)	10 ² $\tilde{a}'_{151,151} = 75.5$ $\tilde{a}'_{151,151} = 75.5$ $a'_{151,151} = 75.5$	1.058 10 ⁻¹¹ 1.983 10 ⁻¹² 1.142 10 ⁻¹²	3.8 10 ⁻¹² (154,152) 2.7 10 ⁻¹² (94,94)
351	5.022 10 ⁴ (a) (b)	10 ² $\tilde{a}'_{176,176} = 88.0$ $\tilde{a}'_{176,176} = 88.0$ $a'_{176,176} = 88$	1.814 10 ⁻¹¹ 2.752 10 ⁻¹² 1.792 10 ⁻¹²	5.3 10 ⁻¹² (154,154) 4.7 10 ⁻¹² (259,259)
401	6.549 10 ⁴ (a) (b)	10 ² $\tilde{a}'_{201,201} = 100.5$ $\tilde{a}'_{201,201} = 100.5$ $a'_{201,201} = 100.5$	2.723 10 ⁻¹¹ 3.563 10 ⁻¹² 2.261 10 ⁻¹²	6.8 10 ⁻¹² (193,191) 9.9 10 ⁻¹² (263,265)
451	8.280 10 ⁴ (a) (b)	10 ² $\tilde{a}'_{226,226} = 113.0$ $\tilde{a}'_{226,226} = 113.0$ $a'_{226,226} = 113.0$	3.222 10 ⁻¹¹ 4.418 10 ⁻¹² 2.748 10 ⁻¹²	8.3 10 ⁻¹² (189,193) 1.6 10 ⁻¹¹ (264,265)
501	1.021 10 ⁵ (a) (b)	10 ² $\tilde{a}'_{251,251} = 125.5$ $\tilde{a}'_{251,251} = 125.5$ $a'_{251,251} = 125.5$	4.336 10 ⁻¹¹ 5.333 10 ⁻¹² 3.291 10 ⁻¹²	9.8 10 ⁻¹² (194,192) 2.3 10 ⁻¹¹ (265,267)
601	1.469 10 ⁵ (a) (b)	10 ² $\tilde{a}'_{301,301} = 150.5$ $\tilde{a}'_{301,301} = 150.5$ $a'_{301,301} = 150.5$	6.477 10 ⁻¹¹ 7.721 10 ⁻¹² 4.922 10 ⁻¹²	1.2 10 ⁻¹¹ (491,489) 3.4 10 ⁻¹¹ (289,291)
701	1.997 10 ⁵ (a) (b)	10 ² $\tilde{a}'_{351,351} = 175.5$ $\tilde{a}'_{351,351} = 175.5$ $a'_{351,351} = 175.5$	1.101 10 ⁻¹⁰ 1.052 10 ⁻¹¹ 6.916 10 ⁻¹²	3.6 10 ⁻¹¹ (494,493) 3.9 10 ⁻¹¹ (289,290)

n	Spektral- kondition $\text{cond}_2(A)$ $\approx \frac{4}{\pi^2}(n+1)^2$	$A^{-1} = (a'_{ij}), \tilde{A}^{-1} = (\tilde{a}'_{ij})$ $\tilde{a}'_{kk}, k \approx \frac{n}{2}$ betragsgrößtes & größtes $\tilde{a}'_{ij} = \mathcal{O}(\)$ \tilde{a}'_{ij} a'_{ij}	$I - A\tilde{A}^{-1}$ $\ I - A\tilde{A}^{-1}\ _F$ $I - AA^{-1}$ $\ I - AA^{-1}\ _F$	$\max_{i,j} \tilde{a}'_{ij} - a'_{ij} $ Stelle (i_{max}, j_{max})
801	$2.607 \cdot 10^5$ (a) (b)	10^2 $\tilde{a}'_{401,401} = 200.5$ $\tilde{a}'_{401,401} = 200.5$ $a'_{401,401} = 200.5$	$1.445 \cdot 10^{-10}$ $1.369 \cdot 10^{-11}$ $8.929 \cdot 10^{-12}$	$6.4 \cdot 10^{-11}$ (497,495) $4.0 \cdot 10^{-11}$ (529,529)
901	$3.297 \cdot 10^5$ (a) (b)	10^2 $\tilde{a}'_{451,451} = 225.5$ $\tilde{a}'_{451,451} = 225.5$ $a'_{451,451} = 225.5$	$1.716 \cdot 10^{-10}$ $1.707 \cdot 10^{-11}$ $1.104 \cdot 10^{-11}$	$8.6 \cdot 10^{-11}$ (493,496) $7.0 \cdot 10^{-11}$ (551,548)
1001	$4.069 \cdot 10^5$ (a) (b)	10^2 $\tilde{a}'_{501,501} = 250.5$ $\tilde{a}'_{501,501} = 250.5$ $a'_{501,501} = 250.5$	$2.396 \cdot 10^{-10}$ $2.074 \cdot 10^{-11}$ $1.314 \cdot 10^{-11}$	$1.0 \cdot 10^{-10}$ (493,496) $1.1 \cdot 10^{-10}$ (551,554)
1501	$9.143 \cdot 10^5$ (a) (b)	10^2 $\tilde{a}'_{751,751} = 375.5$ $\tilde{a}'_{751,751} = 375.5$ $a'_{751,751} = 375.5$	$6.881 \cdot 10^{-10}$ $4.754 \cdot 10^{-11}$ $3.165 \cdot 10^{-11}$	$1.2 \cdot 10^{-10}$ (497,495) $5.7 \cdot 10^{-10}$ (816,815)
2001	$1.624 \cdot 10^6$ (a) (b)	10^3 $\tilde{a}'_{1001,1001} = 500.5$ $\tilde{a}'_{1001,1001} = 500.5$ $a'_{1001,1001} = 500.5$	$1.467 \cdot 10^{-9}$ $8.326 \cdot 10^{-11}$ $5.235 \cdot 10^{-11}$	$2.6 \cdot 10^{-10}$ (944,942) $1.0 \cdot 10^{-9}$ (893,895)

Tab. 4.1 Berechnungen für die Tridiagonalmatrix mit MATLAB (*double* Präzision)

$A=3*\text{eye}(n)-\text{triu}(\text{tril}(\text{ones}(n),1),-1)$

2 Varianten der Ermittlung der Näherungsinversen \tilde{A}^{-1}

(a) `inv(A)`

(b) `A\I`

Bei MATLAB treten in den numerischen Rechnungen für \tilde{a}'_{ij} Ungenauigkeiten in den letzten Mantissenstellen auf, damit auch die Abweichungen bei den angegebenen Normen. Die Anzahl dieser Stellen nimmt mit der Dimension n zu und entspricht ungefähr den Werten $t-1$ bzw. t des Exponenten in der GP-Darstellung der Spektralkondition $\text{cond}_2(A) = m \cdot 10^t$.

Vergleicht man die Ergebnisse mit Maple, stellt man ähnliche Eigenschaften fest.

Wegen der deutlich längeren Rechenzeiten kann man nicht allzu große Dimensionen testen. MATLAB liegt bez. der Qualität der Ergebnisse in der Nähe von Maple bei `Digits=16`.

Mit Maple-Variante `linsolve(A,I)` fallen die Kontrollgrößen $\max_{i,j} |\tilde{a}'_{ij} - a'_{ij}|$ und $\max_{i,j} \tilde{a}'_{ij}$ der numerischen Rechnung bei allen `Digits=15,16,17` sehr günstig aus.

Im Vergleich der hier verwendeten Berechnungsvarianten für die Näherungsinverse hat das Maple-Kommando `inverse(A)` "gewisse kleine numerische Schwachstellen". Zumindest kann es mit den anderen Befehlen für die Testmatrizen meistens nicht ganz konkurrieren.

n	Spektral- kondition $\text{cond}_2(A)$ $\approx \frac{4}{\pi^2}(n+1)^2$ $\tilde{a}'_{ij} = \mathcal{O}(\)$	$A^{-1} = (a'_{ij}), \tilde{A}^{-1} = (\tilde{a}'_{ij})$ $\tilde{a}'_{kk}, k \approx \frac{n}{2}$ betragsgrößtes & größtes Digits \tilde{a}'_{ij} a'_{ij}	$I - A\tilde{A}^{-1}$ $\ I - A\tilde{A}^{-1}\ _F$ $I - AA^{-1}$ $\ I - AA^{-1}\ _F$	$\max_{i,j} \tilde{a}'_{ij} - a'_{ij} $ Stelle (i_{max}, j_{max})			
11	$5.770 \cdot 10^1$ 10^0	(a)	15	$\tilde{a}'_{66} = 3.0$	$6.115 \cdot 10^{-14}$	$2.0 \cdot 10^{-14}$ (7,8) 0	
		(b)		$\tilde{a}'_{66} = 3$	$5.162 \cdot 10^{-14}$		
				$a'_{66} = 3$	$1.342 \cdot 10^{-14}$		
		(a)		16	$\tilde{a}'_{66} = 3.0$	$5.620 \cdot 10^{-15}$	$1.0 \cdot 10^{-15}$ (3,2) 0
		(b)			$\tilde{a}'_{66} = 3$	$5.162 \cdot 10^{-15}$	
						$a'_{66} = 3$	$1.342 \cdot 10^{-15}$
(a)		17	$\tilde{a}'_{66} = 3.0$	$5.943 \cdot 10^{-16}$	$3.0 \cdot 10^{-16}$ (5,6) 0		
(b)			$\tilde{a}'_{66} = 3$	$5.162 \cdot 10^{-16}$			
				$a'_{66} = 3$	$1.342 \cdot 10^{-16}$		
21	$1.955 \cdot 10^2$ 10^1	(a)	15	$\tilde{a}'_{11,11} = 5.5$	$1.988 \cdot 10^{-13}$	$3.0 \cdot 10^{-13}$ (12,12) 0	
		(b)		$\tilde{a}'_{11,11} = 5.5$	$1.399 \cdot 10^{-13}$		
				$a'_{11,11} = \frac{11}{2}$	$1.106 \cdot 10^{-13}$		
		(a)		16	$\tilde{a}'_{11,11} = 5.5$	$1.814 \cdot 10^{-14}$	$1.3 \cdot 10^{-14}$ (13,13) 0
		(b)			$\tilde{a}'_{11,11} = 5.5$	$1.399 \cdot 10^{-14}$	
						$a'_{11,11} = \frac{11}{2}$	$1.106 \cdot 10^{-14}$
(a)		17	$\tilde{a}'_{11,11} = 5.5$	$1.790 \cdot 10^{-15}$	$2.1 \cdot 10^{-15}$ (14,15) 0		
(b)			$\tilde{a}'_{11,11} = 5.5$	$1.399 \cdot 10^{-15}$			
				$a'_{11,11} = \frac{11}{2}$	$1.106 \cdot 10^{-15}$		
31	$4.143 \cdot 10^2$ 10^1	(a)	15	$\tilde{a}'_{16,16} = 8.0$	$5.209 \cdot 10^{-13}$	$7.8 \cdot 10^{-13}$ (13,13) 0	
		(b)		$\tilde{a}'_{16,16} = 8$	0.		
				$a'_{16,16} = 8$	0.		
		(a)		16	$\tilde{a}'_{16,16} = 8.0$	$5.407 \cdot 10^{-14}$	$3.3 \cdot 10^{-14}$ (14,14) 0
		(b)			$\tilde{a}'_{16,16} = 8$	$5.407 \cdot 10^{-14}$	
						$a'_{16,16} = 8$	0.
(a)		17	$\tilde{a}'_{16,16} = 8.0$	$5.342 \cdot 10^{-15}$	$5.9 \cdot 10^{-15}$ (15,15) 0		
(b)			$\tilde{a}'_{16,16} = 8$	0.			
				$a'_{16,16} = 8$	0.		
41	$7.143 \cdot 10^2$ 10^1	(a)	15	$\tilde{a}'_{21,21} = 10.5$	$8.548 \cdot 10^{-13}$	$1.4 \cdot 10^{-12}$ (19,19) 0	
		(b)		$\tilde{a}'_{21,21} = 10.5$	$6.581 \cdot 10^{-13}$		
				$a'_{21,21} = \frac{21}{2}$	$6.389 \cdot 10^{-13}$		
		(a)		16	$\tilde{a}'_{21,21} = 10.5$	$9.444 \cdot 10^{-14}$	$6.2 \cdot 10^{-14}$ (19,18) 0
		(b)			$\tilde{a}'_{21,21} = 10.5$	$7.198 \cdot 10^{-14}$	
						$a'_{21,21} = \frac{21}{2}$	$6.631 \cdot 10^{-14}$
(a)		17	$\tilde{a}'_{21,21} = 10.5$	$8.622 \cdot 10^{-15}$	$8.3 \cdot 10^{-15}$ (15,15) 0		
(b)			$\tilde{a}'_{21,21} = 10.5$	$6.999 \cdot 10^{-15}$			
				$a'_{21,21} = \frac{21}{2}$	$6.703 \cdot 10^{-15}$		

n	Spektral- kondition $\text{cond}_2(A)$ $\approx \frac{4}{\pi^2}(n+1)^2$ $\tilde{a}'_{ij} = \mathcal{O}(\cdot)$	$A^{-1} = (a'_{ij}), \tilde{A}^{-1} = (\tilde{a}'_{ij})$ $\tilde{a}'_{kk}, k \approx \frac{n}{2}$ betragsgößtes & größtes Digits \tilde{a}'_{ij} a'_{ij}	$I - A\tilde{A}^{-1}$ $\ I - A\tilde{A}^{-1}\ _F$ $I - AA^{-1}$ $\ I - AA^{-1}\ _F$	$\max_{i,j} \tilde{a}'_{ij} - a'_{ij} $ Stelle (i_{max}, j_{max})		
51	$1.095 \cdot 10^3$ 10^1	(a)	15	$\tilde{a}'_{26,26} = 13.0$	$1.411 \cdot 10^{-12}$	$2.3 \cdot 10^{-12}$ (25,25)
		(b)		$\tilde{a}'_{26,26} = 13$	$1.378 \cdot 10^{-12}$	0
	(a)	16	(a)	$\tilde{a}'_{26,26} = 13.0$	$1.479 \cdot 10^{-13}$	$9.0 \cdot 10^{-14}$ (36,37)
			(b)	$\tilde{a}'_{26,26} = 13$	$1.384 \cdot 10^{-13}$	0
	(a)	17	(a)	$\tilde{a}'_{26,26} = 13.0$	$1.408 \cdot 10^{-14}$	$1.0 \cdot 10^{-14}$ (15,15)
			(b)	$\tilde{a}'_{26,26} = 13$	$1.351 \cdot 10^{-14}$	0
61	$1.557 \cdot 10^3$ 10^1	(a)	15	$\tilde{a}'_{31,31} = 15.5$	$1.985 \cdot 10^{-12}$	$3.4 \cdot 10^{-12}$ (28,24)
		(b)		$\tilde{a}'_{31,31} = 15.5$	$2.070 \cdot 10^{-12}$	0
	(a)	16	(a)	$\tilde{a}'_{31,31} = 15.5$	$1.642 \cdot 10^{-12}$	$2.0 \cdot 10^{-13}$ (37,35)
			(b)	$\tilde{a}'_{31,31} = 15.5$	$2.047 \cdot 10^{-13}$	0
	(a)	17	(a)	$\tilde{a}'_{31,31} = 15.5$	$2.036 \cdot 10^{-13}$	$1.9 \cdot 10^{-14}$ (43,43)
			(b)	$\tilde{a}'_{31,31} = 15.5$	$1.570 \cdot 10^{-13}$	0
71	$2.100 \cdot 10^3$ 10^1	(a)	15	$\tilde{a}'_{36,36} = 18.0$	$2.655 \cdot 10^{-12}$	$4.9 \cdot 10^{-12}$ (43,43)
		(b)		$\tilde{a}'_{36,36} = 18$	$2.580 \cdot 10^{-12}$	0
	(a)	16	(a)	$\tilde{a}'_{36,36} = 18.0$	$1.653 \cdot 10^{-12}$	$3.1 \cdot 10^{-13}$ (39,39)
			(b)	$\tilde{a}'_{36,36} = 18$	$2.746 \cdot 10^{-13}$	0
	(a)	17	(a)	$\tilde{a}'_{36,36} = 18.0$	$2.580 \cdot 10^{-13}$	$3.7 \cdot 10^{-14}$ (43,45)
			(b)	$\tilde{a}'_{36,36} = 18$	$1.653 \cdot 10^{-13}$	0
81	$2.724 \cdot 10^3$ 10^1	(a)	15	$\tilde{a}'_{41,41} = 20.5$	$3.308 \cdot 10^{-12}$	$7.2 \cdot 10^{-12}$ (42,44)
		(b)		$\tilde{a}'_{41,41} = 20.5$	$3.343 \cdot 10^{-12}$	0
	(a)	16	(a)	$\tilde{a}'_{41,41} = 20.5$	$2.502 \cdot 10^{-12}$	$3.9 \cdot 10^{-13}$ (39,41)
			(b)	$\tilde{a}'_{41,41} = 20.5$	$3.335 \cdot 10^{-13}$	0
	(a)	17	(a)	$\tilde{a}'_{41,41} = 20.5$	$3.271 \cdot 10^{-13}$	$6.1 \cdot 10^{-14}$ (45,46)
			(b)	$\tilde{a}'_{41,41} = 20.5$	$2.511 \cdot 10^{-13}$	0
				$3.435 \cdot 10^{-14}$		
				$3.333 \cdot 10^{-14}$		
				$2.426 \cdot 10^{-14}$		

n	Spektral- kondition $\text{cond}_2(A)$ $\approx \frac{4}{\pi^2}(n+1)^2$ $\tilde{a}'_{ij} = \mathcal{O}(\)$	$A^{-1} = (a'_{ij}), \tilde{A}^{-1} = (\tilde{a}'_{ij})$ $\tilde{a}'_{kk}, k \approx \frac{n}{2}$ betragsgrößtes & größtes Digits \tilde{a}'_{ij} a'_{ij}	$I - A\tilde{A}^{-1}$ $\ I - A\tilde{A}^{-1}\ _F$ $I - AA^{-1}$ $\ I - AA^{-1}\ _F$	$\max_{i,j} \tilde{a}'_{ij} - a'_{ij} $ Stelle (i_{max}, j_{max})
91	$3.430 \cdot 10^3$ 10^1 (a) (b)	15 $\tilde{a}'_{46,46} = 23.0$ $\tilde{a}'_{46,46} = 23$ $a'_{46,46} = 23$	$4.043 \cdot 10^{-12}$ $4.017 \cdot 10^{-12}$ $2.916 \cdot 10^{-12}$	$9.0 \cdot 10^{-12}$ (43,47) 0
	(a) (b)	16 $\tilde{a}'_{46,46} = 23.0$ $\tilde{a}'_{46,46} = 23$ $a'_{46,46} = 23$	$3.984 \cdot 10^{-13}$ $3.968 \cdot 10^{-13}$ $2.916 \cdot 10^{-13}$	$5.0 \cdot 10^{-13}$ (39,41) 0
	(a) (b)	17 $\tilde{a}'_{46,46} = 23.0$ $\tilde{a}'_{46,46} = 23$ $a'_{46,46} = 23$	$4.054 \cdot 10^{-14}$ $3.951 \cdot 10^{-14}$ $2.899 \cdot 10^{-14}$	$7.9 \cdot 10^{-14}$ (48,50) 0
101	$4.216 \cdot 10^3$ 10^1 (a) (b)	15 $\tilde{a}'_{51,51} = 25.5$ $\tilde{a}'_{51,51} = 25.5$ $a'_{51,51} = \frac{51}{2}$	$4.757 \cdot 10^{-12}$ $4.661 \cdot 10^{-12}$ $3.398 \cdot 10^{-12}$	$1.1 \cdot 10^{-11}$ (43,44) 0
	(a) (b)	16 $\tilde{a}'_{51,51} = 25.5$ $\tilde{a}'_{51,51} = 25.5$ $a'_{51,51} = \frac{51}{2}$	$4.677 \cdot 10^{-13}$ $4.675 \cdot 10^{-13}$ $3.411 \cdot 10^{-13}$	$6.6 \cdot 10^{-13}$ (40,41) 0
	(a) (b)	17 $\tilde{a}'_{51,51} = 25.5$ $\tilde{a}'_{51,51} = 25.5$ $a'_{51,51} = \frac{51}{2}$	$4.859 \cdot 10^{-14}$ $4.632 \cdot 10^{-14}$ $3.436 \cdot 10^{-14}$	$9.7 \cdot 10^{-14}$ (48,53) 0
151	$9.363 \cdot 10^3$ 10^1 (a) (b)	15 $\tilde{a}'_{76,76} = 38.0$ $\tilde{a}'_{76,76} = 38$ $a'_{76,76} = 38$	$8.977 \cdot 10^{-12}$ $7.977 \cdot 10^{-12}$ $5.615 \cdot 10^{-12}$	$2.2 \cdot 10^{-11}$ (61,60) 0
	(a) (b)	16 $\tilde{a}'_{76,76} = 38.0$ $\tilde{a}'_{76,76} = 38$ $a'_{76,76} = 38$	$9.083 \cdot 10^{-13}$ $8.002 \cdot 10^{-13}$ $5.606 \cdot 10^{-13}$	$2.1 \cdot 10^{-12}$ (72,72) 0
	(a) (b)	17 $\tilde{a}'_{76,76} = 38.0$ $\tilde{a}'_{76,76} = 38$ $a'_{76,76} = 38$	$9.382 \cdot 10^{-14}$ $7.946 \cdot 10^{-14}$ $5.628 \cdot 10^{-14}$	$1.6 \cdot 10^{-13}$ (106,108) 0
201	$1.654 \cdot 10^4$ 10^2 (a) (b)	15 $\tilde{a}'_{101,101} = 50.5$ $\tilde{a}'_{101,101} = 50.5$ $a'_{101,101} = \frac{101}{2}$	$1.461 \cdot 10^{-11}$ $1.143 \cdot 10^{-11}$ $8.378 \cdot 10^{-12}$	$3.4 \cdot 10^{-11}$ (88,89) 0
	(a) (b)	16 $\tilde{a}'_{101,101} = 50.5$ $\tilde{a}'_{101,101} = 50.5$ $a'_{101,101} = \frac{101}{2}$	$1.532 \cdot 10^{-12}$ $1.150 \cdot 10^{-12}$ $8.011 \cdot 10^{-13}$	$3.8 \cdot 10^{-12}$ (90,90) 0
	(a) (b)	17 $\tilde{a}'_{101,101} = 50.5$ $\tilde{a}'_{101,101} = 50.5$ $a'_{101,101} = \frac{101}{2}$	$1.508 \cdot 10^{-13}$ $1.143 \cdot 10^{-13}$ $8.378 \cdot 10^{-14}$	$6.7 \cdot 10^{-13}$ (114,115) 0

n	Spektral- kondition $\text{cond}_2(A)$ $\approx \frac{4}{\pi^2}(n+1)^2$ $\tilde{a}'_{ij} = \mathcal{O}(\)$	$A^{-1} = (a'_{ij}), \tilde{A}^{-1} = (\tilde{a}'_{ij})$ $\tilde{a}'_{kk}, k \approx \frac{n}{2}$ betragsgrößtes & größtes Digits \tilde{a}'_{ij} a'_{ij}	$I - A\tilde{A}^{-1}$ $\ I - A\tilde{A}^{-1}\ _F$ $I - AA^{-1}$ $\ I - AA^{-1}\ _F$	$\max_{i,j} \tilde{a}'_{ij} - a'_{ij} $ Stelle (i_{max}, j_{max})			
301	$3.696 \cdot 10^4$ 10^2	(a)	15	$\tilde{a}'_{151,151} = 75.5$ $\tilde{a}'_{151,151} = 75.5$ $a'_{151,151} = \frac{151}{2}$	$4.417 \cdot 10^{-11}$ $3.691 \cdot 10^{-11}$ $3.518 \cdot 10^{-11}$	$1.5 \cdot 10^{-10}$ (189,188) 0	
		(b)	16	$\tilde{a}'_{151,151} = 75.5$ $\tilde{a}'_{151,151} = 75.5$ $a'_{151,151} = \frac{151}{2}$	$4.601 \cdot 10^{-12}$ $3.679 \cdot 10^{-12}$ $3.505 \cdot 10^{-12}$	$1.1 \cdot 10^{-11}$ (210,212) 0	
		(a)	17	$\tilde{a}'_{151,151} = 75.5$ $\tilde{a}'_{151,151} = 75.5$ $a'_{151,151} = \frac{151}{2}$	$4.423 \cdot 10^{-13}$ $3.671 \cdot 10^{-13}$ $3.495 \cdot 10^{-13}$	$1.7 \cdot 10^{-12}$ (132,131) 0	
		(b)					
	401	$6.549 \cdot 10^4$ 10^2	(a)	15	$\tilde{a}'_{201,201} = 100.5$ $\tilde{a}'_{201,201} = 100.5$ $a'_{201,201} = \frac{201}{2}$	$7.865 \cdot 10^{-11}$ $6.403 \cdot 10^{-11}$ $6.245 \cdot 10^{-11}$	$3.5 \cdot 10^{-10}$ (211,211) 0
			(b)	16	$\tilde{a}'_{201,201} = 100.5$ $\tilde{a}'_{201,201} = 100.5$ $a'_{201,201} = \frac{201}{2}$	$8.177 \cdot 10^{-12}$ $6.421 \cdot 10^{-12}$ $6.268 \cdot 10^{-12}$	$2.4 \cdot 10^{-11}$ (212,213) 0
		(a)	17	$\tilde{a}'_{201,201} = 100.5$ $\tilde{a}'_{201,201} = 100.5$ $a'_{201,201} = \frac{201}{2}$	$7.721 \cdot 10^{-13}$ $6.404 \cdot 10^{-13}$ $6.252 \cdot 10^{-13}$	$2.7 \cdot 10^{-12}$ (144,145) 0	
		(b)					
501		$1.021 \cdot 10^5$ 10^2	(a)	15	$\tilde{a}'_{251,251} = 125.5$ $\tilde{a}'_{251,251} = 125.5$ $a'_{251,251} = \frac{251}{2}$	$1.288 \cdot 10^{-10}$ $1.228 \cdot 10^{-10}$ $1.043 \cdot 10^{-10}$	$4.5 \cdot 10^{-10}$ (210,212) 0
			(b)	16	$\tilde{a}'_{251,251} = 125.5$ $\tilde{a}'_{251,251} = 125.5$ $a'_{251,251} = \frac{251}{2}$	$1.316 \cdot 10^{-11}$ $1.232 \cdot 10^{-11}$ $1.034 \cdot 10^{-11}$	$2.9 \cdot 10^{-11}$ (212,213) 0
		(a)	17	$\tilde{a}'_{251,251} = 125.5$ $\tilde{a}'_{251,251} = 125.5$ $a'_{251,251} = \frac{251}{2}$	$1.246 \cdot 10^{-12}$ $1.154 \cdot 10^{-12}$ $1.028 \cdot 10^{-12}$	$8.0 \cdot 10^{-12}$ (336,338) 0	
		(b)					

Tab. 4.2 Berechnungen für die Tridiagonalmatrix mit Maple, Digits=15,16,17

A:=band([-1,2,-1],n)

2 Varianten der Ermittlung der Näherungsinversen \tilde{A}^{-1}

(a) inverse(A)

(b) linsolve(A,I)

4.2 Matrix 5

Hilbert-Matrix $A = A(n, n) = (a_{ij})$ mit

$$a_{ij} = \frac{1}{i + j - 1}.$$

Sie ist symmetrisch, positiv definit und ihre Inverse $A^{-1} = (a'_{ij})$ hat die ganzzahligen Elemente

$$a'_{ij} = \frac{(-1)^{i+j}}{i + j - 1} \gamma_i \gamma_j, \quad \gamma_i = \frac{(n + i - 1)!}{(i - 1)! 2(n - i)!}, \quad i, j = 1, 2, \dots, n.$$

Das größte Element a'_{ij} ist zugleich betragsgrößtes und steht auf der Diagonalen.

n	Spektral- kondition $\text{cond}_2(A)$	$A^{-1} = (a'_{ij}), \quad \tilde{A}^{-1} = (\tilde{a}'_{ij})$ $\tilde{a}'_{kk}, k = n, n-1, n-2, \dots$ betragsgrößtes & größtes $\tilde{a}'_{ij} = \mathcal{O}(\) \quad \begin{matrix} \tilde{a}'_{ij} \\ a'_{ij} \end{matrix}$	$I - A\tilde{A}^{-1}$ $\ I - A\tilde{A}^{-1}\ _F$ $I - AA^{-1}$ $\ I - AA^{-1}\ _F$	$\max_{i,j} \tilde{a}'_{ij} - a'_{ij} $ Stelle (i_{max}, j_{max})
2	$1.928 \cdot 10^1$ (a) (b) (c)	$10^1 \quad \begin{matrix} \tilde{a}'_{22} = 12.000000000000000 \\ \tilde{a}'_{22} = 12.000000000000000 \\ \tilde{a}'_{22} = 12 \\ a'_{22} = 12 \end{matrix}$	$\begin{matrix} 0 \\ 6.280 \cdot 10^{-16} \\ 0 \\ 0 \end{matrix}$	$\begin{matrix} 3.553 \cdot 10^{-15} \quad (2,2) \\ 1.776 \cdot 10^{-15} \quad (2,2) \\ 0 \end{matrix}$
3	$5.241 \cdot 10^2$ (a) (b) (c)	$10^2 \quad \begin{matrix} 1.9200000000000007 \cdot 10^2 \\ 1.9200000000000007 \cdot 10^2 \\ 1.92 \cdot 10^2 \\ 1.92 \cdot 10^2 \end{matrix}$	$\begin{matrix} 1.787 \cdot 10^{-14} \\ 1.013 \cdot 10^{-14} \\ 0 \\ 0 \end{matrix}$	$\begin{matrix} 6.821 \cdot 10^{-13} \quad (2,2) \\ 7.105 \cdot 10^{-13} \quad (2,2) \\ 0 \end{matrix}$
4	$1.551 \cdot 10^4$ (a) (b) (c)	$10^3 \quad \begin{matrix} 6.479999999999403 \cdot 10^3 \\ 6.479999999999434 \cdot 10^3 \\ 6.48 \cdot 10^3 \\ 6.48 \cdot 10^3 \end{matrix}$	$\begin{matrix} 6.332 \cdot 10^{-13} \\ 3.061 \cdot 10^{-13} \\ 5.684 \cdot 10^{-14} \\ 5.684 \cdot 10^{-14} \end{matrix}$	$\begin{matrix} 5.966 \cdot 10^{-10} \quad (3,3) \\ 5.657 \cdot 10^{-10} \quad (3,3) \\ 0 \end{matrix}$
5	$4.766 \cdot 10^5$ (a) (b) (c)	$10^5 \quad \begin{matrix} 1.791999999999916 \cdot 10^5 \\ 1.7919999999994423 \cdot 10^5 \\ 1.792 \cdot 10^5 \\ 1.792 \cdot 10^5 \end{matrix}$	$\begin{matrix} 1.539 \cdot 10^{-11} \\ 6.531 \cdot 10^{-12} \\ 3.638 \cdot 10^{-12} \\ 3.638 \cdot 10^{-12} \end{matrix}$	$\begin{matrix} 1.438 \cdot 10^{-8} \quad (4,3) \\ 5.577 \cdot 10^{-7} \quad (4,4) \\ 0 \end{matrix}$
6	$1.495 \cdot 10^7$ (a) (b) (c)	$10^6 \quad \begin{matrix} 4.410000000447804 \cdot 10^6 \\ 4.410000000176569 \cdot 10^6 \\ 4.41 \cdot 10^6 \\ 4.41 \cdot 10^6 \end{matrix}$	$\begin{matrix} 2.536 \cdot 10^{-9} \\ 2.121 \cdot 10^{-10} \\ 1.455 \cdot 10^{-11} \\ 1.455 \cdot 10^{-11} \end{matrix}$	$\begin{matrix} 4.478 \cdot 10^{-4} \quad (5,5) \\ 1.766 \cdot 10^{-4} \quad (5,5) \\ 9.095 \cdot 10^{-13} \quad (1,5) \end{matrix}$

n	Spektral- kondition $\text{cond}_2(A)$	$A^{-1} = (a'_{ij}), \tilde{A}^{-1} = (\tilde{a}'_{ij})$ $\tilde{a}'_{kk}, k = n, n-1, n-2, \dots$ betragsgrößtes & größtes $\tilde{a}'_{ij} = \mathcal{O}(\) \quad \begin{matrix} \tilde{a}'_{ij} \\ a'_{ij} \end{matrix}$	$I - A\tilde{A}^{-1}$ $\ I - A\tilde{A}^{-1}\ _F$ $I - AA^{-1}$ $\ I - AA^{-1}\ _F$	$\max_{i,j} \tilde{a}'_{ij} - a'_{ij} $ Stelle (i_{max}, j_{max})
7	$4.754 \cdot 10^8$ (a) (b) (c)	10^8 $1.334025004360048 \cdot 10^8$ $1.334025006743926 \cdot 10^8$ $1.334025 \cdot 10^8$ $1.334025 \cdot 10^8$	$1.019 \cdot 10^{-7}$ $5.341 \cdot 10^{-9}$ $5.209 \cdot 10^{-10}$ $3.883 \cdot 10^{-9}$	$4.360 \cdot 10^{-1}$ (5,5) $6.744 \cdot 10^{-1}$ (5,5) $7.451 \cdot 10^{-9}$ (4,6)
8	$1.526 \cdot 10^{10}$ (a) (b) (c)	10^9 $4.249941660559195 \cdot 10^9$ $4.249942391421277 \cdot 10^9$ $4.249941696 \cdot 10^9$ $4.249941696 \cdot 10^9$	$3.165 \cdot 10^{-6}$ $3.350 \cdot 10^{-7}$ $6.667 \cdot 10^{-8}$ $1.738 \cdot 10^{-7}$	$3.544 \cdot 10^1$ (6,6) $6.954 \cdot 10^2$ (6,6) $4.768 \cdot 10^{-7}$ (6,5)
9	$4.932 \cdot 10^{11}$ (a) (b) (c)	10^{11} $1.223670500662108 \cdot 10^{11}$ $1.223678174141008 \cdot 10^{11}$ $1.223674452 \cdot 10^{11}$ $1.223674452 \cdot 10^{11}$	$7.788 \cdot 10^{-5}$ $1.263 \cdot 10^{-5}$ $2.731 \cdot 10^{-7}$ $5.870 \cdot 10^{-7}$	$3.951 \cdot 10^5$ (7,7) $3.722 \cdot 10^5$ (7,7) $1.907 \cdot 10^{-6}$ (9,6)
10	$1.603 \cdot 10^{13}$ (a) (b) (c)	10^{12} $3.480307538227295 \cdot 10^{12}$ $3.479990271992993 \cdot 10^{12}$ $3.4806739968 \cdot 10^{12}$ $3.4806739968 \cdot 10^{12}$	$2.631 \cdot 10^{-3}$ $2.259 \cdot 10^{-4}$ $2.865 \cdot 10^{-5}$ $1.545 \cdot 10^{-4}$	$3.657 \cdot 10^8$ (7,7) $1.093 \cdot 10^8$ (7,7) $4.883 \cdot 10^{-4}$ (8,7)
11	$5.225 \cdot 10^{14}$ (a) (b) (c)	10^{14} $1.173253413258971 \cdot 10^{14}$ $1.176028150914772 \cdot 10^{14}$ $1.1764301193216 \cdot 10^{14}$ $1.1764301193216 \cdot 10^{14}$	$6.990 \cdot 10^{-2}$ $7.982 \cdot 10^{-3}$ $1.632 \cdot 10^{-3}$ $1.631 \cdot 10^{-3}$	$3.177 \cdot 10^{11}$ (8,8) $4.020 \cdot 10^{10}$ (8,8) $4.883 \cdot 10^{-4}$ (6,5)
12	$1.735 \cdot 10^{16}$ (a) (b) (c)	10^{15} $3.377682208218081 \cdot 10^{15}$ $3.617578335565005 \cdot 10^{15}$ $3.65944915908 \cdot 10^{15}$ $3.65944915908 \cdot 10^{15}$	$1.177 \cdot 10^1$ $2.329 \cdot 10^{-1}$ $5.955 \cdot 10^{-2}$ $1.289 \cdot 10^{-1}$	$2.818 \cdot 10^{14}$ (9,9) $4.187 \cdot 10^{13}$ (9,9) $5.000 \cdot 10^{-1}$ (10,9)

Tab. 4.3 Berechnungen für die Hilbert-Matrix mit MATLAB (*double* Präzision)A=hilb(n), 3 Varianten der Ermittlung der Näherungsinversen \tilde{A}^{-1}

(a) inv(A)

(b) A\I

(c) invhilb(n)

Die MATLAB-Inversen-Variante A\I ist mit einer Ausnahme bei $n = 2$ für alle Dimensionen bezüglich der Fehlergröße $\|I - A\tilde{A}^{-1}\|_F$ günstiger. Das überträgt sich aber nicht zwingend auf die Abweichung $\max_{i,j} |\tilde{a}'_{ij} - a'_{ij}|$. Diese kann im Vergleich mit der Variante inv(A) besser oder schlechter sein.

Bechten wir noch folgendes Kuriosum.

Das Kommando `invhilb(n)` erzeugt die exakte Hilbert-Matrix bis zur Dimension von ca $n = 15$ (Information aus MATLAB-Online-Hilfe).

Die eigentlich richtige Berechnungsformel der ganzzahligen Elemente der Inversen $A^{-1} = (a'_{ij})$ beginnt bei $n = 6$ wegen der großen Werte von Fakultäten und der numerischen Rechnung mit den Quotienten aus Fakultäten, in der letzten Mantissenstelle kleine Fehler zu erzeugen. Das wird erstens sichtbar daran, dass der Wert $\|I - A\hat{A}^{-1}\|_F$ mit $\hat{A}^{-1} = (\hat{a}'_{ij}) = \text{invhilb}(n)$, nachdem er anfangs noch mit dem Wert $\|I - AA^{-1}\|_F$ übereinstimmt, dann aber bei wachsendem $n \geq 6$ meist kleiner ist als dieser.

Zweitens wird für $\hat{A}^{-1} = (\hat{a}'_{ij})$ eine nicht verschwindende Größe $\max_{i,j} |\hat{a}'_{ij} - a'_{ij}|$ durch die fehlerhafte numerische Berechnung der sehr groß werdenden Elemente a'_{ij} von A^{-1} verursacht, nicht durch die Elemente \hat{a}'_{ij} von \hat{A}^{-1} .

Die Auswirkungen dieser beginnenden Ungenauigkeit sind jedoch noch nicht so gravierend. Es gilt weiterhin für die beiden anderen Näherungsinversen $\max_{i,j} |\tilde{a}'_{ij} - a'_{ij}| = \max_{i,j} |\tilde{a}'_{ij} - \hat{a}'_{ij}|$.

Wir betrachten für $n = 6, 7, \dots, 12, \dots, 16$ die Abweichungen zwischen den Matrizen A^{-1} und \hat{A}^{-1} . Die Beträge der Elemente der Differenzmatrix sind größenordnungsmäßig angegeben. Für $n = 6$ sind zusätzlich die beiden Matrizen A^{-1} und \hat{A}^{-1} als Ergebnis und Ausgabe in einem MATLAB-File notiert. Es ist eine Stelle (1,5) in der Matrix mit der Abweichung $\approx 10^{-12}$ erkennbar. Für $n > 6$ ist die Anzahl solcher Stellen größer.

```

invA =
Columns 1 through 3
 3.600000000000000e+001   -6.300000000000000e+002   3.360000000000000e+003
 -6.300000000000000e+002   1.470000000000000e+004   -8.820000000000000e+004
 3.360000000000000e+003   -8.820000000000000e+004   5.644800000000000e+005
 -7.560000000000000e+003   2.116800000000000e+005   -1.411200000000000e+006
 7.560000000000000e+003   -2.205000000000000e+005   1.512000000000000e+006
 -2.772000000000000e+003   8.316000000000000e+004   -5.821200000000000e+005
Columns 4 through 6
 -7.560000000000000e+003   7.560000000000001e+003   -2.772000000000000e+003
 2.116800000000000e+005   -2.205000000000000e+005   8.316000000000000e+004
 -1.411200000000000e+006   1.512000000000000e+006   -5.821200000000000e+005
 3.628800000000000e+006   -3.969000000000000e+006   1.552320000000000e+006
 -3.969000000000000e+006   4.410000000000000e+006   -1.746360000000000e+006
 1.552320000000000e+006   -1.746360000000000e+006   6.985440000000000e+005

```

```

ans =
    36    -630    3360    -7560    7560    -2772
   -630    14700   -88200    211680   -220500    83160
   3360   -88200    564480   -1411200    1512000   -582120
  -7560    211680   -1411200    3628800   -3969000    1552320
   7560   -220500    1512000   -3969000    4410000   -1746360
  -2772    83160   -582120    1552320   -1746360    698544

```

$$|A^{-1} - \hat{A}^{-1}|(6,6) = \begin{pmatrix} 0 & 0 & 0 & 0 & 9 \cdot 10^{-13} & 0 \\ 0 & 0 & 0 & 0 & 0 & 0 \\ 0 & 0 & 0 & 0 & 0 & 0 \\ 0 & 0 & 0 & 0 & 0 & 0 \\ 0 & 0 & 0 & 0 & 0 & 0 \\ 0 & 0 & 0 & 0 & 0 & 0 \end{pmatrix}$$

n	Spektral- kondition $\text{cond}_2(A)$ $\tilde{a}'_{ij} = \mathcal{O}(\)$	$A^{-1} = (a'_{ij}), \tilde{A}^{-1} = (\tilde{a}'_{ij})$ $\tilde{a}'_{kk}, k = n, n-1, n-2, \dots$ betragsgrößtes & größtes Digits \tilde{a}'_{ij} a'_{ij}	$I - A\tilde{A}^{-1}$ $\ I - A\tilde{A}^{-1}\ _F$ $I - AA^{-1}$ $\ I - AA^{-1}\ _F$	$\max_{i,j} \tilde{a}'_{ij} - a'_{ij} $ Stelle (i_{max}, j_{max})
2	$1.928 \cdot 10^1$	(a) 15 $\tilde{a}'_{22} = 12.00000000000000$	$2.236 \cdot 10^{-14}$	$2.0 \cdot 10^{-14}$ (1,2)
		(b) $\tilde{a}'_{22} = 12.00000000000000$	$2.236 \cdot 10^{-14}$	$2.0 \cdot 10^{-14}$ (1,2)
		$a'_{22} = 12$	0	
		(a) 16 $\tilde{a}'_{22} = 12.00000000000000$	$2.236 \cdot 10^{-15}$	$2.0 \cdot 10^{-15}$ (1,2)
		(b) $\tilde{a}'_{22} = 12.00000000000000$	$2.236 \cdot 10^{-15}$	$2.0 \cdot 10^{-15}$ (1,2)
		$a'_{22} = 12$	0	
3	$5.241 \cdot 10^2$	(a) 15 $1.920000000000043 \cdot 10^2$	$9.489 \cdot 10^{-13}$	$4.3 \cdot 10^{-11}$ (2,2)
		(b) $1.920000000000017 \cdot 10^2$	$4.823 \cdot 10^{-13}$	$1.7 \cdot 10^{-11}$ (2,2)
		$1.92 \cdot 10^2$	$2.002 \cdot 10^{-13}$	
		(a) 16 $1.920000000000042 \cdot 10^2$	$9.216 \cdot 10^{-14}$	$4.2 \cdot 10^{-12}$ (2,2)
		(b) $1.920000000000017 \cdot 10^2$	$4.823 \cdot 10^{-14}$	$1.7 \cdot 10^{-12}$ (2,2)
		$1.92 \cdot 10^2$	$2.002 \cdot 10^{-14}$	
4	$1.551 \cdot 10^4$	(a) 15 $6.48000000013342 \cdot 10^3$	$1.462 \cdot 10^{-10}$	$1.3 \cdot 10^{-7}$ (3,3)
		(b) $6.4800000001909 \cdot 10^3$	$6.933 \cdot 10^{-12}$	$1.9 \cdot 10^{-8}$ (3,3)
		$6.48 \cdot 10^3$	$3.005 \cdot 10^{-12}$	
		(a) 16 $6.479999999965381 \cdot 10^3$	$3.202 \cdot 10^{-11}$	$3.5 \cdot 10^{-8}$ (3,3)
		(b) $6.48000000001405 \cdot 10^3$	$5.925 \cdot 10^{-13}$	$1.4 \cdot 10^{-9}$ (3,3)
		$6.48 \cdot 10^3$	$3.165 \cdot 10^{-13}$	
5	$4.766 \cdot 10^5$	(a) 15 $1.79200000014538 \cdot 10^5$	$2.294 \cdot 10^{-10}$	$1.5 \cdot 10^{-5}$ (4,4)
		(b) $1.79200000009294 \cdot 10^5$	$2.377 \cdot 10^{-10}$	$9.3 \cdot 10^{-6}$ (4,4)
		$1.792 \cdot 10^5$	$4.473 \cdot 10^{-11}$	
		(a) 16 $1.79199999999424 \cdot 10^5$	$2.015 \cdot 10^{-11}$	$5.8 \cdot 10^{-8}$ (4,4)
		(b) $1.79199999994192 \cdot 10^5$	$2.177 \cdot 10^{-11}$	$5.8 \cdot 10^{-7}$ (4,4)
		$1.792 \cdot 10^5$	$1.755 \cdot 10^{-11}$	
5	10^5	(a) 17 $1.792000000007003 \cdot 10^5$	$2.202 \cdot 10^{-12}$	$7.0 \cdot 10^{-8}$ (4,4)
		(b) $1.792000000001743 \cdot 10^5$	$2.069 \cdot 10^{-12}$	$1.7 \cdot 10^{-8}$ (4,4)
		$1.792 \cdot 10^5$	$1.123 \cdot 10^{-12}$	

n	Spektral- kondition $\text{cond}_2(A)$ $\tilde{a}'_{ij} = \mathcal{O}(\)$	$A^{-1} = (a'_{ij}), \tilde{A}^{-1} = (\tilde{a}'_{ij})$ $\tilde{a}'_{kk}, k = n, n-1, n-2, \dots$ betragsgrößtes & größtes Digits \tilde{a}'_{ij} a'_{ij}	$I - A\tilde{A}^{-1}$ $\ I - A\tilde{A}^{-1}\ _F$ $I - AA^{-1}$ $\ I - AA^{-1}\ _F$	$\max_{i,j} \tilde{a}'_{ij} - a'_{ij} $ Stelle (i_{max}, j_{max})		
6	$1.495 \cdot 10^7$ 10^6	(a)	15	$4.41000000543852 \cdot 10^6$	$3.211 \cdot 10^{-9}$	$5.4 \cdot 10^{-3}$ (5,5)
		(b)		$4.41000000414500 \cdot 10^6$ $4.41 \cdot 10^6$	$4.951 \cdot 10^{-9}$ $3.271 \cdot 10^{-9}$	$4.1 \cdot 10^{-3}$ (5,5)
		(a)	16	$4.409999999696157 \cdot 10^6$	$2.759 \cdot 10^{-10}$	$3.0 \cdot 10^{-4}$ (5,5)
		(b)		$4.409999999696157 \cdot 10^6$ $4.41 \cdot 10^6$	$2.759 \cdot 10^{-10}$ $4.220 \cdot 10^{-10}$	$4.4 \cdot 10^{-4}$ (5,5)
		(a)	17	$4.4100000000163323 \cdot 10^6$	$3.381 \cdot 10^{-11}$	$1.6 \cdot 10^{-5}$ (5,5)
		(b)		$4.409999999987944 \cdot 10^6$ $4.41 \cdot 10^6$	$5.012 \cdot 10^{-11}$ $3.218 \cdot 10^{-11}$	$1.2 \cdot 10^{-6}$ (5,5)
7	$4.754 \cdot 10^8$ 10^8	(a)	15	$1.33402502707438 \cdot 10^8$	$2.351 \cdot 10^{-7}$	$2.7 \cdot 10^0$ (5,5)
		(b)		$1.33402503505121 \cdot 10^8$ $1.334025 \cdot 10^8$	$2.235 \cdot 10^{-7}$ $3.292 \cdot 10^{-8}$	$3.5 \cdot 10^0$ (5,5)
		(a)	16	$1.334025002310484 \cdot 10^8$	$1.799 \cdot 10^{-8}$	$2.3 \cdot 10^{-1}$ (5,5)
		(b)		$1.334025000023068 \cdot 10^8$ $1.334025 \cdot 10^8$	$2.481 \cdot 10^{-8}$ $1.147 \cdot 10^{-8}$	$6.2 \cdot 10^{-3}$ (6,6)
		(a)	17	$1.3340250004395298 \cdot 10^8$	$2.310 \cdot 10^{-9}$	$4.4 \cdot 10^{-2}$ (5,5)
		(b)		$1.3340250001949108 \cdot 10^8$ $1.334025 \cdot 10^8$	$1.962 \cdot 10^{-9}$ $4.318 \cdot 10^{-10}$	$1.9 \cdot 10^{-2}$ (5,5)
8	$1.526 \cdot 10^{10}$ 10^9	(a)	15	$4.24994113467916 \cdot 10^9$	$3.965 \cdot 10^{-6}$	$5.6 \cdot 10^2$ (6,6)
		(b)		$4.24994321990471 \cdot 10^9$ $4.249941696 \cdot 10^9$	$3.963 \cdot 10^{-6}$ $2.360 \cdot 10^{-6}$	$1.5 \cdot 10^3$ (6,6)
		(a)	16	$4.249941691625708 \cdot 10^9$	$3.537 \cdot 10^{-7}$	$4.4 \cdot 10^0$ (6,6)
		(b)		$4.249941739956877 \cdot 10^9$ $4.249941696 \cdot 10^9$	$2.839 \cdot 10^{-7}$ $2.015 \cdot 10^{-7}$	$4.4 \cdot 10^1$ (6,6)
		(a)	17	$4.2499417234344538 \cdot 10^9$	$4.234 \cdot 10^{-8}$	$2.7 \cdot 10^1$ (6,6)
		(b)		$4.2499417087123128 \cdot 10^9$ $4.249941696 \cdot 10^9$	$3.793 \cdot 10^{-8}$ $1.789 \cdot 10^{-8}$	$1.3 \cdot 10^1$ (6,6)
9	$4.932 \cdot 10^{11}$ 10^{11}	(a)	15	$1.22364051141666 \cdot 10^{11}$	$1.967 \cdot 10^{-4}$	$3.4 \cdot 10^6$ (7,7)
		(b)		$1.22366977400762 \cdot 10^{11}$ $1.223674452 \cdot 10^{11}$	$2.317 \cdot 10^{-4}$ $5.432 \cdot 10^{-5}$	$4.7 \cdot 10^5$ (7,7)
		(a)	16	$1.223674699766789 \cdot 10^{11}$	$1.463 \cdot 10^{-5}$	$2.5 \cdot 10^4$ (7,7)
		(b)		$1.223674571141203 \cdot 10^{11}$ $1.223674452 \cdot 10^{11}$	$1.380 \cdot 10^{-5}$ $1.170 \cdot 10^{-5}$	$1.2 \cdot 10^4$ (7,7)
		(a)	17	$1.2236743339251794 \cdot 10^{11}$	$1.099 \cdot 10^{-6}$	$1.2 \cdot 10^4$ (7,7)
		(b)		$1.2236745060287829 \cdot 10^{11}$ $1.223674452 \cdot 10^{11}$	$3.065 \cdot 10^{-6}$ $5.228 \cdot 10^{-7}$	$5.4 \cdot 10^3$ (7,7)

n	Spektral- kondition $\text{cond}_2(A)$ $\tilde{a}'_{ij} = \mathcal{O}(\)$	$A^{-1} = (a'_{ij}), \tilde{A}^{-1} = (\tilde{a}'_{ij})$ $\tilde{a}'_{kk}, k = n, n-1, n-2, \dots$ betragsgrößtes & größtes Digits $\begin{matrix} \tilde{a}'_{ij} \\ a'_{ij} \end{matrix}$	$I - A\tilde{A}^{-1}$ $\ I - A\tilde{A}^{-1}\ _F$ $I - AA^{-1}$ $\ I - AA^{-1}\ _F$	$\max_{i,j} \tilde{a}'_{ij} - a'_{ij} $ Stelle (i_{max}, j_{max})	
10	$1.603 \cdot 10^{13}$ 10^{12}	(a) 15	$3.47653487719802 \cdot 10^{12}$	$5.354 \cdot 10^{-3}$	$4.1 \cdot 10^9$ (7,7)
		(b) 15	$3.47927125559676 \cdot 10^{12}$	$4.785 \cdot 10^{-3}$	$1.4 \cdot 10^9$ (7,7)
		(b) 15	$3.4806739968 \cdot 10^{12}$	$1.582 \cdot 10^{-3}$	
		(a) 16	$3.480716443744591 \cdot 10^{12}$	$4.775 \cdot 10^{-4}$	$4.2 \cdot 10^7$ (7,7)
		(b) 16	$3.480642393846225 \cdot 10^{12}$	$5.822 \cdot 10^{-4}$	$3.2 \cdot 10^7$ (7,7)
		(b) 16	$3.4806739968 \cdot 10^{12}$	$2.315 \cdot 10^{-4}$	
11	$5.225 \cdot 10^{14}$ 10^{14}	(a) 15	$1.14577323837776 \cdot 10^{14}$	$1.005 \cdot 10^{-1}$	$3.1 \cdot 10^{12}$ (8,8)
		(b) 15	$1.16564181793996 \cdot 10^{14}$	$1.481 \cdot 10^{-1}$	$1.1 \cdot 10^{12}$ (8,8)
		(b) 15	$1.1764301193216 \cdot 10^{14}$	$4.019 \cdot 10^{-2}$	
		(a) 16	$1.176327278727867 \cdot 10^{14}$	$8.812 \cdot 10^{-3}$	$1.0 \cdot 10^{10}$ (8,8)
		(b) 16	$1.175577806909240 \cdot 10^{14}$	$1.773 \cdot 10^{-2}$	$8.5 \cdot 10^{10}$ (8,8)
		(b) 16	$1.1764301193216 \cdot 10^{14}$	$4.383 \cdot 10^{-3}$	
12	$1.735 \cdot 10^{16}$ 10^{15}	(a) 15	$4.15301240808476 \cdot 10^{15}$	$4.396 \cdot 10^1$	$4.9 \cdot 10^{14}$ (9,9)
		(b) 15	$4.40133786946088 \cdot 10^{15}$	$4.784 \cdot 10^1$	$7.4 \cdot 10^{14}$ (9,9)
		(b) 15	$3.65944915908 \cdot 10^{15}$	$3.631 \cdot 10^{-1}$	
		(a) 16	$3.624788866216343 \cdot 10^{15}$	$5.322 \cdot 10^{-1}$	$3.5 \cdot 10^{13}$ (9,9)
		(b) 16	$3.604291780815086 \cdot 10^{15}$	$6.444 \cdot 10^{-1}$	$5.5 \cdot 10^{13}$ (9,9)
		(b) 16	$3.65944915908 \cdot 10^{15}$	$1.771 \cdot 10^{-1}$	
	(a) 17	$3.6204566466454548 \cdot 10^{15}$	$5.000 \cdot 10^{-2}$	$3.9 \cdot 10^{13}$ (9,9)	
	(b) 17	$3.6667277301253598 \cdot 10^{15}$	$4.635 \cdot 10^{-2}$	$7.3 \cdot 10^{12}$ (9,9)	
	(b) 17	$3.65944915908 \cdot 10^{15}$	$1.473 \cdot 10^{-2}$		

Tab. 4.4 Berechnungen für die Hilbert-Matrix mit Maple, Digits=15,16,17

`A:=hilbert(n)`

2 Varianten der Ermittlung der Näherungsinversen \tilde{A}^{-1}

(a) `inverse(A)`

(b) `linsolve(A,I)`

Einige Bemerkungen zum Vergleich der Rechnungen.

MATLAB liegt bezüglich der Güte der Ergebnisse in der Nähe der numerischen Rechnung mit Maple bei `Digits=16`.

Die Maple-Inversen-Variante `linsolve(A,I)` ist für die meisten Dimensionen bezüglich der Fehlergröße $\|I - A\tilde{A}^{-1}\|_F$ günstiger als `inverse(A)`. Das überträgt sich aber nicht zwingend auf die Abweichung $\max_{i,j} |\tilde{a}'_{ij} - a'_{ij}|$. Diese kann im Vergleich mit der von der Variante `inverse(A)` besser oder schlechter sein.

Erstaunlich ist, dass in beiden CAS trotz betragsgroßer Matrixelemente \tilde{a}'_{ij} , a'_{ij} und erheblicher Abweichungen zwischen \tilde{A}^{-1} und A^{-1} , das heißt $\max_{i,j} |\tilde{a}'_{ij} - a'_{ij}| \gg 1$, im Matrixprodukt $A\tilde{A}^{-1}$ Fehler kompensiert werden und es nahe der Einheitsmatrix liegt, was hier mit der Norm $\|I - A\tilde{A}^{-1}\|_F \ll 1$ unterstrichen wird.

4.3 Matrix 6

Nicht symmetrische ganzzahlige Boothroyd/Dekker-Matrix

$$A = (a_{ij}), \quad a_{ij} = \binom{n+i-1}{i-1} \binom{n-1}{n-j} \frac{n}{i+j-1} = \frac{(n+i-1)!}{(n-j)!(i-1)!(j-1)!(i+j-1)}$$

mit $\det(A) = 1$ sowie der Inversen $A^{-1} = (a'_{ij})$ und ihren Elementen

$$a'_{ij} = (-1)^{i+j} a_{ij}, \quad i, j = 1, 2, \dots, n.$$

Bemerkungen zum betragsgrößten und größten Element mit Indizes in A^{-1} .

Die exakte Inverse enthält Elemente abwechselnd > 0 und < 0 . Das betragsgrößte Element steht immer in der letzten Zeile sowie dort in der Mitte, falls n ungerade ist, vor der Mitte, falls n gerade ist. Es ist positiv oder negativ je nach Teilbarkeit von n bzw. $n+1$ durch 2 oder 4. Falls das betragsgrößte Element der inversen Matrix negativ ist, steht das größte - es ist dann positiv - links oder rechts daneben.

n	Spektral- kondition $\text{cond}_2(A)$	$A^{-1} = (a'_{ij}), \quad \tilde{A}^{-1} = (\tilde{a}'_{ij})$ $\tilde{a}'_{nk}, \quad k \approx \frac{n}{2}$ betragsgrößtes & größtes $\tilde{a}'_{ij} = \mathcal{O}(\quad)$ \tilde{a}'_{ij} $a'_{ij} = \mathcal{O}(\quad)$ a'_{ij}	$I - A\tilde{A}^{-1}$ $\ I - A\tilde{A}^{-1}\ _F$ $I - AA^{-1}$ $\ I - AA^{-1}\ _F$	$\max_{i,j} \tilde{a}'_{ij} - a'_{ij} $ Stelle (i_{max}, j_{max})
7	1.825 10^9 (a)	10^4 $\tilde{a}'_{7,4} = -2.402399997803248 \cdot 10^4$ $\tilde{a}'_{7,3} = 2.001999998130650 \cdot 10^4$	$3.430 \cdot 10^{-8}$	$2.2 \cdot 10^{-5}$ (7,4)
	(b)	$\tilde{a}'_{7,4} = -2.402399997803248 \cdot 10^4$ $\tilde{a}'_{7,3} = 2.001999998130650 \cdot 10^4$	$7.092 \cdot 10^{-9}$	$2.2 \cdot 10^{-5}$ (7,4)
		10^4 $a'_{7,4} = -24024$ $a'_{7,3} = 20020$	0	
10	$2.678 \cdot 10^{14}$ (a)	10^7 $\tilde{a}'_{10,5} = -8.314008208578656 \cdot 10^6$ $\tilde{a}'_{10,6} = 7.759740958680756 \cdot 10^6$	$6.916 \cdot 10^{-3}$	$1.2 \cdot 10^1$ (10,5)
	(b)	$\tilde{a}'_{10,5} = -8.314008208578656 \cdot 10^6$ $\tilde{a}'_{10,6} = 7.759740958680756 \cdot 10^6$	$6.471 \cdot 10^{-4}$	$1.2 \cdot 10^1$ (10,5)
		10^7 $a'_{10,5} = -8314020$ $a'_{10,6} = 7759752$	0	
11	$1.472 \cdot 10^{16}$ (a)	10^8 $\tilde{a}'_{11,6} = -6.102139250095709 \cdot 10^7$ $\tilde{a}'_{11,5} = 5.424006627350676 \cdot 10^7$	$3.085 \cdot 10^0$	$8.7 \cdot 10^4$ (11,6)
	(b)	$\tilde{a}'_{11,6} = -6.102139250095708 \cdot 10^7$ $\tilde{a}'_{11,5} = 5.424006627350676 \cdot 10^7$	$4.531 \cdot 10^{-2}$	$8.7 \cdot 10^4$ (11,6)
		10^8 $a'_{11,6} = -61108047$ $a'_{11,5} = 54318264$	0	

n	Spektral- kondition $\text{cond}_2(A)$	$A^{-1} = (a'_{ij}), \tilde{A}^{-1} = (\tilde{a}'_{ij})$ $\tilde{a}'_{nk}, k \approx \frac{n}{2}$ betragsgrößtes & größtes $\tilde{a}'_{ij} = \mathcal{O}(\)$ \tilde{a}'_{ij} $a'_{ij} = \mathcal{O}(\)$ a'_{ij}	$I - A\tilde{A}^{-1}$ $\ I - A\tilde{A}^{-1}\ _F$ $I - AA^{-1}$ $\ I - AA^{-1}\ _F$	$\max_{i,j} \tilde{a}'_{ij} - a'_{ij} $ Stelle (i_{max}, j_{max})
12	8.204 10 ¹⁷ (a)	10 ⁸ $\tilde{a}'_{12,6} = 4.521989154202473 \cdot 10^8$ $\tilde{a}'_{12,6} = 4.521989154202473 \cdot 10^8$	2.546 10 ²	1.1 10 ⁷ (12,6)
	(b)	$\tilde{a}'_{12,6} = 4.521989154202473 \cdot 10^8$ $\tilde{a}'_{12,6} = 4.521989154202473 \cdot 10^8$	2.047 10 ⁰	1.1 10 ⁷ (12,6)
		10 ⁸ $a'_{12,6} = 440936496$ $a'_{12,6} = 440936496$	2.404 10 ⁰	
13	4.627 10 ¹⁹ (a)	10 ⁹ $\tilde{a}'_{13,7} = 2.582618743887998 \cdot 10^9$ $\tilde{a}'_{13,7} = 2.582618743887998 \cdot 10^9$	1.032 10 ⁴	7.1 10 ⁸ (13,7)
	(b)	$\tilde{a}'_{13,7} = 2.582618743887998 \cdot 10^9$ $\tilde{a}'_{13,7} = 2.582618743887998 \cdot 10^9$	1.002 10 ²	7.1 10 ⁸ (13,7)
		10 ⁹ $a'_{13,7} = 3287684400$ $a'_{13,7} = 3287684400$	4.485 10 ¹	
16	8.754 10 ²⁴ (a)	10 ⁹ $\tilde{a}'_{16,6} = 1.406404323527516 \cdot 10^9$ $\tilde{a}'_{16,6} = 1.406404323527516 \cdot 10^9$	1.128 10 ⁵	1.3 10 ¹² (16,8)
	(b)	$\tilde{a}'_{16,6} = 1.406404323527516 \cdot 10^9$ $\tilde{a}'_{16,6} = 1.406404323527516 \cdot 10^9$	4.831 10 ²	1.3 10 ¹² (16,8)
		10 ¹² $a'_{16,8} = 1345374716400$ $a'_{16,8} = 1345374716400$	3.578 10 ⁶	
19	1.756 10 ³⁰ (a)	10 ⁸ $\tilde{a}'_{19,4} = 1.110921315852490 \cdot 10^8$ $\tilde{a}'_{19,4} = 1.110921315852490 \cdot 10^8$	9.375 10 ⁷	5.8 10 ¹⁴ (19,10)
	(b)	$\tilde{a}'_{19,4} = 1.110921315852490 \cdot 10^8$ $\tilde{a}'_{19,4} = 1.110921315852490 \cdot 10^8$	1.776 10 ⁴	5.8 10 ¹⁴ (19,10)
		10 ¹⁵ $a'_{19,10} = -583057996306500$ $a'_{19,9} = 544187463219400$	3.034 10 ¹¹	

Tab. 4.5 Berechnungen für die Boothroyd/Dekker-Matrix mit MATLAB (*double* Präzision)

$A=(a(i,j)), a(i,j)=\text{factorial}(n+i-1)/(\text{factorial}(n-j)*$
 $\text{factorial}(i-1)*\text{factorial}(j-1)*(i+j-1))$

2 Varianten der Ermittlung der Näherungsinversen \tilde{A}^{-1}

(a) `inv(A)`

(b) `A\I`

Die MATLAB-Inversen-Variante $A \setminus I$ ist für alle Dimensionen n bezüglich der Fehlergröße $\|I - A\tilde{A}^{-1}\|_F$ günstiger. Das überträgt sich aber nicht auf die Abweichung $\max_{i,j} |\tilde{a}'_{ij} - a'_{ij}|$. Beide Varianten $\text{inv}(A)$ und $A \setminus I$ zeigen diesbezüglich sowie bei den betragsgrößten bzw. größten Elemente keine Unterschiede.

Dabei übersieht man jedoch, dass die "Dominanz" dieser Elemente andere Abweichungen überspielen kann, denn die inversen Matrizen $A_1 = \text{inv}(A)$ und $A_2 = A \setminus I$ sind natürlich i. Allg. nicht gleich. Ab $n = 13$ beginnen in beiden Inversen-Varianten deutliche Unterschiede (in Größenordnungen) zur exakten Inversen.

Wir berechnen für einige Dimensionen n den Unterschied $D_n = \max_{i,j} |\tilde{a}'_{1ij} - \tilde{a}'_{2ij}|$ zwischen den beiden Näherungsinversen A_1 und A_2 sowie die realisierenden Indizes.

n	D_n	(i, j)
4	1.865174681370263e-014	(1, 3)
7	2.570033075244282e-011	(1, 3)
10	9.793998856366670e-008	(1, 5)
11	9.406556955582346e-007	(1, 6)
12	1.592369113723180e-005	(1, 8)
13	7.230216124298750e-005	(1, 7)
16	1.581774070018582e-004	(1, 6)
19	1.037275374340396e-004	(1, 8)
22	1.440906242464735e-004	(1, 5)

Die maximalen Abweichungen entstehen also fern von den betragsgrößten Elementen der inversen Matrizen.

Betrachten wir auch beispielhaft für die Dimension $n = 12$ die 6. Spalte und für die Dimension $n = 13$ die 7. Spalte der Inversen sowie der beiden Näherungsinversen. Dort stimmen zumindest noch die Größenordnung der Matrixelemente überein. Bei den nächsten Werten n ist das nicht so.

n=12

A^{-1}	$\text{inv}(A)$	$A \setminus I$
-924	-9.424289586165644e+002	-9.424289548134138e+002
10296	1.051213286678806e+004	1.051213286884418e+004
-63063	-6.444000090316839e+004	-6.444000090196565e+004
280280	2.865949975834668e+005	2.865949975835494e+005
-1009008	-1.032331825904341e+006	-1.032331825904108e+006
3118752	3.192398659229155e+006	3.192398659229037e+006
-8576568	-8.782788173066258e+006	-8.782788173066394e+006
21488544	2.201329816511807e+007	2.201329816511814e+007
-49884120	-5.111879391577423e+007	-5.111879391577417e+007
108636528	1.113572475107842e+008	1.113572475107841e+008
-224062839	-2.297330598804583e+008	-2.297330598804583e+008
440936496	4.521989154202473e+008	4.521989154202473e+008

n=13

A^{-1}	$\text{inv}(A)$	$A \setminus I$
1716	1.388467732310838e+003	1.388467804612999e+003
-21021	-1.692405075335563e+004	-1.692405074531063e+004
140140	1.123596341455393e+005	1.123596341368700e+005
-672672	-5.374406940344826e+005	-5.374406940276994e+005
2598960	2.070272567659576e+006	2.070272567655773e+006
-8576568	-6.814273317412782e+006	-6.814273317412554e+006
25069968	1.987383791186230e+007	1.987383791186184e+007
-66512160	-5.262222003727139e+007	-5.262222003727179e+007
162954792	1.286985407755439e+008	1.286985407755439e+008
-373438065	-2.944732848269159e+008	-2.944732848269160e+008
808383576	6.365543556965237e+008	6.365543556965236e+008
-1665760096	-1.310028835859093e+009	-1.310028835859093e+009
3287684400	2.582618743887998e+009	2.582618743887998e+009

Dass bei $n = 13$ die kritische Situation beginnt, erkennt man am Verhalten der Determinanten. Theoretisch ist zwar $\det(A) = \det(A^{-1}) = 1$, aber in der numerischen Auswertung verursachen die wachsenden Fakultäten in den exakten Formeln für die Matrixelemente zunehmende Fehler.

So gilt

n	$\det(A)$	$\det(A^{-1})$	$\det(\text{inv}(A))$	$\det(A \setminus I)$
7	1	1	0.999999999602	0.999999999456
10	1	1	0.999982668299	1.000017644824
11	1	1	0.999071365173	1.001547713746
12	0.975756666110	0.975756666110	0.904307627535	0.994311302268
13	1.258639567682	1.258639567682	-2.098830350952	-0.145719914082
14	-67.258897094742	-67.258897094742	-0.021306833023	-0.062351987274

Bei numerischer Rechnung werden mit wachsender Dimension n sowohl A und A^{-1} als auch beide Varianten der Näherungsinversen gleichermaßen schnell “unbrauchbar“.

Mit den großen Einträgen in den Matrizen A und A^{-1} wird das Matrizenprodukt AA^{-1} zunehmend “ungenauer“ und damit auch die Kontrollgröße $\|I - AA^{-1}\|_F$.

Nun zu Rechnungen in Maple und Vergleichen mit MATLAB.

Für die anfänglichen Dimensionen $n = 7, 10, 11, 12, 13$ ist die Inversenberechnung mittels (b) `linsolve(A,I)` sehr genau. Sie ist so genau, dass sie sich bez. der Fehlergrößen nicht von denen mit A^{-1} unterscheidet. Hingegen verursacht die Variante (a) `inverse(A)` von Anfang an Ungenauigkeiten, die dann noch schnell anwachsen. Die MATLAB-Kommandos können also in diesem Bereich mit `linsolve(A,I)` nicht konkurrieren.

n	Spektral- kondition $\text{cond}_2(A)$ $\tilde{a}'_{ij} = \mathcal{O}(\)$ $a'_{ij} = \mathcal{O}(\)$	$A^{-1} = (a'_{ij}), \tilde{A}^{-1} = (\tilde{a}'_{ij})$ $\tilde{a}'_{nk}, k \approx \frac{n}{2}$ betragsgrößtes & größtes Digits \tilde{a}'_{ij} a'_{ij}	$I - A\tilde{A}^{-1}$ $\ I - A\tilde{A}^{-1}\ _F$ $I - AA^{-1}$ $\ I - AA^{-1}\ _F$	$\max_{i,j} \tilde{a}'_{ij} - a'_{ij} $ Stelle (i_{max}, j_{max})			
7	$1.825 \cdot 10^9$ 10^4	(a) 15	$\tilde{a}'_{7,4} = -24024.0007876353$ $\tilde{a}'_{7,3} = 20020.0006837867$	$2.527 \cdot 10^{-7}$	$7.9 \cdot 10^{-4}$ (7,4)		
		(b)	$\tilde{a}'_{7,4} = -24024.$ $\tilde{a}'_{7,3} = 20020.$	0	0		
	10^4	(a) 16	$\tilde{a}'_{7,4} = -24023.99987835507$ $\tilde{a}'_{7,3} = 20019.99989769968$	$2.025 \cdot 10^{-8}$	$1.2 \cdot 10^{-4}$ (7,4)		
		(b)	$\tilde{a}'_{7,4} = -24024.$ $\tilde{a}'_{7,3} = 20020.$	0	0		
		(a) 17	$\tilde{a}'_{7,4} = -24024.000000307290$ $\tilde{a}'_{7,3} = 20020.000000361726$	$1.164 \cdot 10^{-9}$	$3.6 \cdot 10^{-7}$ (7,3)		
		(b)	$\tilde{a}'_{7,4} = -24024.$ $\tilde{a}'_{7,3} = 20020.$	0	0		
			$a'_{7,4} = -24024$ $a'_{7,3} = 20020$	0			
		10	$2.678 \cdot 10^{14}$ 10^7	(a) 15	$\tilde{a}'_{10,5} = -8.31853308542213 \cdot 10^6$ $\tilde{a}'_{10,6} = 7.76397071308267 \cdot 10^6$	$1.450 \cdot 10^{-2}$	$4.5 \cdot 10^3$ (10,5)
				(b)	$\tilde{a}'_{10,5} = -8.314020 \cdot 10^6$ $\tilde{a}'_{10,6} = 7.759752 \cdot 10^6$	0	0
			10^7	(a) 16	$\tilde{a}'_{10,5} = -8.312814291485192 \cdot 10^6$ $\tilde{a}'_{10,6} = 7.758637309154823 \cdot 10^6$	$1.948 \cdot 10^{-3}$	$1.2 \cdot 10^3$ (10,5)
(b)	$\tilde{a}'_{10,5} = -8.314020 \cdot 10^6$ $\tilde{a}'_{10,6} = 7.759752 \cdot 10^6$			0	0		
(a) 17	$\tilde{a}'_{10,5} = -8.3141355559725266 \cdot 10^6$ $\tilde{a}'_{10,6} = 7.7598590807933210 \cdot 10^6$			$1.210 \cdot 10^{-4}$	$1.2 \cdot 10^2$ (10,5)		
(b)	$\tilde{a}'_{10,5} = -8.314020 \cdot 10^6$ $\tilde{a}'_{10,6} = 7.759752 \cdot 10^6$			0	0		
	$a'_{10,5} = -8314020$ $a'_{10,6} = 7759752$			0			

n	Spektral- kondition $\text{cond}_2(A)$ $\tilde{a}'_{ij} = \mathcal{O}(\)$ $a'_{ij} = \mathcal{O}(\)$	$A^{-1} = (a'_{ij}), \tilde{A}^{-1} = (\tilde{a}'_{ij})$ $\tilde{a}'_{nk}, k \approx \frac{n}{2}$ betragsgrößtes & größtes Digits \tilde{a}'_{ij} a'_{ij}	$I - A\tilde{A}^{-1}$ $\ I - A\tilde{A}^{-1}\ _F$ $I - AA^{-1}$ $\ I - AA^{-1}\ _F$	$\max_{i,j} \tilde{a}'_{ij} - a'_{ij} $ Stelle (i_{max}, j_{max})	
11	$1.472 \cdot 10^{16}$ (a)	15	$\tilde{a}'_{11,6} = -5.84962761361236 \cdot 10^7$	$6.560 \cdot 10^{-1}$	$2.6 \cdot 10^6$ (11,6)
			$\tilde{a}'_{11,5} = 5.19613926819347 \cdot 10^7$		
	(b)	15	$\tilde{a}'_{11,6} = -61108047.$	0	0
			$\tilde{a}'_{11,5} = 54318264.$		
	(a)	16	$\tilde{a}'_{11,6} = -6.114881246756908 \cdot 10^7$	$6.051 \cdot 10^{-2}$	$4.1 \cdot 10^4$ (11,6)
			$\tilde{a}'_{11,5} = 5.435423374977763 \cdot 10^7$		
(b)	16	$\tilde{a}'_{11,6} = -61108047.$	0	0	
		$\tilde{a}'_{11,5} = 54318264.$			
(a)	17	$\tilde{a}'_{11,6} = -6.1078205356652086 \cdot 10^7$	$8.706 \cdot 10^{-3}$	$3.0 \cdot 10^4$ (11,6)	
		$\tilde{a}'_{11,5} = 5.4291380619478465 \cdot 10^7$			
(b)	17	$\tilde{a}'_{11,6} = -61108047.$	0	0	
		$\tilde{a}'_{11,5} = 54318264.$			
10^8	15..17	$a'_{11,6} = -61108047$ $a'_{11,5} = 54318264$	0		
12	$8.204 \cdot 10^{17}$ (a)	15	$\tilde{a}'_{12,6} = 2.22784403569253 \cdot 10^8$	$1.126 \cdot 10^1$	$2.2 \cdot 10^8$ (12,6)
			$\tilde{a}'_{12,6} = 2.22784403569253 \cdot 10^8$		
	(b)	15	$\tilde{a}'_{12,6} = 440936496.$	$1.327 \cdot 10^1$	0
			$\tilde{a}'_{12,6} = 440936496.$		
	10^8	15	$a'_{12,6} = 440936496$	$1.327 \cdot 10^1$	
			$a'_{12,6} = 440936496$		
	(a)	16	$\tilde{a}'_{12,6} = 4.332872377787031 \cdot 10^8$	$1.908 \cdot 10^0$	$7.6 \cdot 10^6$ (12,6)
			$\tilde{a}'_{12,6} = 4.332872377787031 \cdot 10^8$		
	(b)	16	$\tilde{a}'_{12,6} = 440936496.$	0	0
			$\tilde{a}'_{12,6} = 440936496.$		
	(a)	16	$a'_{12,6} = 440936496$	0	
			$a'_{12,6} = 440936496$		
(b)	17	$\tilde{a}'_{12,6} = 4.4153799102441881 \cdot 10^8$	$2.026 \cdot 10^{-1}$	$6.0 \cdot 10^5$ (12,6)	
		$\tilde{a}'_{12,6} = 4.4153799102441881 \cdot 10^8$			
(b)	17	$\tilde{a}'_{12,6} = 440936496.$	0	0	
		$\tilde{a}'_{12,6} = 440936496.$			
(a)	17	$a'_{12,6} = 440936496$	0		
		$a'_{12,6} = 440936496$			

13	$4.627 \cdot 10^{19}$ 10^8	(a)	15	$\tilde{a}'_{13,8} = -7.52156448289628 \cdot 10^7$ $\tilde{a}'_{13,9} = 6.16995818203720 \cdot 10^7$	$6.878 \cdot 10^1$	$3.2 \cdot 10^9$ (13,7)	
		(b)		$\tilde{a}'_{13,7} = 3287684400.$ $\tilde{a}'_{13,7} = 3287684400.$	$1.740 \cdot 10^3$	0	
				$a'_{13,7} = 3287684400$ $a'_{13,7} = 3287684400$	$1.740 \cdot 10^3$		
		(a)	16	$\tilde{a}'_{13,7} = 6.183665695017593 \cdot 10^9$ $\tilde{a}'_{13,7} = 6.183665695017593 \cdot 10^9$	$2.697 \cdot 10^2$	$2.9 \cdot 10^9$ (13,7)	
		(b)		$\tilde{a}'_{13,7} = 3287684400.$ $\tilde{a}'_{13,7} = 3287684400.$	$6.106 \cdot 10^1$	0	
				$a'_{13,7} = 3287684400$ $a'_{13,7} = 3287684400$	$6.106 \cdot 10^1$		
	10^9	10^{10}	(a)	17	$\tilde{a}'_{13,6} = 3.1814031343324433 \cdot 10^9$ $\tilde{a}'_{13,6} = 3.1814031343324433 \cdot 10^9$	$1.302 \cdot 10^1$	$1.1 \cdot 10^8$ (13,7)
			(b)		$\tilde{a}'_{13,6} = 3287684400.$ $\tilde{a}'_{13,6} = 3287684400.$	$4.000 \cdot 10^0$	0
					$a'_{13,7} = 3287684400$ $a'_{13,7} = 3287684400$	$4.000 \cdot 10^0$	
			(a)	15	$\tilde{a}'_{16,6} = -5.71401222611683 \cdot 10^8$ $\tilde{a}'_{16,5} = 5.49516830436296 \cdot 10^8$	$2.619 \cdot 10^3$	$1.3 \cdot 10^{12}$ (16,8)
			(b)		$\tilde{a}'_{16,8} = 1345374716400.$ $\tilde{a}'_{16,8} = 1345374716400.$	$1.349 \cdot 10^8$	0
					$a'_{16,8} = 1345374716400$ $a'_{16,8} = 1345374716400$	$1.349 \cdot 10^8$	
10^9	10^9	(a)	16	$\tilde{a}'_{16,6} = -1.300313089058713 \cdot 10^9$ $\tilde{a}'_{16,7} = 1.151693019387510 \cdot 10^9$	$1.896 \cdot 10^3$	$1.3 \cdot 10^{12}$ (16,8)	
		(b)		$\tilde{a}'_{16,8} = 1345374716400.$ $\tilde{a}'_{16,8} = 1345374716400.$	$1.504 \cdot 10^7$	0	
				$a'_{16,8} = 1345374716400$ $a'_{16,8} = 1345374716400$	$1.504 \cdot 10^7$		
		(a)	17	$\tilde{a}'_{16,7} = -4.5522159042902287 \cdot 10^9$ $\tilde{a}'_{16,6} = 4.0935611206208382 \cdot 10^9$	$1.951 \cdot 10^3$	$1.3 \cdot 10^{12}$ (16,8)	
		(b)		$\tilde{a}'_{16,8} = 1345374716400.$ $\tilde{a}'_{16,8} = 1345374716400.$	$6.900 \cdot 10^5$	0	
				$a'_{16,8} = 1345374716400$ $a'_{16,8} = 1345374716400$	$6.900 \cdot 10^5$		

19	$1.756 \cdot 10^{30}$ 10^8	(a)	15	$\tilde{a}'_{19,5} = -2.15432653995046 \cdot 10^8$ $\tilde{a}'_{19,4} = 1.73754414039790 \cdot 10^8$	$1.371 \cdot 10^5$	$5.8 \cdot 10^{14}$ (19,10)
		(b)		$\tilde{a}'_{19,10} = -583057996306500.$ $\tilde{a}'_{19,9} = 544187463219400.$	$9.216 \cdot 10^{12}$	0
				$a'_{19,10} = -583057996306500$ $a'_{19,9} = 544187463219400$	$9.216 \cdot 10^{12}$	
	10^{15}	(a)	16	$\tilde{a}'_{19,7} = -4.317372702222652 \cdot 10^8$ $\tilde{a}'_{19,8} = 3.977086961303914 \cdot 10^8$	$2.761 \cdot 10^5$	$5.8 \cdot 10^{14}$ (19,10)
		(b)		$\tilde{a}'_{19,10} = -583057996306500.$ $\tilde{a}'_{19,9} = 544187463219400.$	$8.117 \cdot 10^{11}$	0
				$a'_{19,10} = -583057996306500$ $a'_{19,9} = 544187463219400$	$8.117 \cdot 10^{11}$	
	10^8	(a)	17	$\tilde{a}'_{19,6} = -5.7111748424555925 \cdot 10^9$ $\tilde{a}'_{19,7} = 5.5924230927773507 \cdot 10^9$	$6.319 \cdot 10^4$	$5.8 \cdot 10^{14}$ (19,10)
		(b)		$\tilde{a}'_{19,10} = -583057996306500.$ $\tilde{a}'_{19,9} = 544187463219400.$	$4.184 \cdot 10^{10}$	0
				$a'_{19,10} = -583057996306500$ $a'_{19,9} = 544187463219400$	$4.184 \cdot 10^{10}$	
10^{10}	(a)					
	(b)					

Tab. 4.6 Berechnungen für die Boothroyd/Dekker-Matrix mit Maple, Digits=15,16,17
 $A=(a(i,j))$, $a(i,j)=(n+i-1)!/(n-j)!*(i-1)!*(j-1)!*(i+j-1)$
 2 Varianten der Ermittlung der Näherungsinversen A^{-1}
 (a) `inverse(A)`
 (b) `linsolve(A,I)`

Wir berechnen für einige Dimensionen n den Unterschied $D_n = \max_{i,j} |\tilde{a}'_{1ij} - \tilde{a}'_{2ij}|$ zwischen den beiden Näherungsinversen $A_1=\text{inverse}(A)$ und $A_2=\text{linsolve}(A,I)$ sowie die realisierenden Indizes. Der Grund für die deutlichen Abweichungen liegt i. Allg. in der ungenauen Berechnung der Inversen mit dem Kommando `inverse(A)`, bei großem n dann mit beiden Varianten wegen zu schwacher GPA bei sehr schlechter Matrixkondition.

n	Digits=15		Digits=16		Digits=17	
	D_n	(i,j)	D_n	(i,j)	D_n	(i,j)
4	0		0		0	
7	7.876e-04	(7, 4)	1.216e-04	(7, 4)	3.617e-07	(7, 3)
10	4.513e+03	(10, 5)	1.206e+03	(10, 5)	1.156e+02	(10, 5)
11	2.612e+06	(11, 6)	4.077e+04	(11, 6)	2.984e+04	(11, 6)
12	2.182e+08	(12, 6)	7.649e+06	(12, 6)	6.015e+05	(12, 6)
13	3.235e+09	(13, 7)	2.896e+09	(13, 7)	1.063e+08	(13, 7)
16	1.346e+12	(16, 8)	1.346e+12	(16, 8)	1.342e+12	(16, 8)
19	5.831e+14	(19,10)	5.831e+14	(19,10)	5.831e+14	(19,10)
22	9.807e+10	(22, 7)	5.647e+13	(22, 8)	4.201e+15	(22,10)

4.4 Was leistet der Computer?

An solchen Untersuchungen und Beispielen zeigt sich, was Computer sowie Computersoftware schon und noch nicht leisten können. Der wirklich kreative Anteil am Problemlösungsprozess bleibt beim Menschen. Der Phantasie sind aber keine Grenzen gesetzt. Natürlich ist es zumeist nicht einfach, komplizierte Sachverhalte methodisch geschickt und didaktisch wirksam für Präsentationen vor einem Hörerkreis aufzubereiten. Das ist besonders schwierig, wenn Detailwissen gefragt ist und sehr spezifische Aspekte behandelt werden. Der Komfort des Werkzeugs Computer einschließlich der Software kann sich aber nur “entfalten“ durch den an Ideen reichen und kreativen Nutzer in der Einheit mit seiner gezielten Nutzung, gründlichen Analyse und ständigen Weiterentwicklung.

4.5 Dateien, Arbeitsblätter und Programme

Zu den einzelnen Kapiteln gibt es Arbeitsblätter in den CAS, Programme und diverse Dateien. Man findet diese auf der Seite www.tu-ilmenau.de/site/math/neundorf.html unter **Sonstiges** → **Maple** → **Preprints Maple 5**.

1. Rechengenauigkeit, Auswertung von Ausdrücken, Funktionen und Kommandos
calc1.mws
2. Termumformung und mathematische Äquivalenz von Ausdrücken
equiv_2.pas, equiv_1.pas, aequiv2.mws, aequiv2.m
3. Matrixgenerierung
genarr2.mws
4. *LU*-Faktorisierung von Matrizen
lu2.mws, lu1.m, luf2.m
5. Produkte, Differenzen und Potenzen mit Matrizen und Vektoren
matvek1.mws
6. Integration, Romberg-Verfahren, Anhalten der Verarbeitung und Datenausgabe
romberg2.mws
7. (2×2) -Matrizen, Eigenschaften
matrix2x2.mws, matrix2x2.m
8. LGS, Matrixinverse
lgs_inv2.pas, progonka3.pas
9. Determinante, Inverse, Norm, Kondition und EW/EV von Matrizen
spd Tridiagonalmatrix *matr_trid1.mws, matr_trid1.m*
Hilbert-Matrix *matr_hilb1.mws, matr_hilb1.m*
Boothroyd/Dekker-Matrix *matr_booth1.mws, matr_booth1.m*
10. Spezielle Matrixeigenschaften, Genauigkeit der inversen Matrix
spd Tridiagonalmatrix *matr_trid2.mws, matr_trid2.m*
Hilbert-Matrix *matr_hilb2.mws, matr_hilb2.m*
Boothroyd/Dekker-Matrix *matr_booth2.mws, matr_booth2.m*

Literaturverzeichnis

Maple

- [1] BLACHMAN, N. und MOSSINGHOFF M. J.: *Maple griffbereit*. Vieweg Verlag Braunschweig 1996.
- [2] HEAL, K. M. ET AL.: *Handbuch Waterloo Maple*. Maple V - Learning Guide, Springer-Verlag New York 1998.
- [3] HECK, A.: *Introduction to Maple*. 2nd Ed. Springer-Verlag New York 1996.
- [4] KRAWIETZ, A.: *Maple V für das Ingenieurstudium*. Springer-Verlag New York 1997.
- [5] KLIMEK, G. und M. KLIMEK: *Discovering Curves and Surfaces with Maple*. Springer-Verlag New York 1997.
- [6] KOFLER, M.: *Maple V Release 4*. Addison Wesley Bonn 1996.
- [7] MONAGAN, M.: *Programming in Maple: The Basics*. Institut für Wissenschaftliches Rechnen ETH-Zentrum, CH-8092 Zürich.
- [8] MONAGAN, M. ET AL.: *Maple V Programming Guide*. Springer-Verlag New York 1996.
- [9] NEUNDORF, W.: *Programming in Maple V Release 5*. Extended Basics. Preprint M 07/99 IfMath der TU Ilmenau, Februar 1999.
- [10] NEUNDORF, W. und B. WALTHER: *Grafik, Animation und Ausgabeformate in Maple V Release 5*. Preprint M 12/00 IfMath der TU Ilmenau, Juni 2000.
- [11] NICOLAIDES, R. A. und N. J. WALKINGTON: *Maple: A Comprehensive Introduction*. Cambridge University Press 1996.
- [12] WALZ, A.: *Maple V. Rechnen und Programmieren mit Release 4*. R. Oldenbourg Verlag München 1998.
- [13] WERNER, W.: *Mathematik lernen mit Maple*. Bd. 1,2. Ein Lehr-und Arbeitsbuch für das Grundstudium. dpunkt Heidelberg 1996, 1998 (CD).
- [14] WESTERMANN, T.: *Mathematik für Ingenieure mit Maple*. Springer-Verlag 1996.
- [15] NEUNDORF, W.: *Lösungsmethoden mit Maple. Betrachtung von Fehlern und Kondition sowie Darstellungsmöglichkeiten*. Preprint M 08/03 IfMath der TU Ilmenau, April 2003.
- [16] NEUNDORF, W.: *Spezielle Aspekte zu CAS Maple und MATLAB. Rechengenauigkeit, Listen, Felder, Faktorisierungen, Dateiarbeit, TP → Maple, Maple → MATLAB mit Beispielen*. Preprint M 10/03 IfMath der TU Ilmenau, Juni 2003.
- [17] NEUNDORF, W.: *Grundlagen der numerischen linearen Algebra*. Preprint M 04/04 IfMath der TU Ilmenau, Februar 2004.

Matlab

- [18] GRAMLICH, G. und W. WERNER: *Numerische Mathematik mit Matlab*. 1. Auflage. dpunkt.verlag Heidelberg 2000.
- [19] NEUNDORF, W.: *MATLAB - Teil I: - Vektoren, Matrizen, lineare Gleichungssysteme*. Preprint M 20/99 IfMath der TU Ilmenau, Juli 1999.
- [20] NEUNDORF, W.: *MATLAB - Teil II: - Speicheraspekte, spezielle LGS, SDV, EWP, Graphik, NLG, NLGS*. Preprint M 23/99 TUI, September 1999.
- [21] NEUNDORF, W.: *MATLAB - Teil III: - Komplexe LGS, Interpolation, Splines*. Preprint M 10/00 IfMath der TU Ilmenau, Mai 2000.
- [22] NEUNDORF, W.: *MATLAB - Teil IV: - Approximation, Numerische Intergration*. Preprint M 11/00 IfMath der TU Ilmenau, Mai 2000.

Numerik

- [23] DEUFLHARD, P. und H. HOHMANN: *Numerische Mathematik*. 1: Eine algorithmisch orientierte Einführung. 3. überarbeitete und erweiterte Auflage, Lehrbuch. Walter de Gruyter Berlin 2002.
- [24] HANKE-BOURGEOIS, M.: *Grundlagen der Numerischen Mathematik und des Wissenschaftlichen Rechnens*. Mathematische Leitfäden. B. G. Teubner GmbH, Stuttgart 2002.
- [25] HERMANN, M.: *Numerische Mathematik*. R. Oldenbourg Verlag München 2001.
- [26] STOER, J. und R. BULIRSCH: *Numerical mathematics 2*. An Introduction - under consideration of lectures by F. L. Bauer. 4. neu bearbeitete und erweiterte Auflage. Springer-Verlag Berlin 2000.
- [27] KIELBASIŃSKI, A. und H. SCHWETLICK: *Numerische lineare Algebra*. Mathematik für Naturwissenschaft und Technik Band 18, DVW, Berlin 1988.
- [28] HACKBUSCH, W.: *Iterative Lösung großer schwach besetzter Gleichungssysteme*. Leitfäden der angewandten Mathematik und Mechanik Band 69. B. G. Teubner Stuttgart 1991.
- [29] MAESS, G.: *Vorlesungen über numerische Mathematik*. Band 1, 2. Akademie-Verlag Berlin 1984, 1988.
- [30] MEISTER, A.: *Numerik linearer Gleichungssysteme*. Eine Einführung in moderne Verfahren. Friedr. Vieweg & Sohn VG mbH, Braunschweig 1999.
- [31] SCHWARZ, H. R.: *Numerische Mathematik*. B. G. Teubner Stuttgart 1988.
- [32] SCHABACK, R. und H. WERNER: *Numerische Mathematik*. Springer-Verlag, Berlin 1992.
- [33] SÜLI, E. und D. MAYERS *An Introduction to Numerical Analysis*. Cambridge Textbooks. Cambridge University Press 2003.
- [34] NEUNDORF, W.: *Numerische Mathematik*. Vorlesungen, Übungen, Algorithmen und Programme. Berichte aus der Mathematik. Shaker Verlag Aachen 2002.
- [35] NEUNDORF, W.: *Wissenschaftliches Rechnen - Matrizen und lineare Gleichungssysteme*. Vorlesungsskript IfMath der TU Ilmenau, August 2002.

Anschrift:

Dr. rer. nat. habil. Werner Neundorf
Technische Universität Ilmenau, Institut für Mathematik
PF 10 05 65
D - 98684 Ilmenau

E-mail: werner.neundorf@tu-ilmenau.de

Homepage: <http://www.tu-ilmenau.de/fakmn/neundorf.html>

<http://www.tu-ilmenau.de/site/math/neundorf.html>